



مقالات‌های پژوهشی

بررسی بیان نسبی miR-103 در سلول‌های تک‌هسته‌ای خون محیطی مدل رت مبتلا به دیابت نوع ۲ و پیش‌دیابت... ۱۷۴۶
نسیمه وطن‌دوست، صدیقه مؤمن‌زاده، سارا کمالی، دکتر رسول صالحی

اختلال در مسیر پیام‌رسانی Wnt از طریق متیلاسیون ژن‌های WIF1 و DKK1 در بیماران مبتلا به لوسومی میلوییدی حد در زمان تشخیص بیماری... ۱۷۸۱
علی قاسمی، دکتر محسن محمدی، عباس قروط‌سلو، کاظم غفاری، صادق عباسیان

بررسی نتایج حاصل از درمان توسط تکنیک‌های کمک باروری در بیمارستان شهید بهشتی اصفهان... ۱۷۶۷
دکتر روشنک ابوترابی، دکتر ویدار‌رضوی، شکوفه بقازاده، لاله شارق، فاطمه سادات مصطفوی

مقاله مروری

مروری بر علی‌مغایرت گروه‌بندی مستقیم و معکوس سیستم ABO، توزیع فراوانی این عوامل در ایران و جهان و راهکارهای مرتفع سازی... ۱۷۸۲
نرگس سیفی‌زاده، نیز سیفی‌زاده، دکتر مجید فرش‌دوستی حق

مقاله کوتاه

بررسی توزیع فراوانی آنتی‌بیوتیک‌های مصرف شده در بخش مراقبت‌های ویژه‌ی مرکز آموزشی-درمانی الزهرا (س) در قبل و بعد از استقرار متخصصین عغونی در بیمارستان... ۱۷۹۷
دکتر کامیار مصطفوی‌زاده، دکتر بهروز عطایی، رویا آزاد، امید پیرحاجی، علی مهرابی کوشکی، حمیدرضا صادقیان

Original Articles

Evaluation of miR-103 Expression in Peripheral Blood Mononuclear Cells of Type 2 Diabetic and Prediabetic Rats 1756
Nasimeh Vatandoust, Sedigheh Momenzadeh MSc, Sara Kamali, Rasoul Salehi PhD

Dysregulation of the Wnt Signaling Pathway through Methylation of WIF1 and DKK1 Genes in Patients with Acute Myeloid Leukemia (AML) at the Time of Diagnosis 1760
Ali Ghasemi MSc, Mohsen Mohammadi PhD, Abbas Ghotoslou MSc, Kazem Ghaffari MSc, Sadegh Abbasian MSc

Evaluation of the Success Rate of Assisted Reproductive Techniques (ART) in Shahid Beheshti Infertility Center, Isfahan, Iran 1766
Roshanak Abutorabi PhD, Vida Razavi MD, Shekufe Baghazade MSc, Laleh Sharegh MSc, Fatemeh Sadat Mostafavi MD, PhD

Review Articles

A Review on Discrepancy of ABO Blood Grouping, Distribution of Causes in Iran and the World, and Resolving Methods 1796
Narges Seyfizadeh MSc, Nayer Seyfizadeh MSc, Majid Farshdusti-Hagh PhD

Short Communication

The Effect of Infectious Disease Specialists Deployment Plan on Using Antibiotics in Alzahra Hospital, Isfahan, Iran 1804
Kamyar Mostafavizadeh MD, Behrouz Ataei MD, Roya Azad, Omid Pirhaji, Ali Mehrabi Koushki MSc, Hamidreza Sadeghian



محله دانشکده پزشکی اصفهان

سال سی و دوم، شماره (۳۰۶)، هفته سوم آذر ۱۳۹۳

صاحب امتیاز:

دانشگاه علوم پزشکی و خدمات بهداشتی- درمانی استان اصفهان

مدیر مسؤول: دکتر منصور شعلهور
سردبیر افتخاری: دکتر رویا کلیشادی
سردبیر: دکتر مجید برکتین

معاون سردبیر: دکتر رضا روزبهانی

امور نشر:

(ویراستاری، صفحه آرایی، طراحی و چاپ)

شرکت فرزانگان راداندیش
اصفهان، صندوق پستی ۸۱۴۶۵-۱۷۹۸
تلفن و دورنگار: ۰۳۱۱-۶۶۸۶۳۰۲

f.radandish@gmail.com
www.farzaneganco.ir

تیراژ: ۵۰۰ نسخه

ناشر:

انتشارات دانشگاه علوم پزشکی اصفهان

نشانی: اصفهان، خیابان هزار جریب، دانشگاه علوم پزشکی اصفهان
E-mail: publications@mui.ac.ir
دفتر مجله: دانشکده پزشکی صندوق پستی: ۸۱۷۴۴/۱۷۶

مسئول دفتر: گلنazar رجبی

تلفن: ۰۳۱۱-۷۹۲۲۲۹۱
دورنگار: ۰۳۱۱-۶۶۹۴۷۳۷

E-mail: jims@med.mui.ac.ir

http://www.journals.mui.ac.ir/jims
وب سایت مجله:

این مجله در نمایه‌های بین‌المللی زیر در دسترس قرار دارد.

- | | |
|---|--|
| ■ Scopus | ■ Google Scholar |
| ■ Chemical Abstracts | ■ Index Copernicus |
| ■ Islamic World Science Citation Center (ISC) | ■ Directory of Open Access Journal (DOAJ) |
| ■ Academic Search Complete EBSCO Publishing databases | ■ Index Academicus |
| ■ WHO/EMRO/Index Medicus | ■ Scientific Information Database (www.sid.ir) |
| | ■ www.iranmedex.com |

کپیرایت: چاپ مطالب مندرج در این مجله به شرط ذکر منبع مجله بلامانع است.

تصاویر رنگی مقالات و کلیپهای ویدئویی بر روی وب سایت مجله قابل دسترسی می‌باشند

اعضای شورای نویسندگان مجله دانشکده پزشکی اصفهان (به ترتیب حروف الفبا)

نام و نام خانوادگی	مرتبه علمی
۱- دکتر مجتبی اطحی	دانشیار، متخصص گوش و حلق و بینی، دانشگاه علوم پزشکی اصفهان، اصفهان، ایران
۲- دکتر ابراهیم اسفندیاری	استاد، متخصص علوم تشریحی، دانشگاه علوم پزشکی اصفهان، اصفهان، ایران
۳- دکتر محمد اسماعیل اکبری	استاد، فوق تخصص جراحی، دانشگاه علوم پزشکی تهران، تهران، ایران
۴- دکتر فرامرز اسماعیل بیگی	استاد، متخصص داخلی، دانشکده پزشکی، آمریکا
۵- دکتر افسون امامی	دانشیار، فوق تخصص نفروЛОژی، دانشگاه علوم پزشکی اصفهان، اصفهان، ایران
۶- شاهین امامی	گروه بیوشیمی و غدد داخلی، بیمارستان سن آنتونیو، فرانسه
۷- دکتر علیرضا امامی	دانشیار، متخصص بیماری های عفونی و گرمسیری، دانشگاه علوم پزشکی اصفهان، اصفهان، ایران
۸- دکتر بابک امرا	استاد، فوق تخصص رید، دانشگاه علوم پزشکی اصفهان، اصفهان، ایران
۹- دکتر رضا امین	استاد، متخصص اطفال، دانشگاه علوم پزشکی شیراز، شیراز، ایران
۱۰- دکتر کن باست	استاد، متخصص بیماری های پوستی، مرکز تحقیقات پوست و لیشماینیوز، کانادا
۱۱- دکتر رضا باقریان سرارودی	استادیار، متخصص روانشناسی، دانشگاه علوم پزشکی اصفهان، اصفهان، ایران
۱۲- دکتر مجید برکتین	دانشیار، متخصص روانپزشکی، دانشگاه علوم پزشکی اصفهان، اصفهان، ایران
۱۳- فرزین پور فرزاد	گروه زیست شناسی سلوی و ژنتیک، دانشگاه اراسموس، روتردام، هلند
۱۴- دکتر مسعود پورمقدس	استاد، متخصص قلب و عروق، دانشگاه علوم پزشکی اصفهان، اصفهان، ایران
۱۵- دکتر احمد چیت‌ساز	دانشیار، متخصص سلولی و ژنتیک، دانشکده داروسازی، آمریکا
۱۶- دکتر مینا حسن رضایی	متخصص نورو ایمونولوژی، دانشکده داروسازی، آمریکا
۱۷- دکتر سید مرتضی حیدری	دانشیار، متخصص بیوهوشی، دانشگاه علوم پزشکی اصفهان، اصفهان، ایران
۱۸- دکتر بهناز خانی	دانشیار، متخصص زنان و زایمان، دانشگاه علوم پزشکی اصفهان، اصفهان، ایران
۱۹- دکتر مجید خزاعی	دانشیار، متخصص فیزیولوژی، دانشگاه علوم پزشکی اصفهان، اصفهان، ایران
۲۰- دکتر حسن رزمجو	استاد، متخصص چشم، فلوشیپ ویتره و رتین، دانشگاه علوم پزشکی اصفهان، اصفهان، ایران
۲۱- دکتر رضا روزبهانی	استادیار، متخصص بیوشکی اجتماعی، دانشگاه علوم پزشکی اصفهان، اصفهان، ایران
۲۲- دکتر مسعود سهیلیان	استاد، فلوشیپ ویتره و رتین، دانشگاه علوم پزشکی شهید بهشتی، تهران، ایران
۲۳- دکتر منصور شعلهور	دانشیار، متخصص قلب و عروق، دانشگاه علوم پزشکی اصفهان، اصفهان، ایران
۲۴- دکتر محمد رضا صفوی	دانشیار، متخصص بیوهوشی، دانشگاه علوم پزشکی اصفهان، اصفهان، ایران
۲۵- دکتر خسرو عادلی	استاد، متخصص بیوشمی بالینی، دانشگاه تورنتو، تورنتو، کانادا
۲۶- دکتر سعید عندیلی	دانشیار، متخصص پاتولوژی، دانشگاه لویس ویل، آمریکا
۲۷- دکتر غلامرضا عسکری	متخصص بیماری های پوستی، دانشگاه علوم پزشکی شهید بهشتی، تهران، ایران
۲۸- دکتر زیبا فرجزادگان	دانشیار، متخصص پزشکی اجتماعی، دانشگاه علوم پزشکی اصفهان، اصفهان، ایران
۲۹- دکتر حمید فشارکی	دانشیار، متخصص چشم، فلوشیپ ویتره و رتین، دانشگاه علوم پزشکی اصفهان، اصفهان، ایران
۳۰- دکتر مرجانه فولادی	دکترای پرستاری، دانشگاه فلوریدا، آمریکا
۳۱- دکتر علی قیصری	استاد، فوق تخصص جراحی قلب، کالیفرنیا، آمریکا
۳۲- دکتر منصور کارآموز	دانشیار، متخصص اطفال، دانشگاه علوم پزشکی اصفهان، اصفهان، ایران
۳۳- دکتر رویا کلشادی	دانشیار، فوق تخصص قلب و عروق، دانشگاه علوم پزشکی اصفهان، اصفهان، ایران
۳۴- دکتر جعفر گلشاهی	استاد، متخصص بیماری های پوستی، مرکز تحقیقات پوست و لیشماینیوز، کانادا
۳۵- دکتر عزیر گهری	دانشیار، فوق تخصص آسیب شناسی پزشکی، دانشگاه علوم پزشکی اصفهان، اصفهان، ایران
۳۶- دکتر پروین محزونی	استاد، متخصص چشم، دانشگاه علوم پزشکی تهران، تهران، ایران
۳۷- دکتر سید مهدی مدرس	دانشیار، متخصص علوم تشریحی، دانشگاه علوم پزشکی اصفهان، اصفهان، ایران
۳۸- دکتر محمد مردانی	دانشیار، متخصص جراحی اعصاب، دانشگاه علوم پزشکی اصفهان، اصفهان، ایران
۳۹- دکتر هوشنگ معین	دانشیار، متخصص غدد داخلی، مرکز تحقیقات غدد و متابولیسم، آمریکا
۴۰- دکتر ایله مغیثی	دانشیار، متخصص قلب و عروق، دانشگاه علوم پزشکی شهید بهشتی، تهران، ایران
۴۱- دکتر مجید ملکی	دانشیار، متخصص فیزیوتراپی، آمریکا
۴۲- دکتر محمد رضا نوربخش	دانشیار، متخصص قلب و عروق، دانشگاه علوم پزشکی تهران، تهران، ایران
۴۳- دکتر فریدون نوحی	دانشیار، متخصص قلب و عروق، دانشگاه علوم پزشکی شیراز، ایران
۴۴- دکتر علی محمد هنجنی	

راهنمای نویسنده‌گان مجله دانشکده پزشکی اصفهان

- اهداف و چشم انداز:** مجله دانشکده پزشکی اصفهان به صورت هفته‌نامه و تحت حمایت دانشگاه علوم پزشکی اصفهان منتشر می‌گردد.
- این مجله** مقالات اصلی و پژوهشی، مروری، مقالات کوتاه، مقالات دارای امتیاز بازآموزی و نامه به سردبیر را منتشر می‌نماید و همچنین فیلم‌های آموزشی تهیه شده توسط محققین را بر روی وب سایت مجله قرار می‌دهد.
- پذیرش دست‌نوشته:** پذیرش دست نوشته‌ها و پیگیری‌های بعدی در این مجله فقط از طریق وب سایت اختصاصی آن به آدرس <http://www.journals.mui.ac.ir/jims> و پس از ثبت نام (Registration) در آن ممکن می‌باشد. همراه دست نوشته باید یک نامه تایپ شده (Covering letter) به سردبیر، شامل عنوان و اسمی نویسنده یا نویسنده‌گان و اعلام این که این دست نوشته در مجلات دیگر چاپ نشده است و یا هم‌زمان در حال بررسی نمی‌باشد، ارسال گردد.
- دست‌نوشته** باید توسط نرم‌افزار MS Word در سایز A4 و فاصله خطوط دو برابر (Double Spaced) با حاشیه‌های ۲/۵ سانتی‌متری تهیه شوند. جداول بدون حاشیه خارجی و تصاویر در فرمت GIF و JPEG و در تعداد محدود باشند. ارسال مدارک با فرمت PDF به هیچ عنوان پذیرفته نیست.
- دست نوشته** باید شامل صفحه عنوان، چکیده، مقدمه، روش‌ها، یافته‌ها، بحث، تقدیر و تشکر و منابع باشد.
صفحه عنوان: این صفحه باید شامل عنوان کامل، عنوان مکرری، اسمی نویسنده یا نویسنده‌گان با بالاترین مدرک تحصیلی، گروه یا بخش یا مؤسسه محل فعالیت ایشان و همچنین آدرس، تلفن، فاکس و پست الکترونیکی نویسنده مسؤول باشد. ذکر منابع مالی و اعتباری طرح پژوهشی در این صفحه ضروری است.
- چکیده:** تمام مقالات اصلی باید دارای چکیده مقاله به دو زبان فارسی و انگلیسی با حداقل ۲۵۰ کلمه باشد. چکیده باید شامل بخش‌های سابقه علمی موضوع، روش‌ها، یافته‌ها و بحث باشد. در پایان چکیده مقاله ۳-۵ کلمه کلیدی قرار می‌گیرد که تنها با استفاده از راهنمای MESH در آدرس (<http://nlm.nih.gov/mesh/MBrowser.html>) استخراج گردد.
- مقدمه و معرفی:** در این بخش اهداف و علل انجام مطالعه آورده می‌شود؛ بنابراین نیازی به ارائه گستره مطالب موجود در متون علمی نیست. در این بخش باید از ارائه اطلاعات، یافته‌های و نتایج مطالعه خودداری گردد.
- روش‌ها:** این بخش شامل ارائه دقیق مشاهدات، مداخلات و روش‌های مورد استفاده در مطالعه است. اگر روش مورد استفاده شناخته شده است فقط منبع آن ذکر گردد اما اگر روشی نوین است، باید به صورتی توضیح داده شود که برای سایر محققان قابل درک و به طور عینی قابل انجام و تکرار باشد. در صورت استفاده از دستگاه و تجهیزات خاص باید نام، نام کارخانه سازنده و آدرس آن در پرانتز ذکر گردد. اگر از دارو در مطالعه استفاده شده است باید نام ژنریک، دوز و روش مصرف آن آورده شود. در مورد افراد و بیماران تحت مطالعه باید جنس و سن (همراه انحراف معیار) آورده شود. در مورد نرم‌افزارها و سیستم‌های کامپیوتری باید سال و ویرایش آن در پرانتز و پس از نام آن ذکر گردد. در صورتی که مطالعه دارای پرسشنامه یا چک لیست است، ضمیمه کردن آن لازم است؛ در مورد پرسشنامه‌های استاندارد ذکر نام و مرجع آن کافی است.
- یافته‌ها:** این بخش به صورت متن همراه با جدول‌ها، شکل‌ها و نمودارها ارائه می‌گردد. محتوای جداول باید به صورت کامل در متن ارائه شوند، بلکه کافی است با ذکر شماره جدول، شکل و یا نمودار به آنها اشاره شود. جدول‌ها، نمودارها و شکل‌ها هر کدام باید در یک صفحه جداگانه و پس از منابع، در پایان دست‌نوشته آورده شوند. در این بخش فقط یافته‌ها ارائه می‌شود و باید از ذکر دلایل و استدلال‌های مرتبط با آن خودداری گردد.
- بحث:** در این بخش در ابتداء به یافته‌های مهم اساسی مطالعه و سپس تشابه و تفاوت‌های آن با یافته‌های سایر پژوهشگران در مطالعات مشابه اشاره می‌گردد. ذکر جزئیات کامل یافته‌ها در این بخش لازم نیست. تأکید بر یافته‌های جدید و با اهمیت مطالعه حاضر و دستاوردهای آن در این قسمت ضروری است. ذکر این که فرضیه ارائه شده در مطالعه صحیح یا نادرست بوده، یا این که دلایل کافی برای رد یا قبول آن به دست نیامده است، ضروری می‌باشد. هدف این بخش، ذکر دلیل اصلی انجام تحقیق، تحلیل و تفسیر یافته‌ها و همچنین نتیجه‌گیری کلی (Conclusion) است.

۱۱- **تقدیر و تشکر:** تمام افرادی که به نحوی در انجام مطالعه نقش داشته ولی جزء نویسنده‌گان نبوده‌اند باید در این بخش مورد تقدیر قرار گیرند؛ از جمله کسانی که کمک‌های فنی، نوشتاری و مالی داده و همچنین سرپرستان و مدیران بخش‌های محل انجام مطالعه که در امر پشتیبانی‌های عمومی در اجرای تحقیق فعالیت داشته‌اند.

۱۲- **جدول‌ها:** تعداد محدود جدول با توجه به حجم مطالعه و مقاله، همراه با ذکر عنوان آن در بالای جدول مورد قبول خواهد بود. ارسال جداول فقط تحت نرم‌افزار MSWord مورد قبول است. توضیحات اضافی درخصوص محتوای جداول باید به صورت بی‌نوشته و در پایین جدول باشد. جدول‌ها باید در صفحات جداگانه و در پایان دست نوشته (پس از منابع) قرار داده شوند.

۱۳- **شکل‌ها:** تعداد محدود شکل همراه ذکر عنوان آن در زیر شکل یا نمودار و با فرمت GIF و JPEG قابل قبول است. اطلاعات موجود در شکل‌ها یا نمودارها باید به طور کاملاً مشابه در جدول‌ها و یا متن مقاله ذکر شده باشند.

۱۴- **منابع:** نویسنده باید از صحت اشاره منابع ذکر شده به مطالب مورد استناد مطمئن باشد. ساختار منابع در این مجله بر اساس Uniform Requirements for Manuscripts Submitted to Bio Medical Journals (ICMJE) و نکور (Vancouver) می‌باشد. تمامی منابع باید به زبان انگلیسی باشد، ترجمه متن منابع فارسی به عهده نویسنده است و در پایان آن عبارت [Persian] خواهد آمد. موارد ذیل برای نمونه ذکر می‌گردند:

اگر منبع مورد نظر مقاله است:

نام خانوادگی نویسنده، حرف اول نام کوچک نویسنده، عنوان مقاله، مخفف نام مجله (بر اساس Medline)، سال انتشار، شماره‌ی انتشار، شماره‌ی مجله، شماره‌ی صفحات. مثال:

(EN): Inser N. Treatment of calcific aortic stenosis. Am J Cardiol 1987; 59(6): 314-7.
(FA): Zini F, Basiri Jahromo Sh. Study of fungal infections in patients with leukemia. Iranian journal of public health 1994; 1(4):89-103.[Persian].

(چنانچه تعداد نویسنده‌گان ۶ نفر یا کمتر باشد، ذکر اسمی آن‌ها ضروری است. اگر تعداد آن‌ها ۷ نفر یا بیشتر باشد، پس از ۶ نفر، عبارت "et al." استفاده شود).

اگر منبع مورد نظر کتاب است:

نام خانوادگی و حرف اول نام کوچک نویسنده (نویسنده‌گان). عنوان کتاب. نوبت چاپ. محل نشر: ناشر؛ سال انتشار. p. شماره صفحات (نام نویسنده‌گان با علامت کاما از هم جدا شود). مثال:

(EN): Romenes GJ. Cunningham's manual. 15th ed. New York: Oxford Univ Press; 1987.p.43-5.
(FA): Azizi F, Janghorbani M, Hatami H. Epidemiology and control of common disorders in Iran. 2nd ed. Tehran: Eshtiagh Publication; 2000.p.558.[Persian].

اگر منبع مورد نظر فصلی از کتاب است:

نام خانوادگی و حرف اول نام کوچک نویسنده (نویسنده‌گان) آن فصل. عنوان فصل مورد نظر. در: نام خانوادگی و حرف اول نام تدوین کننده کتاب. عنوان کتاب. نوبت چاپ. محل نشر: نام ناشر؛ سال انتشار. p. صفحات. مثال:

(EN): Bodly L, Bailey Jr. Urinary tract infection. In: Tailor R, editor. Family medicine. 6th ed. New York: Springer; 2003.p. 807-13.

۱۵- **نمونه‌خوانی (Proofreading):** یک نسخه از مقاله پیش از چاپ جهت انجام اصلاحات ضروری و بر طرف کردن اشکالات احتمالی برای نویسنده مسؤول ارسال می‌گردد که لازم است در کوتاه‌ترین زمان تغییرات مورد نظر مجله انجام داده، از طریق وب‌سایت مجله ارسال نماید.

۱۶- **اختصارات و نشانه‌ها:** تنها از اختصارات و نشانه‌های استاندارد استفاده شود و از ذکر عبارت‌های مخفف در عنوان و خلاصه مقاله خودداری گردد.

۱۷- توضیح کامل در مورد هر کدام از عبارت‌های اختصاری برای اولین بار در متن آورده شود، مگر این که مربوط به مقیاس‌ها و مقادیر استاندارد شناخته شده باشد.

۱۸- پس از چاپ، یک نسخه از مجله برای نویسنده مسؤول ارسال خواهد شد.

- ۱۹- **ملاحظات اخلاقی**: این ملاحظات باید در بخش روش‌ها اشاره گردد. اخذ رضایت‌نامه از کلیه‌ی افراد بالغ شرکت کننده در مطالعه ضروری است و در مورد کودکان و افراد تحت تکفل باید از ولی قانونی آنها اخذ شود. ذکر منبع تأیید کننده ملاحظات اخلاقی مطالعه لازم است. هنگام استفاده از حیوانات آزمایشگاهی ذکر رعایت و مقررات استاندارد مربوط لازم است.
- ۲۰- **تداخل منافع (Conflict of Interest)**: نویسنده یا نویسنده‌گان باید هر گونه ارتباط مالی مانند دریافت هزینه، حق‌الزحمه، مواد و تجهیزات از دانشگاه‌ها، سازمان‌ها، نهادها، شرکت‌ها و سایر منابع که انتشار یافته‌های مطالعه می‌تواند به آنها سود یا زیان برساند را اعلام نمایند.
- ۲۱- **هزینه چاپ**: هیچ گونه هزینه‌ای برای چاپ مقالات در این مجله دریافت نمی‌شود.
- ۲۲- **حق نسخه‌برداری (Copyright)**: تمامی محتویات مجله دانشکده پژوهشی اصفهان تحت قانون حق نسخه‌برداری بین‌المللی قرار دارد. این مجله برای استفاده غیر تجاری در اختیار افراد قرار می‌گیرد. اصلاح، انتشار، انتقال و نمایش هر گونه محتویات مجله بدون ذکر نام این مجله ممنوع است.
- ۲۳- **فرآیند مرور دقیق (Peer Review)**: تمام دست‌نوشته‌ها توسط حداقل ۳ نفر از داوران منتخب شورای نویسنده‌گان مجله مورد بررسی دقیق قرار می‌گیرد. نویسنده‌ی مسؤول در کوتاه‌ترین زمان در جریان تصمیم سردبیر در مورد رد، قبول یا اصلاحات مورد نظر داوران و هیأت تحریریه قرار خواهد گرفت. در صورت پذیرش مقاله برای چاپ، نامه پذیرش به همراه ایمیل برای نویسنده‌ی مسؤول ارسال می‌شود و مقاله در نوبت چاپ قرار خواهد گرفت.
- ۲۴- هیأت تحریریه در رد، اصلاح، ویرایش و خلاصه کردن مقاله آزاد است.
- ۲۵- مسؤولیت صحت یا سقم مطالب ارائه شده در مقاله بر عهده‌ی نویسنده یا نویسنده‌گان است.

فهرست مطالب

مقالات‌های پژوهشی

بررسی بیان نسبی miR-103 در سلول‌های تک هسته‌ای خون محیطی مدل رت مبتلا به دیابت نوع ۲ و پیش دیابت..... ۱۷۴۶
نسیمه وطن دوست، صدیقه مؤمن‌زاده، سارا کمالی، دکتر رسول صالحی

اختلال در مسیر پام‌رسانی Wnt از طریق متیلاسیون ژن‌های WIF1 و DKK1 در بیماران مبتلا به لوسمی میلوییدی حاد در زمان تشخیص بیماری..... ۱۷۵۷
علی قاسمی، دکتر محسن محمدی، عباس قوطاسلو، کاظم غفاری، صادق عباسیان

بررسی نتایج حاصل از درمان توسط تکنیک‌های کمک باروری در بیمارستان شهید بهشتی اصفهان..... ۱۷۶۷
دکتر روشنک ابوترابی، دکتر ویدا رضوی، شکوفه بقازاده، لاله شارق، فاطمه‌سادات مصطفوی

مقاله مروری

مروری بر عمل مغایرت گروه‌بندی مستقیم و معکوس سیستم ABO، توزیع فراوانی این عوامل در ایران و جهان و راهکارهای مرتفع‌سازی..... ۱۷۸۲
نرگس سیفی‌زاده، نیز سیفی‌زاده، دکتر مجید فرش‌دوستی حق

مقاله کوتاه

بررسی توزیع فراوانی آنتی‌بیوتیک‌های مصرف شده در بخش مراقبت‌های ویژه‌ی مرکز آموزشی - درمانی الزهرا (س) در قبل و بعد از استقرار متخصصین عفونی در بیمارستان..... ۱۷۹۷
دکتر کامیار مصطفوی‌زاده، دکتر بهروز عطایی، رویا آزاد، امید پیرحاجی، علی مهرابی کوشکی، حمیدرضا صادقیان

بررسی بیان نسبی ۱۰۳-miR در سلول‌های تک هسته‌ای خون محیطی مدل رت مبتلا به دیابت نوع ۲ و پیش دیابت

نسیمه وطن دوست^۱, صدیقه مؤمن‌زاده^۲, سارا کمالی^۳, دکتر رسول صالحی^۴

مقاله پژوهشی

چکیده

مقدمه: دیابت نوع ۲ شایع‌ترین بیماری متابولیکی مزمن است که نرخ شیوع آن به سرعت در حال افزایش است و تعداد افراد زیادی را مبتلا می‌کند. علت این بیماری، ناشناخته است و گفته می‌شود برهمکنش عوامل ژنتیک و محیطی از جمله چاقی مستعد کننده‌ی ابتلا به بیماری دیابت نوع ۲ هستند. miRNA به عنوان یکی از عوامل کلیدی در تنظیم بیان ژن با مهار ترجمه و یا تجزیه‌ی mRNA عمل می‌کند و این احتمال وجود دارد که miRNA‌ها در رخداد مقاومت انسولین و دیابت نوع ۲ نقش داشته باشند. یافته‌های جدید استفاده از سلول‌های تک هسته‌ای خون محیطی را به عنوان منعکس کننده‌ی وضعیت پاتولوژیک بافت‌ها معرفی کرده‌اند که می‌تواند منبع مناسبی جهت مطالعات و تشخیص‌های مولکولی در بیماری‌ها همچون بیماری دیابت نوع ۲ باشد. از جمله miRNA‌های دخیل در مراحل مختلف دیابت نوع ۲، به خصوص مقاومت انسولین به عنوان اولین و مهم‌ترین عامل خطر دیابت نوع ۱۰۳-miR می‌باشد. هدف از این مطالعه، بررسی بیان نسبی ۱۰۳-miR در سلول‌های تک هسته‌ای خون محیطی رت‌های مبتلا به دیابت القا شده به واسطه‌ی رژیم غذایی چرب/ترزیق Streptozotocin در دو مرحله‌ی پیش دیابت و دیابت و مقایسه‌ی آن با رت‌های سالم بود.

روش‌ها: مدل حیوانی دیابت نوع ۲ با استفاده از ترکیب رژیم غذایی با چربی بالا و تزریق دوز پایین Streptozotocin (۳۵ mg/kg) ایجاد شد. سلول‌های تک هسته‌ای خون محیطی رت‌های مبتلا در دو مرحله‌ی پیش دیابت (قبل از تزریق Streptozotocin) و دیابت (پس از تزریق) و همچنین رت‌های سالم جداسازی شد. RNA با استفاده از Trizol از سلول‌ها استخراج و سپس به cDNA (Complementary DNA) مبدل شد. سطح بیان ۱۰۳ rno-miR-۱۰۳ به وسیله‌ی تکنیک qRT-PCR (Quantitative reverse transcriptase-polymerase chain reaction) معرف شد. SYBR Green و با استفاده از پرایمرهای اختصاصی Primerset rno-miR-۱۰۳ LNA TM سنجیده شد.

یافته‌ها: ترکیب رژیم غذایی چرب همراه با تزریق دوز پایین STZ می‌تواند دیابت نوع ۲ را به خوبی در رت‌ها القا کند. میانگین بیان ۱۰۳ rno-miR-۱۰۳ در رت‌ها در مرحله‌ی دیابت و پیش دیابت نسبت به رت‌های سالم تفاوت معنی‌داری ($P \leq 0.05$) را نشان داد.

نتیجه‌گیری: یافته‌های پژوهش حاضر، اهمیت ۱۰۳-miR را در پاتوژنز دیابت نوع ۲ به خصوص در مراحل اولیه نشان می‌دهد و همچنین امکان مناسب بودن سلول‌های تک هسته‌ای خون محیطی را به عنوان یک منبع در دسترس و غیر تهاجمی در مطالعات و یا تشخیص‌های مولکولی برای پیش‌بینی و پیگیری شرایط بیماری دیابت فراهم می‌کند.

وازگان کلیدی: دیابت نوع ۲، سلول‌های تک هسته‌ای خون محیطی، تشخیص غیر تهاجمی، miR-۱۰۳, microRNA

ارجاع: وطن دوست نسیمه، مؤمن‌زاده صدیقه، کمالی سارا، صالحی رسول. بررسی بیان نسبی ۱۰۳-miR در سلول‌های تک هسته‌ای خون محیطی مدل رت مبتلا به دیابت نوع ۲ و پیش دیابت. مجله دانشکده پزشکی اصفهان ۱۳۹۳؛ ۳۰۶: ۱۷۵۶-۱۷۴۶.

۱- دانشجوی کارشناسی ارشد، گروه ژنتیک و زیست‌شناختی مولکولی، دانشکده‌ی پزشکی و کمیته‌ی تحقیقات دانشجویی، دانشگاه علوم پزشکی اصفهان، ایران

۲- کارشناس ارشد، گروه بیوتکنولوژی پزشکی، دانشکده‌ی پزشکی، دانشگاه علوم پزشکی اراک، اراک، ایران

۳- گروه زیست‌شناختی، دانشکده‌ی علوم، دانشگاه اصفهان، اصفهان، ایران

۴- دانشیار، گروه ژنتیک و زیست‌شناختی مولکولی، دانشکده‌ی پزشکی، دانشگاه علوم پزشکی اصفهان، اصفهان، ایران

نویسنده‌ی مسؤول: دکتر رسول صالحی
Email: r_salehi@med.mui.ac.ir

نقص در مسیرهای سیگنالدهی در ایجاد بیماری دیابت استفاده شده است. اما مکانیسم مولکولی بیماری زایی دیابت هنوز مشخص نیست.

پس از کشف تنظیمات پس از رونویسی ژنوم، miRNA به عنوان یک تنظیم کننده کلیدی در بیان ژن معرفی شد که به احتمال در روند مقاومت انسولینی و ایجاد دیابت نوع ۲ نیز مؤثر است (۷-۸). miRNAها گروهی از RNAهای غیر کد شونده درونزاد با طول ۱۹-۲۲ نوکلئوتید هستند که توالی آنها در بسیاری از گونه‌ها به صورت حفظ شده است (۹).

این اجزا با اتصال به ناحیه ۳'UTR و در برخی mRNAs موارد به ۵'UTR و یا ناحیه کد شونده هدف، در تنظیم پس از رونویسی ژن‌های کد کننده پروتئین‌ها دخالت دارند (۱۰). نحوه عملکرد این اجزا می‌تواند به وسیله‌ی تجزیه کردن نسخه‌ی رونویسی شده و یا مهار ترجمه‌ی آن به پروتئین باشد و این فرایند، به اتصال کامل یا نسبی بخش بنیادی RNA به miRNA (نوکلئوتیدهایی که برای اتصال miRNA به الزامی است) با محل هدف، بستگی دارد (۱۱-۱۲).

با مشخص شدن خاصیت کلیدی تنظیمی miRNA در روندهای فیزیولوژی سلولی و نقش‌های متفاوت بیولوژیکی آن از جمله تمایز، تکثیر، مرگ سلولی، ترشح هورمون و غیره، این اجزا مورد هدف تحقیقات قرار گرفتند (۱۳). بروز تأثیر بیولوژیکی mRNA مستلزم ترجمه‌ی آنها به پروتئین است. در حالی که mRNA که mRNA با هدف منفرد، باشد (۱۴). علاوه بر mRNAهایی با هدف منفرد، برخی از آنها می‌توانند گروهی از mRNAهای مرتبط را مورد هدف قرار دهند و از این جهت، تأثیر

مقدمه

دیابت شایع‌ترین اختلال متابولیکی است که در اثر نقص در تولید، ترشح یا عملکرد انسولین به وجود می‌آید. تعداد افراد مبتلا به دیابت نوع ۲ در جهان در طول سه دهه‌ی اخیر در حدود ۲ برابر افزایش یافته است. بر اساس گزارش‌ها، این رقم در سال ۲۰۱۱ به ۳۶۶ میلیون نفر رسیده است و پیش‌بینی می‌شود تا سال ۲۰۳۰ به ۵۲۲ میلیون نفر نیز افزایش یابد (۱). نقص در عملکرد انسولین (ناتوانی در بافت هدف در پاسخ به غاظت انسولین خون)، ابتدایی ترین و معمول‌ترین علت ایجاد دیابت تیپ ۲ است و کاهش ترشح انسولین پانکراس نقص نسبی در عملکرد ایجاد می‌کند و منجر به افزایش قند خون می‌گردد (۲-۳).

سطح بالای گلوکز خون با گذر زمان منجر به آسیب‌های شدید در چندین ارگان مختلف از جمله آسیب‌های کلیوی، رتینوپاتی، نایینایی، آسیب‌های عصبی و عروقی می‌گردد (۴). علاوه بر این، طولانی بودن مراقبت‌های پزشکی بدون درمان قطعی، این بیماری را به معرض بزرگ اقتصادی در سراسر جهان تبدیل ساخته است. اقدامات پیشگیرانه و تشخیص زودهنگام در صورت وجود یک نشانگر زیستی مناسب با سطوح قابل ردیابی قبل از ایجاد عالیم، می‌تواند راه حلی جایگزین در این بیماری باشد.

علل ایجاد دیابت نوع ۲، مجموعه‌ای پیچیده از عوامل ژنتیکی و اپی‌ژنتیکی و همچنین تأثیرات محیطی است (۵). در سال‌های اخیر، مطالعاتی برای شناسایی اجزایی با نقش اساسی در شروع و پیشرفت دیابت طراحی شده‌اند (۶). مطالعاتی بر اساس پروتئین و بیان ژن برای مشخص شدن روند و یا

ابزار ارتباطی متنوع که به سلول‌های دیگر انتقال می‌یابند، می‌توانند عملکردی مشابه در سلول‌های وارد شده داشته باشند (۲۵-۲۶). بر اساس این گزارش‌ها، می‌توان از miRNAهای خونی به منظور بررسی آثار دیابت استفاده کرد.

با استفاده از روش‌های بیوانفورماتیک و اطلاعات موجود در مستندات پیشین، از بین miRNAهای دخیل در دیابت نوع ۲، miRNA با نقش کلیدی در مراحل مختلف دیابت از جمله مقاومت انسولین، گسترش چربی و چاقی و نقص ترشح انسولین در نظر گرفته شد (۲۷-۳۰). miR-۱۰۳ در این مطالعه مورد هدف قرار گرفت و تغییرات پروفایل بیانی آن در سلول‌های گردش خون در سه گروه رت شامل گروه سالم، گروه پیش دیابت با رژیم غذایی پر چرب (High fat diet) یا HFD و گروه مبتلا به دیابت با القا از طریق STZ (Streptozotocin) و رژیم غذایی پر چرب بررسی شد.

روش‌ها

۱۶ رت Wistar مذکور شش هفته‌ای با متوسط وزن 150 ± 5 gr مورد مطالعه قرار گرفتند. حیوانات بر اساس راهنمای نگهداری از حیوانات دانشگاه علوم پزشکی اصفهان در قفس‌های استاندارد (۳ عدد در هر قفس) و رطوبت کنترل شده با چرخه‌ی تاریکی- روشنایی ۱۲ ساعته نگهداری شدند.

همه‌ی رت‌ها رژیم غذایی طبیعی دریافت کردند. دیابت نوع ۲ (T2D) یا Type 2 of Diabetes و Srinivasan و Reed پروتکل همکاران و نیز بعد از یک هفته نگهداری، برای تطابق حیوانات با

زیادی بر کنترل مسیرهای پیچیده‌ی متابولیکی و مؤثر در بیماری‌ها دارند (۱۵). بنابراین در اختلالات چند عاملی، پروفایل بیان یک ژن واحد بازتابی از یک شبکه‌ی گسترده است که حتی یک miRNA منفرد به دلیل عملکرد چندگانه‌ی آن می‌تواند علامتی اختصاصی و قطعی‌تری در مسیرهای پیچیده‌ی سیگنال‌دهی باشد (۱۶).

تغییر در بیان miRNA در بسیاری از بیماری‌ها از جمله بیماری‌های چند عاملی پیچیده مانند سرطان، آسیب‌های عصبی و بیماری‌های قلبی-عروقی مشاهده شده است (۱۷). گزارش‌های اخیر نشان داده است که miRNA می‌تواند نقش مهمی در ایجاد بیماری دیابت نوع ۲ از جمله عدم حساسیت به انسولین، تولید انسولین و ترشح آن، چاقی و در معنای گسترده‌تر هموستاز گلوکز و لیپید واضح است. گزارش‌های موجود به خوبی نظریه‌ی پروفایل بیانی miRNA به عنوان نشانگر زیستی برای بررسی اولیه‌ی مراحل آغازین دیابت در بافت‌های مرتبط با دیابت مانند پانکراس، کبد و ماهیچه‌ی اسکلتی و بافت چربی را تأیید می‌کند (۱۸-۲۲). اگر چه مانع مهم در استفاده از این گونه نشانگرهای تشخیصی و غربالگری اولیه، ماهیت تهاجمی و سخت در نمونه‌گیری است که با روند تهییه‌ی بیوپسی همراه است. خون به عنوان نماینده‌ی بافتی معرفی شده است که در تماس مداوم و نزدیک با ارگان‌های مختلف، بازتابی از تغییرات در این ارگان‌ها است و نسخه‌های RNA گردش خون، حوادث فیزیولوژیک و پاتولوژیک در بافت‌های مختلف بدن را به نمایش می‌گذارد (۲۳-۲۵).

تصور می‌شود miRNAهای آزاد به عنوان یک

محلول ۲۰ درصد گلوکز (۲ gr/kg) دریافت کردند. بعد از آن، غلظت گلوکز خون در زمان‌های ۰، ۳۰، ۶۰، ۹۰ و ۱۲۰ دقیقه بعد از تجویز گلوکز سنجیده شد. ۲/۵ ml از خون محیطی در تیوب‌های حاوی EDTA (Ethylenediaminetetraacetic acid) برای جداسازی سلول‌های تک هسته‌ای خون محیطی (Peripheral blood mononuclear cell) یا PBMC با استفاده از گردادیان چگالی (Ficoll-Hypaque-) طبق پروتکل استاندارد آن جداسازی شد.

RNA تام با استفاده از Trizol (Invitrogen, Carlsbad, CA) و طبق پروتکل سازنده‌ی آن با اصلاحاتی استخراج شد. به طور unisp خلاصه، ۱ ml Trizol به نمونه اضافه و سپس ۶ به نمونه اضافه گردید و پس از ۵ دقیقه انکوبه در دمای اتاق ۲۰۰ ml کلروفرم به آن اضافه شد و در ۴ °C به مدت ۳ دقیقه انکوبه و سپس به مدت ۵ ثانیه ورتكس شد. پس از آن در ۱۲۰۰۰ rpm به مدت ۱۵ دقیقه و در ۴ °C سانتریفیوژ شد. مایع رویی RNA به تیوب جدید انتقال یافت و ۵۰۰ μl حاوی RNA به آن اضافه شد و در دمای ۷۰ °C به ایزوپروپانول به آن اضافه شد و در دمای ۴ °C به مدت ۱ ساعت انکوبه شد و پس از آن دوباره در دمای ۱۲۰۰۰ rpm سانتریفیوژ شد. مایع رویی خارج و رسوب RNA دو بار در اتانول ۷۵ درصد شسته و در معرض هوا خشک شد و سپس در ۲۵ μl آب فاقد RNase حل گردید و در دمای ۸۰ °C-۸۰ nm طول موج RNA جداسازی شده در Thermo scientific, (Worcester, MA) ND-۱۰۰۰ با دستگاه نانودرایپ () سنجیده شد و کیفیت

محیط جدید، ۱۶ رت به صورت تصادفی به ۲ گروه تقسیم شدند. یک گروه رژیم غذایی طبیعی (NFD) یا (Normal fat diet) متشکل از ۶۶ درصد کربوهیدرات، ۲۲ درصد پروتئین و ۱۲ درصد چربی دریافت کردند و گروه دیگر، رژیم غذایی پر چرب شامل ۱۵ درصد کربوهیدرات، ۲۵ درصد پروتئین و ۶۰ درصد چربی دریافت کردند. بعد از ۱۰ هفته رت‌ها وزن شدند و گلوکز ناشتا و سطح انسولین، کلسترول و تری گلیسیرید خون سنجیده شد. دوز پایینی از STZ (pH = ۴/۴) در محلول سیترات (۳۵ mg/kg) به صورت درون صفاقتی به رت در حالت ناشتا تزریق شد و گروه شاهد تنها بافر را دریافت کردند. رژیم غذایی ویژه‌ی دو گروه به مدت ۲ هفته ادامه یافت. گلوکز خون در حالت ناشتا و غیر ناشتا روزانه سنجیده شد. پروتکل مرکب از رژیم غذایی با چربی بالا و دوز پایین STZ، برای بروز علایم نزدیک به علایم دیابت نوع ۲ استفاده شد.

سطح گلوکز خون با استفاده از گلوکسومتر اندازه‌گیری شد. سطح انسولین سرم با استفاده از کیت Mercodia rat insulin ELISA استفاده از کیت Triglycerides LS (GPO-PAP) CO: Ziestchem diagnostics IR (Low density lipoprotein) LDL Enzimatic Sensitivity: ۱ mg/dl Expected value: < ۱۳۰/d از نمونه‌ی سرم جدا شده از خون لخته در سانتریفیوژ ۳۵۰۰ rpm به مدت ۱۰ دقیقه اندازه‌گیری شد.

برای آزمایش تحمل گلوکز خوراکی (OGTT) یا Oral glucose tolerance test (OGTT)، حیوانات پس از یک شب (۱۲ ساعت) عدم دریافت غذا به صورت گواژ

میانگین استاندارد ارایه شده‌اند. اختلاف بین گروه‌ها با استفاده از One-way ANOVA یا Student t test (One-way analysis of variance) با Post hoc multiple comparison (version 20, SPSS Inc., Chicago, IL) آنالیز آماری با استفاده از نسخه ۲۰ از نرم‌افزار SPSS انجام و $P < 0.05$ به عنوان سطح معنی‌داری در نظر گرفته شد.

یافته‌ها

الای دیابت تیپ در رت نر گونه‌ی Wistar

ترکیب رژیم غذایی پر چرب و دوز پایین STZ که به طور نزدیک واقع طبیعی را از مقاومت انسولینی تا عدم عملکرد سلول‌های β تقليد می‌کند، برای ایجاد دیابت نوع ۲ در رت‌ها استفاده می‌شود و به طور مؤثر می‌تواند دیابت نوع ۲ را ایجاد نماید. تأثیر درمان بر وزن، غلظت گلوکز، انسولین، کلسترول و تری گلیسرید در جدول ۱ آمده است. این نتایج نشان می‌دهد که وزن رت‌های گروه دریافت کننده‌ی چربی بالا به طور تقریبی نسبت به رت‌های گروه دریافت کننده‌ی رژیم طبیعی (NFD) ۲۰ gr بیشتر بوده است. اگر چه کلسترول و LDL سرم دو گروه، تفاوت معنی‌داری ندارند، اما رت‌های گروه دریافت کننده‌ی چربی بیشتر، میزان تری گلیسرید و قند خون ناشتاً بالاتری نشان می‌دهند (۵/۸۳ mmol/l). در این رت‌ها، سطح انسولین کاهش یافت؛ اما این کاهش از نظر آماری معنی‌دار نبود.

شكل ۱ سطح گلوکز سرم خون بعد از OGTT را نشان می‌دهد. رت‌های گروه دریافت کننده‌ی رژیم غذایی طبیعی، افزایشی در غلظت گلوکز سرم در

آن با الکتروفورز روی ژل ۱ درصد آگارز بررسی شد. همه‌ی miRNA‌ها به مولکول‌های پلی آدنیله تغییر cDNA یافتند و با استفاده از کیت سنتز Exiqon's miRCURY LNATM, Cat# ۲۰۳۳۰۰ (cDNA Synthesis Kit) در یک مرحله به تبدیل شدند. دم پلی A به miRNA بالغ اضافه شد و سنتز cDNA با استفاده از پرایمر پلی T با انتهای ۳' تغییر یافت و یک Universal tag گرفت. نسخه‌ی cDNA با استفاده از پرایمرهای LNA-enhanced miRNA و برگشت تکثیر شد. غلظت یکسانی از RNA استخراج شده ۲۰ μ g در واکنش cDNA با حجم کلی ۱ μ l استفاده شد (طبیعی‌سازی به وسیله‌ی مقدار). بیان mRNA به وسیله‌ی real time SYBR-green, Cat # ۲۰۳۴۵۰ (Exiqon SYBR Green Master Mix) با استفاده از I مخلوط واکنش PCR (۱۰ μ l) شامل ۴ μ l محصول RT رونویسی معکوس (۱:۱۰) برای تکثیر محصول Real time (Real time) با استفاده از پرایمرهای ویژه‌ی q-PCR LNA-rno-miRNA-۱۰۳ استفاده شد. Step one plus applied PCR با استفاده از دستگاه biosystems انجام گرفت؛ به صورتی که ابتدا ۱۰ دقیقه در ۹۵ °C انکوبه شد و سپس در ۴۰ چرخه‌ی ۹۵ °C به مدت ۱۰ ثانیه و ۶۰ °C به مدت ۱ دقیقه قرار گرفت. همه‌ی نمونه‌ها به صورت جفت تکثیر شدند. نتایج با استفاده از روش $\Delta\Delta Ct$ (Delta delta CT Method) مقایسه‌ای بررسی شدند. Unisp ۶ RNA spik in q-PCR استفاده شد (۳۳-۳۴).

همه‌ی اطلاعات به صورت میانگین \pm انحراف از

جدول ۱. متابولیت‌های خونی رت‌های شاهد و پیش دیابت که با رژیم غذایی پر چرب ایجاد شده‌اند

قبل از مداخله رژیم غذایی (۱۰ هفته)		بعد از مداخله رژیم غذایی (۱۰ هفته)		متغیر
شاهد (NFD)	مورد (HFD)	شاهد (NFD)	مورد (HFD)	
۱۴۵/۷۵ ± ۱/۹۹	۱۴۴/۷۵ ± ۲/۰۶	۱۹۱/۶۰ ± ۶/۵۱	۲۲۳/۵۰ ± ۲/۲۰	وزن (gr)
+۱/۵۰ ± ۰/۱۳	۱/۵۱ ± ۰/۰۸	۱/۵۳ ± ۰/۰۱۳	۱/۵۵ ± ۰/۰۹	(mmol/l) TC
۱/۲۳ ± ۰/۱۶	۰/۸۸ ± ۰/۰۸	+۱/۱۸ ± ۰/۱۰	۲/۱۴ ± ۰/۰۹	(mmol/l) TG
۰/۹۰ ± ۰/۳۴	۰/۹۰ ± ۰/۳۶	۰/۹۱ ± ۰/۰۳۳	۰/۸۸ ± ۰/۰۷	(mmol/l) LDL
۴/۹۱ ± ۰/۲۸	۵/۰۵ ± ۰/۱۷	۵/۳۴ ± ۰/۰۴۳	۵/۸۳ ± ۰/۱۰	(mmol/l) FBG
۱/۴۰ ± ۰/۱۰	۱/۲۰ ± ۰/۱۰	۱/۳۰ ± ۰/۰۲	۰/۵۰ ± ۰/۰۳	انسولین (ug/l)

مقادیر به صورت میانگین ± انحراف معیار بیان شده‌اند، $n = 8$ برای هر گروه، $P \leq 0/05$ به عنوان سطح معنی‌داری در نظر گرفته شد

NFD: Normal fat diet; HFD: High fat diet; TC: Total cholesterol; TG: Triglyceride; LDL: Low density lipoprotein

FBG: Fast blood glucose

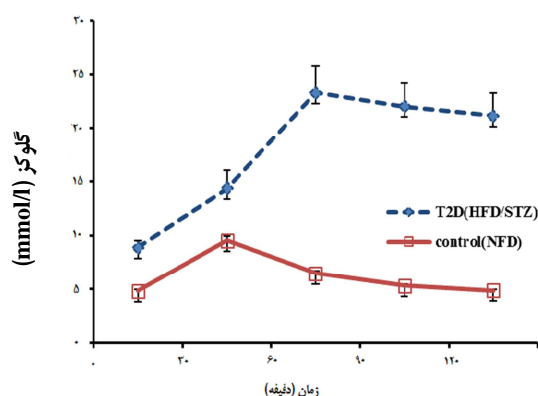
تحمل گلوکز حیوانات با رژیم غذایی پر چرب که دریافت کرده‌اند، در پی تغییرات گلوکز نقص نشان می‌دهد. سطح گلوکز بالای خون به طور مشخص در گروه HFD/STZ مشاهده شد. گلوکز خون ناشتا در حیوانات HFD/STZ به طور معنی‌داری در مقایسه با گروه‌های دریافت کننده‌ی رژیم غذایی طبیعی و گروه دریافت کننده‌ی رژیم غذایی پر چرب بالاتر است. این سطح بین ۹/۵-۱۱ mmol/l و میانگین گلوکز خون گروه طبیعی ≤ ۱۹ mmol/l بود.

بیان miR-۱۰۳ در سلول‌های تک هسته‌ای خون

محیطی

سنچش‌ها به طور موفقیت‌آمیزی در نمونه‌های NFD، HFD و PBMC رت گروه ۸، Rт گروه ۸ و PBMC Rт ۸ مدل مبتلا به دیابت نوع ۲ انجام گرفت. miR-۱۰۳ در نمونه‌های PBMC سه گروه قابل دریابی بود و همان‌گونه که در شکل ۲ نشان داده شده است، بیان miR-۱۰۳ در نمونه‌های PBMC پیش دیابت (HFD) و رت‌های مدل مبتلا به دیابت نوع ۲ در مقایسه با گروه طبیعی افزایش یافته است (به

مدت ۳۰ دقیقه (۹/۵ mmol/l) بعد از دریافت گلوکز را نشان می‌دهند که بعد از ۲ ساعت به سرعت به سطح طبیعی می‌رسد (۵ mmol/l). بر عکس، غلظت گلوکز سرم در رت‌های دریافت کننده‌ی رژیم غذایی پر چرب به سرعت افزایش می‌یابد و حتی دو ساعت پس از دریافت گلوکز هم بالا باقی می‌ماند (۲۱ mmol/l).



شکل ۱. آزمایش تحمل گلوکز (OGTT) یا NFD (Normal fat diet) در رت‌های گروه HFD/STZ (High fat diet/ Streptozotocin)

میانگین ± انحراف معیار بیان شده‌اند، $n = 8$ برای هر گروه $P \leq 0/05$ به عنوان سطح معنی‌داری در نظر گرفته شد.

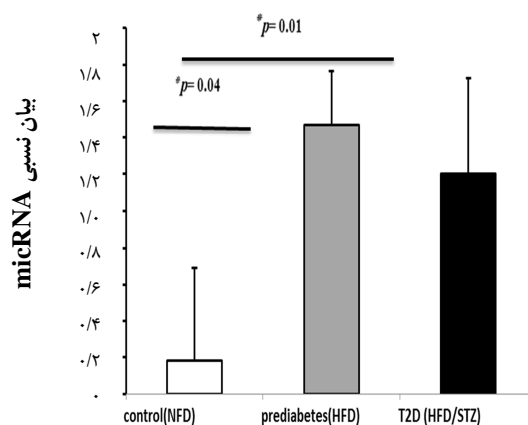
بافت چربی، پانکراس و ماهیچه‌ی اسکلتی متمرکز هستند. جمع‌آوری این بافت‌ها برای تشخیص‌های ژنتیکی دشوار است و شواهد بر وجود miRNA در خون انسان و حیوانات (علاوه بر بافت) دلالت می‌کنند که این miRNA می‌توانند به صورت آزاد در خون و یا درون سلول‌های تک هسته‌ای خون محیطی قرار بگیرند (۳۶-۳۷).

برخی انواع ارتباطات درون ارگانی با مبادله‌ی miRNA از ارگان‌های مختلف به ویژه اعضایی با اختلال فیزیولوژیکی به خون همراه است و آن را منبع مناسب و غیر تهاجمی جایگزین برای چنین ارگان‌هایی می‌سازد (۳۸).

یافته‌ها نشان می‌دهد که miRNA ترشحی اگرزوومی به عنوان خاموش کننده‌ی کلیدی بیان ژن عمل می‌کند و باعث مهار چند نسخه‌ای است که منجر به ایجاد حوادث بیولوژیکی ویژه می‌گردد. miRNA در سراسر بدن گردش می‌کنند و در تماس نزدیک و مستقیم با ارگان‌های مختلف هستند که به عنوان منبع مهمی برای بیماری‌های همراه با تغییر بیان miRNA به شمار می‌روند. این واقعیت، روش نوینی برای بررسی سلامت افراد با بررسی miRNAهای گردش خون به وجود آورده است.

Zampetaki و همکاران اولین شواهد مبنی بر تغییر miRNAهای پلاسمای افراد مبتلا به دیابت نوع ۲ را ارایه دادند (۳۹). الگوی متفاوت بیانی در miRNAهای در گردش مرتبط با دیابت در سرم و خون بیماران مبتلا و همچنین در حیوانات نشان داده شده است. نتایج به دست آمده، مکمل نتایج حاصل از پانکراس و دیگر بافت‌های هدف انسولین است (۴۰-۴۱). اطلاعات کافی در مورد الگوی بیانی

ترتیب با $P = 0.024$ و $P = 0.01$. اختلاف معنی‌داری بین سطح miR-103 در نمونه‌های PBMC بین رت‌های گروه HFD و رت‌های مبتلا به دیابت نوع ۲ مشاهده نشد ($P = 0.250$) (شکل ۲).



شکل ۲. آنالیز بیان miRNA به وسیله‌ی qRT-PCR (Quantitative reverse transcriptase-polymerase chain reaction) در سلول‌های تک هسته‌ای خون ($n_{pred} = 8$, $n_{T2D} = 8$, $n_{NFD} = 8$). مقادیر به صورت میانگین \pm انحراف معيار در مقیاس \log_2 بیان شده است. $P < 0.05$ به عنوان سطح معنی‌داری در نظر گرفته شد و از آزمون One-way ANOVA (one-way analysis of variance) استفاده گردید.

بحث

شناسایی نقص مولکولی اولیه‌ی دخیل در پاتوفیزیولوژی دیابت، هدف علمی و بالینی مهمی است. مطالعات پیشین، ارتباط بین تغییر بیان miRNA و گسترش دیابت نوع ۲ را نشان داده‌اند (۳۵). نقش واسطه‌ای پیشنهاد شده برای این مولکول‌های کوچک در دیابت نوع ۲، پنجره‌ی جدیدی به سوی تحقیق و آشکار ساختن نشانگرهای زیستی منتخب در دیابت نوع ۲ گشوده است. این مطالعات، به طور عمده بر بیان miRNA در بافت‌های مرتبط با دیابت مانند کبد،

دقیق‌تری به هم ریختگی متابولیکی در بیماران مبتلا به دیابت نوع ۲ را نسبت به مدل‌های جوندگان تکی ژنی دیابت/چاقی یا چاقی ایجاد شده با رژیم غذایی در رت و موش نشان می‌دهد.

ایجاد مدل‌های حیوانی مبتلا به دیابت نوع ۲ با رژیم غذایی پر چرب با کربوهیدرات‌پایین و در پی آن تزریق STZ انجام گرفت. مدل‌های حیوانی که به این روش ایجاد می‌شوند، قبل از تزریق STZ افزایش انسولین خون را نشان می‌دهند. اگر چه در این مطالعه، دوره‌ی طولانی‌تری تحت رژیم پر چرب قرار گرفتند تا مدل نزدیک‌تری به نقص تحمل گلوکز انسانی (Impaired fasting یا IFG/IGT) یا glucose/impaired glucose tolerance (glucose/impaired glucose tolerance) ایجاد شود. بر اساس برخی گزارش‌ها، مسیر انتخابی در این مطالعه مناسب‌ترین روش برای تقلید وضعیت پیش دیابت در انسان است. این روش، با تفکر شکل‌گیری حالت مقاومت انسولینی سال‌ها بعد از ایجاد دیابت و عدم عملکرد سلول‌های β همخوانی دارد. با در نظر گرفتن گزارش‌های دیگر که گروهی از mRNAهای مبتلا به دیابت را بررسی نموده‌اند و تغییر مشخصی مشاهده نشده (۲۱)، مطالعه بر روی miR-۱۰۳ نشان از اهمیت آن در بیماری‌زایی دیابت دارد و می‌تواند در برنامه‌های غربالگری اولیه استفاده شود.

تشکر و قدردانی

به این وسیله از حمایت مالی دانشگاه علوم پزشکی اصفهان در اجرای این پژوهش سپاسگزاری می‌گردد.

micRNAهای سلول‌های خونی بیماران مبتلا به دیابت نوع ۲ که یک نمونه‌ی قابل دسترسی برای تشخیص‌های کلینیکی است، وجود ندارد (۴۲).

در این مطالعه بر اساس سنجش‌های *in silico* و اطلاعات موجود از پایگاه ایترنتسی و منابع علمی منتشر شده‌ی مناسب، روی الگوی بیانی miR-۱۰۳ در نمونه‌های PBMC رت‌های شاهد (NFD)، پیش دیابت (HFD) و مبتلا به دیابت نوع ۲ متتمرکز است. miR-۱۰۳ نقش کلیدی در مراحل مختلف ایجاد دیابت نوع ۲ ایفا می‌کند. نقش miR-۱۰۳ در تنظیم چندین mRNA دخیل در مراحل متابولیسم لیپیدی و Acetyl-coA سلولی پیچیده است (۳۰). خاموش کردن miR-۱۰۳ در موش‌های ob/ob منجر به افزایش حساسیت بافت چربی به انسولین می‌شود. ژن Caveolin ۱ که یکی از اجزای کلیدی است و از واسطه‌های مهم در سیگنال انسولین است، به عنوان یکی از هدف‌های تأیید شده‌ی آزمایشگاهی miR-۱۰۳ معرفی شده است (۴۳).

همچنین گزارش شده است که miR-۱۰۳ در کبد موش‌های ob/ob در مقایسه با گروه طبیعی و موش‌های تیمار شده با STZ، افزایش بیان قابل توجهی نشان می‌دهد (۴۴).

در این مطالعه، رت‌های مبتلا به دیابت نوع ۲ که با القای HFD/STZ ایجاد شدند، برای کترل تغییرات rno-miR-۱۰۳ پس از دریافت رژیم غذایی پر کالری قبل از تزریق STZ به منظور دستیابی به فهم بیشتری از مرحله‌ی تغییر بیان rno-miR-۱۰۳ از وضعیت پیش دیابت به دیابت استفاده شد. HFD/STZ به طور

References

1. Whiting DR, Guariguata L, Weil C, Shaw J. IDF diabetes atlas: global estimates of the prevalence of diabetes for 2011 and 2030. *Diabetes Res Clin Pract* 2011; 94(3): 311-21.
2. Abdul-Ghani MA, DeFronzo RA. Pathophysiology of prediabetes. *Curr Diab Rep* 2009; 9(3): 193-9.
3. Muoio DM, Newgard CB. Mechanisms of disease: molecular and metabolic mechanisms of insulin resistance and beta-cell failure in type 2 diabetes. *Nat Rev Mol Cell Biol* 2008; 9(3): 193-205.
4. Schlienger JL. Type 2 diabetes complications. *Presse Med* 2013; 42(5): 839-48.
5. Sanghera DK, Blackett PR. Type 2 Diabetes Genetics: Beyond GWAS. *J Diabetes Metab* 2012; 3(198).
6. Gerich JE. The genetic basis of type 2 diabetes mellitus: impaired insulin secretion versus impaired insulin sensitivity. *Endocr Rev* 1998; 19(4): 491-503.
7. Pandey AK, Agarwal P, Kaur K, Datta M. MicroRNAs in diabetes: tiny players in big disease. *Cell Physiol Biochem* 2009; 23(4-6): 221-32.
8. Shantikumar S, Caporali A, Emanueli C. Role of microRNAs in diabetes and its cardiovascular complications. *Cardiovasc Res* 2012; 93(4): 583-93.
9. Bartel DP. MicroRNAs: genomics, biogenesis, mechanism, and function. *Cell* 2004; 116(2): 281-97.
10. Xie X, Lu J, Kulkarni EJ, Golub TR, Mootha V, Lindblad-Toh K, et al. Systematic discovery of regulatory motifs in human promoters and 3' UTRs by comparison of several mammals. *Nature* 2005; 434(7031): 338-45.
11. Behm-Ansmant I, Rehwinkel J, Izaurralde E. MicroRNAs silence gene expression by repressing protein expression and/or by promoting mRNA decay. *Cold Spring Harb Symp Quant Biol* 2006; 71: 523-30.
12. Engels BM, Hutvagner G. Principles and effects of microRNA-mediated post-transcriptional gene regulation. *Oncogene* 2006; 25(46): 6163-9.
13. Ambros V. The functions of animal microRNAs. *Nature* 2004; 431(7006): 350-5.
14. Aravin A, Tuschl T. Identification and characterization of small RNAs involved in RNA silencing. *FEBS Lett* 2005; 579(26): 5830-40.
15. Bartel DP. MicroRNAs: target recognition and regulatory functions. *Cell* 2009; 136(2): 215-33.
16. van Iterson M, Bervoets S, de Meijer EJ, Buermans HP, 't Hoen PA, Menezes RX, et al. Integrated analysis of microRNA and mRNA expression: adding biological significance to microRNA target predictions. *Nucleic Acids Res* 2013; 41(15): e146.
17. Ha TY. MicroRNAs in Human Diseases: From Cancer to Cardiovascular Disease. *Immune Netw* 2011; 11(3): 135-54.
18. Poy MN, Eliasson L, Krutzfeldt J, Kuwajima S, Ma X, Macdonald PE, et al. A pancreatic islet-specific microRNA regulates insulin secretion. *Nature* 2004; 432(7014): 226-30.
19. Tang X, Muniappan L, Tang G, Ozcan S. Identification of glucose-regulated miRNAs from pancreatic {beta} cells reveals a role for miR-30d in insulin transcription. *RNA* 2009; 15(2): 287-93.
20. He A, Zhu L, Gupta N, Chang Y, Fang F. Overexpression of micro ribonucleic acid 29, highly up-regulated in diabetic rats, leads to insulin resistance in 3T3-L1 adipocytes. *Mol Endocrinol* 2007; 21(11): 2785-94.
21. Ling HY, Ou HS, Feng SD, Zhang XY, Tuo QH, Chen LX, et al. Changes IN microRNA (miR) profile and effects of miR-320 in insulin-resistant 3T3-L1 adipocytes. *Clin Exp Pharmacol Physiol* 2009; 36(9): e32-e39.
22. Rottiers V, Najafi-Shoushtari SH, Kristo F, Gurumurthy S, Zhong L, Li Y, et al. MicroRNAs in metabolism and metabolic diseases. *Cold Spring Harb Symp Quant Biol* 2011; 76: 225-33.
23. Hoekstra M, van der Lans CA, Halvorsen B, Gullestad L, Kuiper J, Aukrust P, et al. The peripheral blood mononuclear cell microRNA signature of coronary artery disease. *Biochem Biophys Res Commun* 2010; 394(3): 792-7.
24. Keller A, Leidinger P, Borries A, Wendschlag A, Wucherpfennig F, Scheffler M, et al. miRNAs in lung cancer - studying complex fingerprints in patient's blood cells by microarray experiments. *BMC Cancer* 2009; 9: 353.
25. Zeng XL, Zhang SY, Zheng JF, Yuan H, Wang Y. Altered miR-143 and miR-150 expressions in peripheral blood mononuclear cells for diagnosis of non-small cell lung cancer. *Chin Med J (Engl)* 2013; 126(23): 4510-6.
26. Mohr S, Liew CC. The peripheral-blood transcriptome: new insights into disease and risk assessment. *Trends Mol Med* 2007; 13(10): 422-32.
27. John B, Enright AJ, Aravin A, Tuschl T, Sander C, Marks DS. Human MicroRNA targets. *PLoS Biol* 2004; 2(11): e363.
28. Lewis BP, Burge CB, Bartel DP. Conserved seed pairing, often flanked by adenosines,

- indicates that thousands of human genes are microRNA targets. *Cell* 2005; 120(1): 15-20.
- 29.** Dweep H, Sticht C, Pandey P, Gretz N. miRWALK--database: prediction of possible miRNA binding sites by "walking" the genes of three genomes. *J Biomed Inform* 2011; 44(5): 839-47.
- 30.** Wilfred BR, Wang WX, Nelson PT. Energizing miRNA research: a review of the role of miRNAs in lipid metabolism, with a prediction that miR-103/107 regulates human metabolic pathways. *Mol Genet Metab* 2007; 91(3): 209-17.
- 31.** Reed MJ, Meszaros K, Entes LJ, Claypool MD, Pinkett JG, Gadbois TM, et al. A new rat model of type 2 diabetes: the fat-fed, streptozotocin-treated rat. *Metabolism* 2000; 49(11): 1390-4.
- 32.** Srinivasan K, Viswanad B, Asrat L, Kaul CL, Ramarao P. Combination of high-fat diet-fed and low-dose streptozotocin-treated rat: a model for type 2 diabetes and pharmacological screening. *Pharmacol Res* 2005; 52(4): 313-20.
- 33.** Roberts TC, Coenen-Stass AM, Wood MJ. Assessment of RT-qPCR normalization strategies for accurate quantification of extracellular microRNAs in murine serum. *PLoS One* 2014; 9(2): e89237.
- 34.** Kroh EM, Parkin RK, Mitchell PS, Tewari M. Analysis of circulating microRNA biomarkers in plasma and serum using quantitative reverse transcription-PCR (qRT-PCR). *Methods* 2010; 50(4): 298-301.
- 35.** Herrera BM, Lockstone HE, Taylor JM, Wills QF, Kaisaki PJ, Barrett A, et al. MicroRNA-125a is over-expressed in insulin target tissues in a spontaneous rat model of Type 2 Diabetes. *BMC Med Genomics* 2009; 2: 54.
- 36.** Chen X, Ba Y, Ma L, Cai X, Yin Y, Wang K, et al. Characterization of microRNAs in serum: a novel class of biomarkers for diagnosis of cancer and other diseases. *Cell Res* 2008; 18(10): 997-1006.
- 37.** Hunter MP, Ismail N, Zhang X, Aguda BD, Lee EJ, Yu L, et al. Detection of microRNA expression in human peripheral blood microvesicles. *PLoS One* 2008; 3(11): e3694.
- 38.** Kosaka N, Iguchi H, Yoshioka Y, Takeshita F, Matsuki Y, Ochiya T. Secretory mechanisms and intercellular transfer of microRNAs in living cells. *J Biol Chem* 2010; 285(23): 17442-52.
- 39.** Zampetaki A, Kiechl S, Drozdov I, Willeit P, Mayr U, Prokopi M, et al. Plasma microRNA profiling reveals loss of endothelial miR-126 and other microRNAs in type 2 diabetes. *Circ Res* 2010; 107(6): 810-7.
- 40.** Karolina DS, Armugam A, Tavintharan S, Wong MT, Lim SC, Sum CF, et al. MicroRNA 144 impairs insulin signaling by inhibiting the expression of insulin receptor substrate 1 in type 2 diabetes mellitus. *PLoS One* 2011; 6(8): e22839.
- 41.** Kong L, Zhu J, Han W, Jiang X, Xu M, Zhao Y, et al. Significance of serum microRNAs in prediabetes and newly diagnosed type 2 diabetes: a clinical study. *Acta Diabetol* 2011; 48(1): 61-9.
- 42.** Collares CV, Evangelista AF, Xavier DJ, Rassi DM, Arns T, Foss-Freitas MC, et al. Identifying common and specific microRNAs expressed in peripheral blood mononuclear cell of type 1, type 2, and gestational diabetes mellitus patients. *BMC Res Notes* 2013; 6: 491.
- 43.** Trajkovski M, Hausser J, Soutschek J, Bhat B, Akin A, Zavolan M, et al. MicroRNAs 103 and 107 regulate insulin sensitivity. *Nature* 2011; 474(7353): 649-53.
- 44.** Li S, Chen X, Zhang H, Liang X, Xiang Y, Yu C, et al. Differential expression of microRNAs in mouse liver under aberrant energy metabolic status. *J Lipid Res* 2009; 50(9): 1756-65.

Evaluation of miR-103 Expression in Peripheral Blood Mononuclear Cells of Type 2 Diabetic and Prediabetic Rats

Nasimeh Vatandoust¹, Sedigheh Momenzadeh MSc², Sara Kamali³, Rasoul Salehi PhD⁴

Original Article

Abstract

Background: Type 2 diabetes (T2D) is the most prevalent chronic metabolic disease. MicroRNAs act as regulators of gene expression by inhibiting translation or promoting degradation of target mRNAs. Recent reports indicate that microRNAs can play important role in establishment of diabetes and has roles in type 2 diabetes different aspects including insulin insensitivity. To detect a noninvasive screening method for type 2 diabetes, we evaluated the expression level of miR-103 in peripheral blood mononuclear cells (PBMC) samples from pre-diabetes and type 2 diabetes rats in compare to normal group ($n = 8$ in each group) using real-time polymerase chain reaction (RT-PCR) method.

Methods: Animal model type 2 diabetes was made with combination of high-fat diet (HFD) and low dose of stretozotocin (STZ) injection. Blood glucose level, serum insulin, and cholesterol, low density lipid and triglyceride levels were measured after 10-weeks diet interference. Peripheral blood mononuclear cells isolated from blood samples of three groups of animals, and then total RNA was obtained using Trizol reagent. All microRNAs converted to cDNA (complementary DNA). Expression level of rno-miR-103 was assessed via one-step SYBR Green I relative real-time polymerase chain reaction, using specific LNA TM qRT-PCR primer set for amplifying rno-miR-103. Statistical analysis was performed using SPSS₂₀ software.

Findings: Combination of high-fat diet and low dose of stretozotocin effectively induced type 2 diabetes in rats. rno-miR-103 expression level in peripheral blood mononuclear cells samples of pre-diabetic (high-fat diet) subjects and type 2 diabetes rats significantly elevated in compare to normal group.

Conclusion: The high-fat diet/stretozotocin-induced type 2 diabetes animal model is the most suitable way for mimicking pre-diabetes and diabetes in men. The result of miRNA expression assay in peripheral blood mononuclear cells indicates the importance of rno-miR-103 in type 2 diabetes pathogenesis in early stages and has potential as a clinically useful noninvasive source to predict the disease status.

Keywords: Type 2 diabetes, MicroRNA, Noninvasive diagnosis, Peripheral blood mononuclear cells, miR-103

Citation: Vatandoust N, Momenzadeh S, Kamali S, Salehi R. Evaluation of miR-103 Expression in Peripheral Blood Mononuclear Cells of Type 2 Diabetic and Prediabetic Rats. J Isfahan Med Sch 2014; 32(306): 1746-56

1- MSc Student, Department of Genetics and Molecular Biology, School of Medicine AND Student Research Committee, Isfahan University of Medical Sciences, Isfahan, Iran

2- Department of Medical Biotechnology, School of Medicine, Arak University of Medical Sciences, Arak, Iran

3- Department of Biology, School of Sciences, University of Isfahan, Isfahan, Iran

4- Associate Professor, Department of Genetics and Molecular Biology, School of Medicine, Isfahan University of Medical Sciences, Isfahan, Iran

Corresponding Author: Rasoul Salehi PhD, Email: r_salehi@med.mui.ac.ir

اختلال در مسیر پیام رسانی Wnt از طریق متیلاسیون ژن های WIF1 و DKK1 در بیماران مبتلا به لوسومی میلوییدی حاد در زمان تشخیص بیماری

علی قاسمی^۱، دکتر محسن محمدی^۲، عباس قوطاسلو^۱، کاظم غفاری^۳، صادق عباسیان^۱

مقاله پژوهشی

چکیده

مقدمه: لوسومی میلوییدی حاد (Acute myeloid leukemia AML) گروه هتروژنی از بدخیمی‌های هماتولوژیک می‌باشند که عوامل زیادی در پاتوژن آن‌ها دخیل هستند. در AML، تعداد زیادی از ژن‌های سرکوب کنندهٔ تومور مثل CDKN2B و p73 طی فرایند DNA متیلاسیون خاموش می‌شوند. پروتئین‌های WIF1 (Wnt inhibitory factor 1) و DKK1 (Dickkopf 1)، تنظیم کننده‌های منفی مسیر پیام‌رسانی Wnt می‌باشند. در مطالعه‌ی حاضر، وضعیت متیلاسیون ژن‌های WIF1 و DKK1 در بیماران مبتلا به AML مورد بررسی قرار گرفت.

روش‌ها: نمونه‌ی خون ۱۲۰ بیمار مبتلا به AML و ۳۰ فرد سالم به عنوان شاهد گرفته شد. DNA نمونه‌ها استخراج و با سدیم بی‌سولفید تیمار دارویی گردید. برای بررسی وضعیت متیلاسیون ژن‌ها، از تکنیک MSP (Methylation specific-polymerase chain reaction) با پرایمرهای اختصاصی برای توالی متیله و غیر متیله ژن‌های WIF1 و DKK1 استفاده شد.

یافته‌ها: درصد هایپرمتیلاسیون برای ژن‌های WIF1 و DKK1 به ترتیب ۳۵/۰ (۴۲/۱۲۰) و ۲۸/۳ (۳۴/۱۲۰) بود. در هیچ کدام از نمونه‌های شاهد که مربوط به افراد سالم بودند، متیلاسیون این دو ژن مشاهده نشد. بیشترین هایپرمتیلاسیون ژن WIF1 (P = ۰/۰۰۳۰) و ژن DKK1 (P = ۰/۰۰۵۰) در بیماران با زیر گروه AML-M0 مشاهده شد.

نتیجه‌گیری: در مطالعه‌ی حاضر مشاهده شد که همانند بسیاری از تومورهای توپر، متیلاسیون ژن‌های WIF1 و DKK1 در AML نیز انافق می‌افتد. از این رو احتمال می‌رود که متیلاسیون این ژن‌ها در شروع بیماری نقش داشته باشد.

وازگان کلیدی: متیلاسیون، WIF1، DKK1، DNA، حاد میلوبلاستیک

ارجاع: قاسمی علی، محمدی محسن، قوطاسلو عباس، غفاری کاظم، عباسیان صادق. اختلال در مسیر پیام‌رسانی Wnt از طریق متیلاسیون ژن‌های WIF1 و DKK1 در بیماران مبتلا به لوسومی میلوییدی حاد در زمان تشخیص بیماری. مجله دانشکده پزشکی اصفهان ۱۳۹۳؛ ۳۲(۳۰۶): ۱۷۵۷-۱۷۶۶

مقدمه

لوسومی حاد میلوییدی (Acute myeloid leukemia (AML)) اختلال کلونال سلول‌های بنیادی خون‌ساز می‌باشد که با تکثیر مهار نشدنی سلول‌های بنیادی

خون‌ساز، توقف بلوغ سلول‌ها در مرحله‌ی بلاست و مهاجرت بلاست‌ها از مغز استخوان به خون محیطی همراه است (۱). در پاتوژن AML برخی از ناهنجاری‌ها از جمله تغییرات اپیژنتیک و جابه‌جایی

۱- کارشناس ارشد، گروه هماتولوژی، دانشکده پیراپزشکی، دانشگاه علوم پزشکی تهران، تهران، ایران

۲- گروه بیوتکنولوژی، دانشکده پیراپزشکی، دانشگاه علوم پزشکی تهران، تهران، ایران

۳- مری، گروه هماتولوژی، دانشکده پیراپزشکی، دانشگاه علوم پزشکی اراک، اراک، ایران

نویسنده‌ی مسؤول: علی قاسمی

Email: a.qasemi2012@yahoo.com

اولین بدخیمی هماتولوژیک که نقش مهم مسیر پیام رسانی Wnt در پاتوژن آن مشاهده شد، لوسمی میلوییدی مزمن (Chronic myeloid leukemia) یا CML (۱۰). بتا کاتنین یک عامل رونویسی تنظیم کننده داخل سلولی است که با سرطان‌ها همراه است. Wnt سطح سیتوپلاسمی و پایداری بتا کاتنین را کنترل می‌کند (۱۱). در غیاب لیگاند Wnt و نقش محافظتی آن، سطح بتا کاتنین به دلیل تخریب توسط آنزیم‌های کازئین کیناز ۱ و گلیکوژن سنتاز کیناز ۳، کاهش می‌یابد (۱۲). اما زمانی که لیگاند به گیرنده خود یعنی گیرنده فریزلد (Frizzled receptor) متصل شود، باعث فعال شدن پروتئین DV1 (Dishevelled) می‌گردد (۱۳). زمانی که پیام رسانی Wnt توسط پروتئین DKK1 سرکوب می‌شود، بتا کاتنین فسفریله می‌گردد و در پی آن، یوبی کوئینه و تجزیه می‌شود (۷).

تجمع سیتوپلاسمی بتا کاتنین منجر به انتقال آن به داخل هسته می‌شود و سبب بیان برخی از ژن‌های در گیر در تکثیر و تمایز سلولی می‌شود (۹، ۱۴). در سال‌های اخیر، مشاهده شده است که هر دو عامل تغییرات کروموزومی و جهش FLT3 مرتبط با پاتوژن AML در مسیر پیام رسانی Wnt نیز دخیل DKK1 باشند (۱۵). متیلاسیون ژن‌های WIF1 و DKK1 باعث کاهش اثر مهاری بر روی مسیر Wnt می‌شود. سطح سیتوپلاسمی و هسته‌ای بتا کاتنین باعث تقویت عوامل رونویسی می‌گردد که سبب بیان برخی از ژن‌های دخیل در تنظیم چرخه سلولی از جمله متیلاسیون این ژن‌ها ممکن است نقش آغازگر در لوکموزن AML را داشته باشد. در مطالعه‌ی حاضر،

کروموزومی مشخص شده است. پیشرفت‌های اخیر در تحقیقات گسترده مولکولی، کمک زیادی در چگونگی تشخیص AML می‌کند. در AML، تعداد زیادی از ژن‌های سرکوب کننده تومور مثل CDKN2B و p73 توسط فرایند DNA متیلاسیون خاموش می‌شوند (۲). اختلالات اپیژنیکی در مقایسه با تغییرات ژنیکی برگشت‌پذیر هستند و توسط عوامل دمتیله کننده DNA از جمله AZA و ۵-آزا-۲-داکسی سایتیدین که در درمان بدخیمی‌های خونی نقش دارند، درمان می‌شوند (۳-۶).

علاوه بر سن، شمارش گلبول‌های سفید و سیتوژنیک، بررسی تغییرات ژنیکی از جمله جهش ژن‌های NPM1 (نوکلئوفوسین)، WT1 و FLT3 (Wilms tumor1) نیز از جمله عوامل پیش‌آگهی دهنده مهم AML می‌باشند. در سال‌های اخیر، اختلالات اپیژنیکی شامل متیلاسیون ژن‌های سرکوب کننده تومور مانند ژن‌های WIF1 (Dickkopf-1) و DKK1 (Wnt inhibitory factor1) نقش مهمی در پاتوژن AML ایفا می‌کنند. این تغییرات، منجر به ممانعت از آپوپتوز و تمایز سلول‌های بلاست، افزایش تکثیر و خود نوسازی سلول‌های بلاست می‌شود (۷). پروتئین‌های WIF1 و DKK1 آنتاگونیست Wnt هستند که باعث سرکوب مسیر پیام رسانی Wnt در افراد سالم می‌شوند (۸). مسیر پیام رسانی Wnt در تمایز و تکثیر سلول‌ها نقش تنظیمی را بر عهده دارد. در برخی از بدخیمی‌ها از جمله سرطان کولورکتال، تومورهای سر و گردن و سرطان معده، بر اثر فعالیت مسیر پیام رسانی Wnt، تکثیر کنترل نشده‌ی سلول‌ها مشاهده شده است (۹).

شد، شامل پرایمر مستقیم با توالی CGGAATGTTCGGGTCGC-۳' و پرایمر معکوس ۵'-CACGAAACCGTACCGATTCTG-۳' و برای ژن DKK1 غیر متیله پرایمر مستقیم با توالی ۵'-GTTGGAATGTTTGGGTTGT-۳' و پرایمر معکوس با توالی ۵'-CCACAAAACCATAACCAATTCA-۳' توالی‌های پرایمر اختصاصی که برای ژن WIF1 متیله استفاده شد، شامل پرایمر مستقیم با توالی ۵'-ATTTAGGTCGGAGGCGACGC-۳' و پرایمر معکوس ۳'-GACCTCCGCCGCAATACCAA و ژن DKK1 غیر متیله پرایمر مستقیم با توالی ۵'-TGGTATTAGGTGGGAGGTTGATGT-۳' و پرایمر معکوس با توالی ۵'-AACCTCCACCCACAATACCAA-۳' در واکنش MSP برای هر بیمار، ۴ واکنش با پرایمرهای متیله و غیر متیله مرتبط با ژن‌های WIF1 و DKK1 مورد بررسی قرار گرفت. برای وضعیت متیله از $2\ \mu\text{l}$ DNA که از قبل با بی‌سولفیت مجاور گشته بود، $12\ \mu\text{l}$ Master mix $12\ \mu\text{l}$, $\text{DH}_2\text{O}\ 4\ \mu\text{l}$, $0/5\ \mu\text{l}$ Forward pRimer و $0/5\ \mu\text{l}$ Reverse pRimer استفاده شد. در حالی که برای بررسی وضعیت غیر متیله، از Master mix $12\ \mu\text{l}$, $\text{DH}_2\text{O}\ 7/5\ \mu\text{l}$, DNA $2\ \mu\text{l}$ و Reverse pRimer $0/5\ \mu\text{l}$, Forward pRimer $0/5\ \mu\text{l}$ استفاده گردید. در ابتدا اجزای $0/5\ \mu\text{l}$ MSP تحت شرایط پیش دمایی که شامل 99°C واکنش به مدت ۱ دقیقه و 95°C به مدت ۳ دقیقه بود، قرار گرفت. سپس این واکنش توسط $35\ \text{sیکل}$ که شامل $99^{\circ}\text{C}\ 10\ \text{ثانیه}$ ، $95^{\circ}\text{C}\ 30\ \text{ثانیه}$ ،

وضعیت متیلاسیون ژن‌های WIF1 و DKK1 در بیماران مبتلا به AML در زمان تشخیص مورد بررسی قرار گرفت.

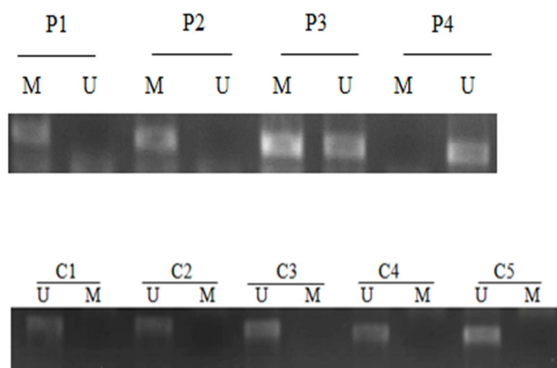
روش‌ها

نمونه‌ی خون ۱۲۰ بیمار مبتلا به AML در زمان تشخیص و ۳۰ نمونه از افراد سالم به عنوان شاهد منفی گرفته شد. تمام بیماران توسط رده‌بندی FAB (French–American–British) گروه‌بندی شدند. شاخص‌های بالینی شامل شمارش گلبول سفید، پلاکت، سن، هموگلوبین و میزان بهبودی بعد از شیمی درمانی القایی، از پرونده‌های پزشکی بیماران استخراج گردید. سلول‌های تک هسته‌ای از نمونه‌های گرفته شده شامل سلول‌های بلاست لوسمیک با روش سدیمتاسیون گرادیان غلظت با استفاده از محلول Ficoll-hypaque جدا و در ادامه، DNA با روش استاندارد نمک اشباع تخلیص شد (۱۷).

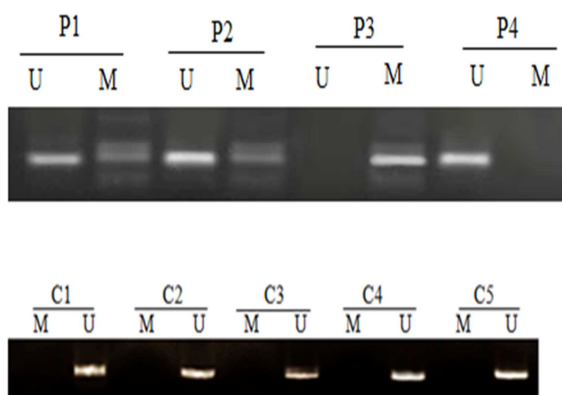
در مرحله‌ی بعد، DNA استخراج شده به وسیله‌ی کیت (Epitect Bisulfite kit, Qiagen) و بر اساس دستورالعمل شرکت سازنده تیمار شد. بعد از تیمار، بازهای سیتوزین غیر متیله به باز اوراسیل تبدیل می‌شوند، در حالی که بازهای سیتوزین متیله دست نخورده باقی می‌مانند. سپس وضعیت متیلاسیون ژن‌های MSP و DKK1 با استفاده از تکنیک (Methylation specific polymerase chain reaction) مورد بررسی قرار گرفت. MSP یک نوع PCR است که به بررسی متیلاسیون جزایر CpG می‌پردازد.

در این روش، از ۲ جفت پرایمر اختصاصی برای بررسی توالی متیله و غیر متیله استفاده شد. توالی‌های پرایمر اختصاصی که برای ژن DKK1 متیله استفاده

۳۸/۳ درصد) به طور کامل غیر متیله بودند (شکل ۲). در هیچ کدام از نمونه‌های شاهد منفی که مربوط به افراد سالم بودند، متیلاسیون ژن‌های WIF1 و DKK1 مشاهده نشد. ارتباط بین هایپرمتیلاسیون ژن‌های WIF1 و DKK1 با عالیم آزمایشگاهی و بالینی بیماران در جدول ۱ آمده است.



شکل ۱. وضعیت متیلاسیون پرومتوژن WIF1 در تعدادی از بیماران **Acute myeloid leukemia (AML)** و نمونه‌های شاهد. همان‌طور که ملاحظه می‌شود نمونه‌های افراد سالم به عنوان شاهد منفی با هیچ کدام از پرایمرهای متیله باند نداده است. شاهد مثبت = PC؛ شاهد منفی = NC؛ بیمار = M؛ غیر متیله = U.



شکل ۲. وضعیت متیلاسیون پرومتوژن DKK1 در تعدادی از بیماران **Acute myeloid leukemia (AML)** و نمونه‌های شاهد. همان‌طور که ملاحظه می‌شود نمونه‌های افراد سالم به عنوان شاهد منفی با هیچ کدام از پرایمرهای متیله باند نداده است. شاهد مثبت = PC؛ شاهد منفی = NC؛ بیمار = M؛ غیر متیله = U.

۵۸ °C برای ۳۰ ثانیه (WIF1-UM Primer) و ۶۲ °C برای ۳۰ ثانیه (WIF1 and DKK1-M Primer) و ۷۰ °C برای ۵ دقیقه (Extension) بود، دنبال شد. در این مطالعه، از کیت تجاری EpiTect PCR (Qiagen Inc cat No. ۵۹۶۹۵) control DNA حاوی DNA غیر متیله و DNA متیله بود، به ترتیب به عنوان شاهد منفی و شاهد مثبت استفاده گردید. به منظور تأیید محصول MSP، الکتروفورز بر روی ژل آگارز ۳ درصد انجام گرفت.

آنالیز آماری داده‌ها با استفاده از آزمون‌های SPSS و Mann-Whitney و Fisher's exact (version 21, SPSS Inc., Chicago, IL) انجام گرفت. $P < 0.05$ به عنوان سطح معنی‌داری در نظر گرفته شد.

یافته‌ها

از ۱۲۰ بیمار مورد مطالعه، ۷۸ نفر (۶۵ درصد) مرد و ۴۲ نفر (۳۵ درصد) زن بودند. محدوده سنی بیماران بین ۱۵-۷۲ سال و میانگین سنی آن‌ها ۴۵ سال بود. شمارش گلبول‌های سفید و پلاکت‌ها به ترتیب $۱۴۵۰۰۰-۶۰۰۰$ و $۲۰۰۰-۲۸۰۰۰$ و میانگین آن‌ها به ترتیب $۹۸۶۳۳/۳$ و $۲۷۸۱۸/۵$ سلول در هر میکرولیتر بود.

برای ژن WIF1 ۴۵ مورد از بیماران (۳۷/۵ درصد) به صورت همی‌متیله، ۴۲ مورد (۳۵ درصد) به طور کامل متیله و ۳۷ مورد (۳۰/۸ درصد) به طور کامل غیر متیله بودند (شکل ۱). در حالی که برای ژن DKK1 ۴۰ مورد (۳۳/۳ درصد) به صورت همی‌متیله، ۳۴ مورد (۲۸/۳ درصد) به طور کامل متیله و ۴۶ مورد

ژن WIF1 و ۳ بیمار (۸/۸۲ درصد) برای ژن DKK1 هایپرمتیله بودند. هیچ گونه ارتباط معنی‌داری بین هایپرمتیلاسیون ژن‌های WIF1 و DKK1 با عود بیماران مشاهده نشد (به ترتیب $P = 0.052$ و $P = 0.052$).
 همچنین اطلاعات مربوط به شیمی درمانی ۱۰۹ بیمار (۹۰/۸ درصد) درمان شده موجود بود. از این تعداد، ۹۵ بیمار (۷۹/۱ درصد) پس از شیمی درمانی ۳۰ چار بهبودی کامل شدند که از این تعداد، به ترتیب ۲۴ بیمار برای ژن‌های WIF1 و DKK1 هایپرمتیله بودند (به ترتیب $P = 0.0211$ و $P = 0.0211$).
 ۳۳ بیمار (۲۷/۵ درصد) به شیمی درمانی القای مقاوم بودند، که از این تعداد، به ترتیب ۱۴ و ۹ بیمار برای ژن‌های WIF1 و DKK1 هایپرمتیله بودند. هیچ گونه ارتباط معنی‌داری بین هایپرمتیلاسیون ژن‌های WIF1 و DKK1 در بین بیماران با و بدون متیلاسیون و بهبودی کامل پس از شیمی درمانی مشاهده نگردید.

در زمان تشخیص فراوانی هایپرمتیلاسیون دو ژن WIF1 و DKK1 به ترتیب ۳۵ درصد (۴۲ نفر از ۱۲۰ بیمار) و ۲۸/۳ درصد (۳۴ نفر از ۱۲۰ بیمار) بود. همچنین ۲۹/۱ درصد بیماران (۳۵ نفر از ۱۲۰ بیمار) در زمان تشخیص برای ژن‌های WIF1 و DKK1 مبتیله بودند (جدول ۱).
 متیلاسیون نابهجهای این ژن‌ها در تمام زیر گروه‌های FAB-AML مشاهده شد. بیشترین هایپرمتیلاسیون ژن‌های WIF1 (۰/۰۰۳) و FAB-۰ (۰/۰۰۵) DKK1 در ارتباط با زیر گروه AML-M مشاهده شد (جدول ۱). هیچ گونه ارتباط معنی‌داری بین هایپرمتیلاسیون ژن‌های WIF1 و DKK1 با شاخص‌های بالینی بیماران شامل جنس، سن، شمارش گلیولهای سفید و پلاکت مشاهده نشد (جدول ۱). تعداد ۱۶ نفر از ۱۲۰ بیمار دچار عود شده بودند که از این بین، ۷ بیمار (۱۶/۶ درصد) برای جدول ۱. ارتباط بین هایپرمتیلاسیون پرموتور ژن‌های WIF1 و DKK1 با عالیم بالینی و آزمایشگاهی بیماران AML

(Dickkopf1) DKK1				(Wnt inhibitory factor1) WIF1				خصوصیات
مقدار P	مقدار	مقدار	مقدار P	مقدار	مقدار	مقدار	مقدار P	
	۸۶ (۷۱/۶)	۳۴ (۲۸/۳)		۷۸ (۶۵)	۴۲ (۳۵)			تعداد بیماران (درصد)
۰/۷۸۱	۴۲/۵ (۱۷-۶۸)	۴۳ (۲۲-۶۴)	۰/۲۸۵	۳۹ (۱۸-۶۰)	۴۲/۵ (۲۲-۶۳)			متوسط سن (محدوده سنی)
۰/۵۷۷	۶۵	۲۵	۰/۲۱۷	۴۸	۳۰	مرد		جنس (درصد)
	۲۱	۹		۳۰	۱۲	زن		
۰/۲۰۱	۱۳/۲	۶۴/۱	۰/۲۷۸	۲۹/۶	۱۴/۵			میانگین شمارش گلیولهای سفید (۱۰ ^۹ /L)
۰/۳۸۸	۱۲۸	۹۱	۰/۶۹۴	۱۰۲	۱۱۵/۴			میانگین شمارش پلاکت (۱۰ ^۹ /L)
۰/۱۸۵	۸/۹	۸/۳	۰/۲۸۰	۸/۷	۸/۳			میانگین طیف هموگلوبین (g/dL)
۰/۰۰۵	۳ (۳/۴)	۷ (۲۰/۵)	۰/۰۰۳	۲ (۲/۵)	۸ (۱۹/۰)	M _۰		گروه‌بندی FAB، تعداد (درصد)
۰/۹۹۹	۱۹ (۲۲)	۷ (۲۰/۵)	۰/۸۱۷	۱۶ (۲۰/۵)	۱۰ (۲۳/۸)	M _۱		
۰/۱۷۸	۲۶ (۳۰/۲)	۶ (۱۷/۶)	۰/۵۲۵	۲۲ (۲۸/۲)	۱۰ (۲۳/۸)	M _۲		
۰/۳۰۳	۱۸ (۲۰/۹)	۴ (۱۱/۷)	۰/۴۶۶	۱۶ (۲۰/۵)	۶ (۱۴/۲)	M _۴		
۰/۰۹۴	۱۶ (۱۸/۶)	۲ (۵/۸)	۰/۲۸۸	۱۴ (۱۷/۹)	۴ (۹/۵)	M _۵		
۰/۵۰۶	۱۰ (۱۱/۶)	۲ (۵/۸)	۰/۵۳۸	۹ (۱۱/۵)	۳ (۷/۱)	M _۶		
۰/۲۱۱	۷۱ (۸۲/۵)	۲۴ (۷۰/۵)	۰/۱۴۳	۶۵ (۸۳/۳)	۳۰ (۷۱/۴)	بهبودی کامل	وضعیت بیماران، تعداد (درصد)	
۰/۹۹۹	۴ (۴/۶)	۱ (۲/۹)	۰/۱۳۷	۲ (۲/۵)	۳ (۷/۱)	مرگ		
۰/۰۵۲	۱۳ (۱۵/۱)	۳ (۸/۸)	۰/۱۴۹	۹ (۱۱/۵)	۷ (۱۶/۶)	عود		

FAB: French-American-British

نگردید. متیلاسیون مهار کننده‌های دیگر مسیر پیام‌رسانی Wnt مانند متیلاسیون ژن‌های SFRP (Secreted frizzled-related protein)، در بعضی بدخیمی‌ها از جمله در AML دیده شده است (۲۳). Yu و همکاران در مطالعه‌ای نشان دادند که متیلاسیون پرومتوور ژن DKK1 به عنوان آنتاگونیست مسیر پیام‌رسانی Wnt/β-catenin، در ارتباط با پیش‌آگهی بد در بیماران مبتلا به سرطان معده می‌باشد (۲۴). اختلالات اپی‌ژنتیکی در مقایسه با تغییرات ژنتیکی برگشت پذیر هستند و توسط عوامل دمتیله کننده‌ی DNA از جمله AZA و ۵-آزا-۲-داکسی سایتیدین که در درمان بدخیمی‌های خونی نقش دارند، درمان می‌شوند (۳-۶). Cooper و SFRP همکاران بعد از تحقیقت‌شان پیشنهاد کردند که نوترکیب، ممکن است یک استراتژی درمانی جدیدی برای سرطان‌هایی باشد که بیان SFRP (یکی دیگر از مهار کننده‌های مسیر پیام‌رسانی Wnt) در آن‌ها مهار شده است (۲۵). ژن DKK1 بر روی کروموزوم ۱۱ قرار دارد، که تمایز رده‌های سلولی سرطانی انسان و انواع زیادی از سرطان‌های انسانی از جمله کارسینومای سلول بزرگ ریه (۲۶-۲۷)، کارسینومای سلول کلیوی انسان (۲۶) و لوسومی لنفوپلاستیک حاد (۲۸) را سرکوب می‌کند. همچنین ممکن است به عنوان یک ژن سرکوب کننده‌ی تومور مطرح باشد. درصد بیماران با متیلاسیون نابهجا برای ژن‌های WIF1 و DKK1 در این مطالعه ۸۷ بیمار (۷۲/۵) درصد (برای WIF1 و ۷۴ بیمار (۶۱/۶) درصد) برای DKK1 مشاهده گردید. بنابراین متیلاسیون این ژن‌ها ممکن است از طریق تنظیم کاهشی مسیر پیام‌رسانی Wnt، در شروع AML دخالت داشته باشد. از طرف

بحث

مسیر پیام‌رسانی Wnt/β-catenin در بسیاری از فرایندها از جمله مورفولوژی، حرکت، تکثیر، تعیین سرنوشت سلول‌ها و تکامل ارگانل‌ها دخالت دارد. درک نقش مسیر پیام‌رسانی Wnt/β-catenin در بقا، تکثیر و تمایز سلول‌های بنیادی خون‌ساز، باعث به وجود آمدن این فرضیه شده است که اختلال در این مسیر پیام‌رسانی، امکان دارد در پاتوژنر لوسومی‌ها نقش داشته باشد (۱۸-۲۰). DKK1 و WIF1 پروتئین‌های سرکوب کننده‌ی توموری هستند که تعديل کننده‌ی مسیر پیام‌رسانی Wnt/β-catenin می‌باشند. این پروتئین‌ها با اتصال به پروتئین Wnt مانع از اتصال آن به گیرنده‌ی Wnt می‌شوند. در نتیجه، سبب غیرفعال شدن مسیر پیام‌رسانی Wnt می‌گردند. از این رو، ممکن است ارتباطی بین متیلاسیون ژن‌های آنتاگونیست مسیر پیام‌رسانی Wnt و فعال شدن این مسیر در تومورهای توپر و لوسومی‌ها وجود داشته باشد (۱۹-۲۰). متیلاسیون نابهجا ژن‌های سرکوب کننده‌ی تومور، یکی از اختصاصی‌ترین و رایج‌ترین حوادث ژنتیکی در اکثر سرطان‌های انسانی می‌باشد (۲۱-۲۲).

در مطالعه‌ی حاضر، وضعیت متیلاسیون ژن‌های DKK1 و WIF1 در بیماران مبتلا به AML در زمان تشخیص مورد بررسی قرار گرفت. نتایج حاصل از این مطالعه نشان داد که هایپرمتیلاسیون ژن‌های DKK1 و WIF1 به ترتیب با فراوانی ۳۵ درصد (۴۲ نفر از ۱۲۰ بیمار) و ۲۸/۳ درصد (۳۴ نفر از ۱۲۰ بیمار) در بیماران مبتلا به AML در زمان تشخیص بیماری اتفاق می‌افتد. در حالی که در هیچ یک از نمونه‌های شاهد منفی، متیلاسیون این ژن‌ها مشاهده

بیشترین هایپرمتیلاسیون ژن WIF1 ۸۰ درصد = $0/0030$ (P) و ژن DKK1 ۷۰ درصد = $0/0050$ (P) می‌باشد. در حالی که در زیر گروه AML-M5 کمترین هایپرمتیلاسیون ژن WIF1 ۲۲/۲ درصد = $0/2280$ (P) و ژن DKK1 ۱۱/۱۱ درصد = $0/0940$ (P) اتفاق می‌افتد.

Hou و همکاران پیشنهاد کردند که فراوانی هایپرمتیلاسیون ژن DKK1 به همراه هایپرمتیلاسیون خانواده‌ی SFRP اتفاق می‌افتد ($0/0001 < P = 0/7640$). در حالی که با WIF1 همراه نیست ($P = 0/0001$). در این مطالعه، هیچ گونه ارتباط معنی‌داری بین هایپرمتیلاسیون ژن‌های WIF1 و DKK1 و عوامل پیش‌آگهی دهنده‌ی مرسوم مانند سن و شمارش گلوبول‌های سفید در بیماران AML مشاهده نشد. همچنین هیچ ارتباط معنی‌داری بین متیلاسیون این ژن‌ها و دیگر شاخصه‌های بالینی بیماران مانند جنس، شمارش پلاکت و هموگلوبین مشاهده نگردید. این امر ممکن است مرتبط با افزایش اندازه‌ی نمونه‌ها باشد. در بین ۱۲۰ بیمار، پس از شیمی درمانی القایی در ۹۵ بیمار (۷۹/۱ درصد) بهبودی کامل مشاهده شده بود. بهبودی کامل به حضور کمتر از ۵ درصد بلاست در مغز استخوان و تصحیح شمارش سلول‌های خونی (شمارش نوتروفیل بیشتر از ۱۰۰۰ سلول در میکرولیتر، شمارش پلاکت بیشتر از ۱۰۰۰۰۰ سلول در میکرولیتر، هموگلوبین بیشتر از ۱۰ g/dl و عدم حضور بلاست در خون محیطی) اطلاق می‌شود. همچنین سلولاریته‌ی بیش از ۲۰ درصد مغز استخوان با شواهدی از خون‌سازی هر سه رده‌ی سلولی، باید وجود داشته باشد (۳۲).

در مطالعه‌ی حاضر، هیچ گونه ارتباط معنی‌داری

دیگر، Suzuki و همکاران یک ارتباط احتمالی بین کاهش بقا و هایپرمتیلاسیون پروموتور DKK1 پیشنهاد کردند (۲۹).

در مطالعه‌ی حاضر، فراوانی هایپرمتیلاسیون ژن‌های WIF1 و DKK1 (به ترتیب ۳۵ درصد و ۲۸/۳ درصد، در کل ۶۳/۳ درصد) مشاهده گردید که بیشتر از گزارش Griffiths و همکاران (به ترتیب ۳۲ درصد و ۱۶ درصد، در کل ۴۸ درصد) (30) و گزارش Hou و همکاران (به ترتیب ۲۶ درصد و ۳۰/۱ درصد، در کل ۵۶/۱ درصد) بود (31). این اختلافات ممکن است ناشی از تفاوت در انتخاب بیمار و تنوع نژادی بیماران باشد. مطالعه‌ی حاضر نیز همانند مطالعات دیگر نشان داد که ژن‌های WIF1 و DKK1 از اهداف تعديل کننده‌ی ژنتیکی در بیماران AML هستند که به دنبال متیلاسیون غیر فعال می‌گردند.

Hou و همکاران طی مطالعه‌ای نشان دادند که بیشترین هایپرمتیلاسیون مهار کننده‌های مسیر Wnt در AML با زیر گروه M₀ پیامرسانی می‌باشد (100 درصد) رخ می‌دهد، در حالی که کمترین هایپرمتیلاسیون ($48/3$ درصد با $0/0006 = P$) در زیر گروه M_{4/M5} اتفاق می‌افتد (31). همچنین Hou و همکاران گزارش کردند که متیلاسیون ژن DKK1 در زیر گروه AML-M₀ شایع‌تر (75 درصد با $0/0105 = P$) و متیلاسیون ژن WIF1 بیشتر در زیر گروه M₁ و M₃ (به ترتیب ۴۲/۱ درصد با $0/0035 = P$ و $0/002 = P$) در ۶۳/۲ درصد با $0/0005 = P$) اتفاق می‌افتد (31). مطالعه‌ی حاضر نشان داد که متیلاسیون نابهجای این ژن‌ها در تمام زیر گروه‌های M₆ شامل M₀, M₁, M₂, M₄, M₅ و AML-M₀ اتفاق می‌افتد. در بیماران با زیر گروه AML-M₀

مطالعات بیشتری با تعداد نمونه‌های مبتلا به AML بیشتر برای تثبیت این نظر نیاز است. به طور خلاصه، این مطالعه نشان داد که متیلاسیون جزایر CpG ژن‌های WIF1 و DKK1 یک پدیده شایع در بیماران AML است و مطالعه‌ی آنتاگونیست‌های دیگر مسیر پیام‌رسانی Wnt توصیه می‌شود.

تشکر و قدردانی

بدین وسیله از معاونت تحقیقات و فناوری دانشگاه علوم پزشکی تهران که هزینه‌ی اجرای این مطالعه را تأمین نمود، قدردانی می‌گردد.

بین هایپرمتیلاسیون ژن‌های WIF1 و DKK1 بهبودی کامل پس از شیمی درمانی القایی مشاهده نگردید و پاسخ به درمان در بیماران با و بدون هایپرمتیلاسیون یکسان بود. اگرچه Chim و همکاران (۳۳) نشان دادند که متیلاسیون WIF1 یک عامل غیر وابسته‌ی پیش‌آگهی دهنده ضعیف برای Valencia (Disease-free survival) DFS و همکاران (۳۴) نشان دادند که بیماران مبتلا به AML با داشتن چند ژن متیله‌ی مهار کننده RFS دارای پیش‌آگهی ضعیفتر است (Relapse-free survival).

References

- Lowenberg B, Downing JR, Burnett A. Acute myeloid leukemia. *N Engl J Med* 1999; 341(14): 1051-62.
- Galm O, Herman JG. Methylation-specific polymerase chain reaction. *Methods Mol Med* 2005; 113: 279-91.
- Gilbert J, Gore SD, Herman JG, Carducci MA. The clinical application of targeting cancer through histone acetylation and hypomethylation. *Clin Cancer Res* 2004; 10(14): 4589-96.
- Claus R, Almstedt M, Lubbert M. Epigenetic treatment of hematopoietic malignancies: in vivo targets of demethylating agents. *Semin Oncol* 2005; 32(5): 511-20.
- Kantarjian H, Oki Y, Garcia-Manero G, Huang X, O'Brien S, Cortes J, et al. Results of a randomized study of 3 schedules of low-dose decitabine in higher-risk myelodysplastic syndrome and chronic myelomonocytic leukemia. *Blood* 2007; 109(1): 52-7.
- Plimack ER, Kantarjian HM, Issa JP. Decitabine and its role in the treatment of hematopoietic malignancies. *Leuk Lymphoma* 2007; 48(8): 1472-81.
- Aguilera O, Fraga MF, Ballestar E, Paz MF, Herranz M, Espada J, et al. Epigenetic inactivation of the Wnt antagonist DICKKOPF-1 (DKK-1) gene in human colorectal cancer. *Oncogene* 2006; 25(29): 4116-21.
- Parkin D, Whelan S, Ferlay J, Teppo L, Thomas D. Cancer incidence in five continents. Volume VIII. IARC Sci Publ 2002; (155): 1-781.
- Jost E, Schmid J, Wilop S, Schubert C, Suzuki H, Herman JG, et al. Epigenetic inactivation of secreted Frizzled-related proteins in acute myeloid leukaemia. *Br J Haematol* 2008; 142(5): 745-53.
- Klaus A, Birchmeier W. Wnt signalling and its impact on development and cancer. *Nat Rev Cancer* 2008; 8(5): 387-98.
- Jamieson CH, Ailles LE, Dylla SJ, Muijtjens M, Jones C, Zehnder JL, et al. Granulocyte-macrophage progenitors as candidate leukemic stem cells in blast-crisis CML. *N Engl J Med* 2004; 351(7): 657-67.
- Paul S, Dey A. Wnt signaling and cancer development: therapeutic implication. *Neoplasia* 2008; 55(3): 165-76.
- Jones SE, Jomary C. Secreted Frizzled-related proteins: searching for relationships and patterns. *Bioessays* 2002; 24(9): 811-20.
- Logan CY, Nusse R. The Wnt signaling pathway in development and disease. *Annu Rev Cell Dev Biol* 2004; 20: 781-810.
- Marsit CJ, Karagas MR, Andrew A, Liu M, Danaee H, Schned AR, et al. Epigenetic inactivation of SFRP genes and TP53 alteration act jointly as markers of invasive bladder cancer. *Cancer Res* 2005; 65(16): 7081-5.
- Bovolenta P, Esteve P, Ruiz JM, Cisneros E, Lopez-Rios J. Beyond Wnt inhibition: new functions of secreted Frizzled-related proteins in development and disease. *J Cell Sci* 2008;

- 121(Pt 6): 737-46.
17. Miller SA, Dykes DD, Polesky HF. A simple salting out procedure for extracting DNA from human nucleated cells. *Nucleic Acids Res* 1988; 16(3): 1215.
 18. Huang J, Zhang YL, Teng XM, Lin Y, Zheng DL, Yang PY, et al. Down-regulation of SFRP1 as a putative tumor suppressor gene can contribute to human hepatocellular carcinoma. *BMC Cancer* 2007; 7: 126.
 19. Fodde R, Smits R, Clevers H. APC, signal transduction and genetic instability in colorectal cancer. *Nat Rev Cancer* 2001; 1(1): 55-67.
 20. Mikesch JH, Steffen B, Berdel WE, Serve H, Muller-Tidow C. The emerging role of Wnt signaling in the pathogenesis of acute myeloid leukemia. *Leukemia* 2007; 21(8): 1638-47.
 21. Egger G, Liang G, Aparicio A, Jones PA. Epigenetics in human disease and prospects for epigenetic therapy. *Nature* 2004; 429(6990): 457-63.
 22. Nakamoto D, Yamamoto N, Takagi R, Katakura A, Mizoe JE, Shibahara T. Detection of microsatellite alterations in plasma DNA of malignant mucosal melanoma using whole genome amplification. *Bull Tokyo Dent Coll* 2008; 49(2): 77-87.
 23. Ghasemi A, Nadali F, Chahardoli B, Alizad Ghandforosh N, Ghavamzadeh A, Rostami Sh. Study of correlation between SFRP-1 and SFRP-2 hypermethylation with relapse, complete remission, genetic mutations of FLT3-ITD and NPM1 and immunophenotypes of leukemic cells in patients with de novo acute myeloblastic leukemia. *J Hematol* 2014; 3(2): 34-42.
 24. Yu J, Tao Q, Cheng YY, Lee KY, Ng SS, Cheung KF, et al. Promoter methylation of the Wnt/beta-catenin signaling antagonist Dkk-3 is associated with poor survival in gastric cancer. *Cancer* 2009; 115(1): 49-60.
 25. Cooper SJ, von Roemeling CA, Kang KH, Marlow LA, Grebe SK, Menefee ME, et al. Reexpression of tumor suppressor, sFRP1, leads to antitumor synergy of combined HDAC and methyltransferase inhibitors in chemoresistant cancers. *Mol Cancer Ther* 2012; 11(10): 2105-15.
 26. Kurose K, Sakaguchi M, Nasu Y, Ebara S, Kaku H, Kariyama R, et al. Decreased expression of REIC/Dkk-3 in human renal clear cell carcinoma. *J Urol* 2004; 171(3): 1314-8.
 27. Nozaki I, Tsuji T, Iijima O, Ohmura Y, Andou A, Miyazaki M, et al. Reduced expression of REIC/Dkk-3 gene in non-small cell lung cancer. *Int J Oncol* 2001; 19(1): 117-21.
 28. Roman-Gomez J, Jimenez-Velasco A, Agirre X, Castillejo JA, Navarro G, Barrios M, et al. Transcriptional silencing of the Dickkopfs-3 (Dkk-3) gene by CpG hypermethylation in acute lymphoblastic leukaemia. *Br J Cancer* 2004; 91(4): 707-13.
 29. Suzuki R, Onizuka M, Kojima M, Shimada M, Fukagawa S, Tsuboi K, et al. Preferential hypermethylation of the Dickkopf-1 promoter in core-binding factor leukaemia. *Br J Haematol* 2007; 138(5): 624-31.
 30. Griffiths EA, Gore SD, Hooker C, McDevitt MA, Karp JE, Smith BD, et al. Acute myeloid leukemia is characterized by Wnt pathway inhibitor promoter hypermethylation. *Leuk Lymphoma* 2010; 51(9): 1711-9.
 31. Hou HA, Kuo YY, Liu CY, Lee MC, Tang JL, Chen CY, et al. Distinct association between aberrant methylation of Wnt inhibitors and genetic alterations in acute myeloid leukaemia. *Br J Cancer* 2011; 105(12): 1927-33.
 32. Smith M, Barnett M, Bassan R, Gatta G, Tondini C, Kern W. Adult acute myeloid leukaemia. *Crit Rev Oncol Hematol* 2004; 50(3): 197-222.
 33. Chim CS, Chan WW, Pang A, Kwong YL. Preferential methylation of Wnt inhibitory factor-1 in acute promyelocytic leukemia: an independent poor prognostic factor. *Leukemia* 2006; 20(5): 907-9.
 34. Valencia A, Roman-Gomez J, Cervera J, Such E, Barragan E, Bolufer P, et al. Wnt signaling pathway is epigenetically regulated by methylation of Wnt antagonists in acute myeloid leukemia. *Leukemia* 2009; 23(9): 1658-66.

Dysregulation of the Wnt Signaling Pathway through Methylation of WIF1 and DKK1 Genes in Patients with Acute Myeloid Leukemia (AML) at the Time of Diagnosis

Ali Ghasemi MSc¹, Mohsen Mohammadi PhD², Abbas Ghotaslou MSc¹, Kazem Ghaffari MSc³, Sadegh Abbasian MSc¹

Original Article

Abstract

Background: In acute myeloid leukemia (AML), a large number of tumor suppressor genes are silenced through DNA methylation such as CDKN2B and p73. Wnt inhibitory factor 1 (WIF1) and Dickkopf-1 (DKK-1) are negative regulator of the Wnt signaling pathway. In the present study, we studied the methylation status of WIF1 and DKK-1 genes in patients with acute myeloid leukemia.

Methods: Blood samples from 120 patients with acute myeloid leukemia and 25 healthy control subjects were taken. Isolated DNA was treated with sodium bisulphite and examined via methylation-specific polymerase chain reaction (MSP) with primers specific for methylated and unmethylated sequences of the WIF1 and DKK-1 genes.

Findings: The frequency of aberrant hypermethylation of WIF1 and DKK-1 genes in patients with acute myeloid leukemia was determined 35.0% (42/120) and 28.3% (34/120), respectively. In addition, for all subjects in control group, methylation of WIF1 and DKK-1 genes were negative. Patients with M0 subtype of French-American-British acute myeloid leukemia (FAB-AML) had the highest incidence of hypermethylation of WIF1 ($P = 0.003$) and DKK-1 ($P = 0.005$) genes.

Conclusion: The present study showed that, like many solid tumors, WIF1 and DKK-1 genes methylation also occurs in acute myeloid leukemia. Therefore, the methylation of these genes may play a role in leukmogenesis initiation.

Keywords: DNA Methylation, WIF1, DKK, Acute myeloid leukemia

Citation: Ghasemi A, Mohammadi M, Ghotaslou A, Ghaffari K, Abbasian S. **Dysregulation of the Wnt Signaling Pathway through Methylation of WIF1 and DKK1 Genes in Patients with Acute Myeloid Leukemia (AML) at the Time of Diagnosis.** J Isfahan Med Sch 2014; 32(306): 1757-66

1- Department of Hematology, School of Allied Medical Sciences, Tehran University of Medical Sciences, Tehran, Iran

2- Department of Biotechnology, School of Allied Medical Sciences, Tehran University of Medical Sciences, Tehran, Iran

3- Instructor, Department of Hematology, School of Allied Medical Sciences, Arak University of Medical Sciences, Arak, Iran

Corresponding Author: Ali Ghasemi MSc, Email: a.qasemi2012@yahoo.com

بررسی نتایج حاصل از درمان توسط تکنیک‌های کمک باروری در بیمارستان شهید بهشتی اصفهان

دکتر روشنک ابوترابی^۱، دکتر ویدا رضوی^۲، شکوفه بقازاده^۳، لاله شارق^۴، دکتر فاطمه سادات مصطفوی^۵

مقاله پژوهشی

چکیده

مقدمه: امروزه استفاده از تکنیک‌های کمک باروری، مشکل بسیاری از افراد نابارور را برطرف نموده است. تکرار سیکل‌های درمانی، صرف وقت و هزینه‌ی به نسبت زیاد و مشکلات احتمالی ناشی از بیهوشی‌های مکرر، محققین را به سمت یافتن راههایی برای پیش‌بینی میزان موفقیت هر یک از تکنیک‌ها هدایت نموده است. این تحقیق، با هدف بررسی میزان موفقیت روش‌های کمک باروری انجام گرفت.

روش‌ها: مطالعه‌ی حاضر، گذشته نگر بود و جمعیت مورد مطالعه، ۷۱ زوجی بودند که طی شش ماهه‌ی اول سال ۱۳۹۲ جهت انجام تکنیک‌های کمک باروری به مرکز درمان ناباروری شهید بهشتی شهر اصفهان مراجعه کرده بودند. معیار اصلی در حصول نتایج، بارداری بالینی دو هفته پس از قرار دادن جنین در رحم مادر بود. اطلاعات مورد نیاز مانند سن و نتایج آزمایش‌های مایع منی و نیز نتیجه‌ی حاصل از انجام تکنیک‌های کمک باروری، از پرونده‌ی این بیماران استخراج شد.

یافته‌ها: از کل زوج‌های تحت بررسی، ۴۲ مورد تحت درمان به روش تلقیح داخل رحمی اسپرم (Intrauterine insemination IUI) یا IVF/ICSI (In-vitro fertilization/Intracytoplasmic sperm injection) یا IVF/ICSI نیز ۷ دوره موفق (۲۳/۸ درصد) و از ۲۹ دوره موفق (۲۴/۱ درصد) دیده شد. میانگین سنی زنان و مردان و مدت زمان ناباروری در دو گروه موفق و ناموفق در مورد روش IUI اختلاف آماری معنی‌داری نداشت. در حالی که این میانگین در مورد روش IVF/ICSI معنی‌دار بود. میان پارامترهای اسپرمی نیز بین دو گروه موفق و ناموفق در گروه درمانی IUI ارتباط آماری معنی‌داری یافت نشد، اما در مورد گروه درمانی IVF/ICSI درصد اسپرم‌های سریع به صورت معنی‌داری در دو گروه موفق و ناموفق متفاوت بود.

نتیجه‌گیری: آنالیز مرسوم منی و سن زن و شوهر نمی‌تواند پیش‌بینی کننده نتایج استفاده از روش IUI باشند، اما میزان موفقیت روش IVF/ICSI در موارد سن پایین‌تر زوجین، همچنین مدت زمان ناباروری کمتر و پارامترهای اسپرمی بهتر، افزایش می‌یابد.

واژگان کلیدی: ناباروری، روش‌های کمک باروری، In-vitro fertilization، Intrauterine insemination، پارامترهای اسپرم

ارجاع: ابوترابی روشنک، رضوی ویدا، بقازاده شکوفه، شارق لاله، مصطفوی فاطمه‌سادات. بررسی نتایج حاصل از درمان توسط تکنیک‌های کمک باروری در بیمارستان شهید بهشتی اصفهان. مجله دانشکده پزشکی اصفهان. ۱۳۹۳؛ ۳۲(۳۰۶): ۱۷۸۱-۱۷۸۷

۱- دانشیار، گروه علوم تشریحی، دانشکده پزشکی و آزمایشگاه نازاری، بیمارستان شهید بهشتی، دانشگاه علوم پزشکی اصفهان، اصفهان، ایران

۲- متخصص زنان و زایمان، بخش نازاری، بیمارستان شهید بهشتی، دانشگاه علوم پزشکی اصفهان، اصفهان، ایران

۳- آزمایشگاه نازاری، بیمارستان شهید بهشتی، دانشگاه علوم پزشکی اصفهان، اصفهان، ایران

۴- بخش نازاری، بیمارستان شهید بهشتی، دانشگاه علوم پزشکی اصفهان، اصفهان، ایران

۵- استادیار، گروه علوم تشریحی، دانشکده پزشکی و آزمایشگاه نازاری، بیمارستان شهید بهشتی، دانشگاه علوم پزشکی اصفهان، اصفهان، ایران

نویسنده‌ی مسؤول: دکتر فاطمه‌سادات مصطفوی
Email: fs.mostafavi@gmail.com

مقدمه

شیوع ناباروری در جامعه حدود ۱۵-۲۰ درصد می‌باشد (۱). احتمال ناباروری با علل مردانه، به طور تقریبی نیمی از موارد را شامل می‌شود (۲). از جمله روش‌های درمانی نازایی، تلقيق داخل رحمی اسپرم (Intrauterine insemination) یا IUI) آزمایشگاهی IVF/ICSI (in vitro fertilization/Intracytoplasmic sperm injection می‌باشد که در طیف وسیعی از ناباروری‌ها از جمله نازایی به علت عوامل سرویکال، عدم تخمک‌گذاری، اندومتریوز، عامل ایمونولوژیکی، ناباروری با علت مردانه و عوامل ناشناخته استفاده می‌شوند (۳). با وجودی که استفاده از این روش‌ها طی دهه‌ی گذشته دو برابر شده است، اما میزان موفقیت آن‌ها افزایش چشمگیری را نشان نمی‌دهد (۴). میزان موفقیت این روش‌ها تحت تأثیر عوامل مختلفی قرار دارد و در مطالعات و مراکز مختلف متفاوت گزارش شده است (۵).

تفاوت‌هایی که در میزان موفقیت این روش‌ها مشاهده می‌شود، می‌تواند به دلیل تفاوت افراد، پرتوکل‌های تحریک تخمدانی (۱۱)، زمان و تعداد دفعات تلقيق (۱۲)، تعداد سیکل‌های درمان، اتیولوژی و مدت زمان ناباروری (۱۳) و تعداد کل اسپرم‌های تلقيق شده (۱۴) باشد. سن زنان نیز از جمله عوامل تأثیرگذار است و در بسیاری موارد، میزان موفقیت با توجه به آن دسته‌بندی و گزارش شده است (۱۵، ۷).

با توجه به اهمیت آنالیز منی در تشخیص علل مربوط به ناباروری مردانه، ارتباط بین پارامترهای اسپرم و میزان موفقیت روش‌های کمک باروری همواره ذهن پژوهشگران را به خود مشغول کرده و پژوهش‌های متعددی در این زمینه انجام شده است که گاه، نتایج متناقضی را ارایه کرده‌اند. در پژوهش جهانیان و همکاران، مشخص شد که با افزایش تعداد اسپرم‌های متحرک، میزان موفقیت افزایش می‌یابد (۱۶). طبق نتایج حاصل از این مطالعه، هیچ کدام از علل ناباروری، سن زن و روش درمان نقشی در میزان موفقیت نداشته و فقط طول مدت ناباروری زوجین،

در مطالعات مختلف، مشخص گردیده است که با تحریک تخمک‌گذاری و به دنبال آن استفاده از روش‌های کمک باروری، میزان موفقیت و ایجاد حاملگی در زوج‌های نابارور افزایش چشمگیری داشته است (۵). برای مثال، در مطالعه‌ی Jarvela و همکاران، این میزان ۱۹/۶ درصد گزارش شد (۶). در مطالعه‌ی دیگری که با استفاده از کلومیفن سیترات و سایر گنادوتropین‌ها جهت تحریک تخمک‌گذاری انجام گرفت، مشخص شد که در بیماران با سن کمتر از ۳۰ سال و مدت زمان ناباروری حدود ۴ سال، میزان موفقیت این روش تا ۲۲ درصد افزایش یافته است (۷). به طور کلی، میزان موفقیت IUI متفاوت است و

داشتند، طی شش ماهه‌ی اول سال ۱۳۹۲ مورد بررسی قرار گرفتند. اطلاعات مورد نیاز از پرونده‌های موجود در بیمارستان استخراج گردید. در صورت انجام هر کدام از روش‌های کمک باروری (ART) یا آنژام (Assistant reproductive techniques) بیش از یک دوره‌ی شش ماهه‌ی مورد مطالعه، فقط یک دوره از هر زوج وارد مطالعه شد. افراد تحت بررسی به دو گروه تقسیم شدند: گروهی که در آن‌ها بارداری رخداده بود و گروه دیگر که باردار نشده بودند.

تمامی نمونه‌های مایع منی پس از ۳-۷ روز پرهیز جنسی تهیه شد و پس از آب‌گونه شدن (Liquefaction) مایع سمنیال، آنالیز پارامترهای اسپرم (حجم، تعداد، تحرک و مورفولوژی اسپرم) بر اساس استانداردهای سازمان بهداشت جهانی (WHO ۲۰۱۰) یا World health organization (WHO) با هر دو روش دستی و کامپیوتری (CASA) یا Computer-assisted sperm analysis گرفت. خصوصیات شکلی اسپرم با استفاده از معیارهای Kruger بررسی و ارایه گردید (۲۱). به منظور آنالیز ارتباط میزان میزان حاملگی با پارامترهای اسپرم و سایر متغیرها، از آزمون‌های t و Fisher's exact با استفاده گردید. محاسبات آماری با استفاده از نرم‌افزار SPSS نسخه‌ی ۱۸ (version 18, SPSS Inc., Chicago, IL) انجام و $P < 0.05$ به عنوان سطح معنی‌داری در نظر گرفته شد.

یافته‌ها

در این مطالعه، در مجموع ۷۱ بیمار مورد مطالعه و بررسی قرار گرفتند. میزان موفقیت روش‌های کمک باروری ۲۳/۹۴ درصد گزارش گردید که در مقایسه

مؤثر بوده است (۱۷).

در مطالعه‌ای دیگر، بیان شد که تعداد اسپرم‌های متحرك تلقیح شده، مورفولوژی اسپرم، طول مدت ناباروری، سن زن، اتیولوژی ناباروری و روش درمانی، از جمله عواملی هستند که در میزان موفقیت روش‌های کمک باروری مؤثر هستند (۱۸). گروه دیگری از محققین نیز بر تأثیر تعداد کل اسپرم متحرك بر میزان موفقیت این روش‌ها تأکید دارند (۱۹). اما در تحقیق دیگری که توسط Shulman و همکاران انجام گرفت، مشخص شد که فقط عامل کیفیت اسپرم بر نتیجه‌ی به دست آمده تأثیر دارد (۲۰). اهمیت سن زن و مرد نیز در مطالعات مختلف مد نظر بوده است (۱۵، ۷) و در این مورد نیز نتایج همواره همسو نبوده‌اند.

در مطالعات انجام گرفته در مراکز مختلف، میزان موفقیت استفاده از روش‌های کمک باروری و همچنین میزان دخالت عوامل مختلف، متفاوت ذکر گردیده‌اند. بنابراین مطالعه‌ی حاضر با هدف بررسی میزان موفقیت این روش‌ها و همچنین یک سری از عوامل تأثیرگذار بر آن در زوجین مراجعه کننده به مرکز ناباروری شهید بهشتی شهر اصفهان انجام شد. به طور حتم، جمع‌آوری این اطلاعات می‌تواند راهگشای ما در زمینه‌ی بهبود عملکرد و ارتقای سطح کیفی کار و در نتیجه برداشتن گام‌های بلندتر به سوی درمان بیماران نابارور باشد.

روش‌ها

این مطالعه به طور گذشته نگرانجام گرفت. در این مطالعه، تعداد ۷۱ زوج نابارور که اولین مراجعه به درمانگاه نازایی بیمارستان شهید بهشتی اصفهان را

۱۰ نفر (۲۳/۸ درصد) موفقیت‌آمیز بود و حاملگی در مورد آن‌ها رخ داد. در جدول ۱، توزیع فراوانی متغیرهای دموگرافیک و سوابق بیماران بر حسب موفقیت و عدم موفقیت در باروری به کمک روش IUI آمده است. بر اساس این جدول، هیچ کدام از عوامل دموگرافیک و سوابق در دو گروه بارور شده و بارور نشده، از لحاظ آماری اختلاف معنی‌داری را نشان نداد.

با سایر آمارهای مشابه قابل قبول می‌باشد. همچنین مشخص شد که عواملی از جمله سن بیماران، مدت زمان ناباروری و پارامترهای اسپرم نمی‌توانند به طور قطعی پیش‌بینی کننده‌ی نتایج انجام روش‌ها باشند. به طور جداگانه، میانگین سن بیماران تحت درمان با روش $IUI = 31/9 \pm 5/4$ سال و میانگین سن همسران آن‌ها $36/0 \pm 8/7$ سال بود. از ۴۲ بیماری که با این روش تحت درمان قرار گرفتند، نتیجه در

جدول ۱. توزیع فراوانی متغیرهای دموگرافیک و عمومی بر حسب موفقیت و عدم موفقیت در بارداری به دنبال انجام روش‌های کمک باروری

متغیر	سطح				IUI	IVF/ICSI			
	ناموفق	موفق	P	ناموفق	موفق	P	ناموفق	موفق	
گروه سنی									
۰/۰۵۰	۷ (۳۱/۸۱)	۴ (۵۷/۱۰)	۰/۴۰۰	۲۳ (۷۱/۹۰)	۹ (۹۰/۰۰)		زیر ۳۵ سال		
	۱۵ (۶۸/۱۹)	۳ (۴۲/۹۰)		۹ (۲۸/۱۰)	۱ (۱۰/۰۰)		۳۵ سال و بالاتر		
سن شوهر				۳۶/۸ ± ۸/۹	۳۳/۸ ± ۸/۰		سال (میانگین)		
۰/۰۰۹	۴۲/۶ ± ۴/۹	۳۵/۷ ± ۵/۹	۰/۰۳۴۰						
مدت ازدواج				۷/۳ ± ۴/۴	۷/۱ ± ۲/۸		سال (میانگین)		
۰/۰۳۵	۱۲/۰ ± ۴/۵	۷/۱ ± ۵/۲	۰/۰۸۷۰						
مدت ناباروری				۶/۲ ± ۴/۰	۵/۹ ± ۲/۴		سال		
۰/۰۲۶	۱۱/۳ ± ۵/۱	۶/۲ ± ۵/۰	۰/۰۸۵۰						
روش پیشگیری از بارداری				۱۸ (۵۶/۳)	۵ (۵۰/۰)		نداشته		
	۱۵ (۶۸/۲)	۵ (۷۱/۴)							
	۴ (۱۸/۲)	۰ (۰)		۳ (۹/۴)	۱ (۱۰/۰)		طبیعی		
۰/۳۵۰	۱ (۴/۵)	۰ (۰)	۰/۰۶۵۰	۷ (۲۱/۹)	۱ (۱۰/۰)		LD		
	۱ (۴/۵)	۲ (۲۸/۶)		۳ (۹/۴)	۲ (۲۰/۰)		کاندوم		
	۱ (۴/۵)	۰ (۰)		۱ (۳/۱)	۱ (۱۰/۰)		IUD		
سابقه‌ی فامیلی ناباروری (زن)				۲۷ (۸۴/۴)	۷ (۷۰/۰)		خیر		
۰/۰۰۷	۲۱ (۹۵/۵)	۳ (۴۲/۹)	۰/۰۳۷۰						
	۱ (۴/۵)	۴ (۵۷/۱)		۵ (۱۵/۶)	۳ (۳۰/۰)		بلی		
سابقه‌ی فامیلی ناباروری (مرد)				۲۷ (۸۴/۴)	۹ (۹۰/۰)		خیر		
۰/۹۹۰	۱۹ (۸۶/۴)	۶ (۸۵/۷)	۰/۰۹۹۰						
	۳ (۱۳/۶)	۱ (۱۴/۳)		۵ (۱۵/۶)	۱ (۱۰/۰)		بلی		
سابقه‌ی هیپو تیروئیدی (زن)				۲۸ (۸۷/۵)	۱۰ (۱۰۰)		خیر		
۱/۰۰۰	۲۲ (۱۰۰)	۷ (۱۰۰)	۰/۰۵۶۰						
	۰ (۰)	۰ (۰)		۴ (۱۲/۵)	۰ (۰)		بلی		
سابقه‌ی هیپر تیروئیدی (زن)				۳۲ (۱۰۰)	۱۰ (۱۰۰)		خیر		
۱/۰۰۰	۲۲ (۱۰۰)	۷ (۱۰۰)	۱/۰۰۰						
	۰ (۰)	۰ (۰)		۰ (۰)	۰ (۰)		بلی		
سابقه‌ی اعتیاد در زن				۳۲ (۱۰۰)	۱۰ (۱۰۰)		خیر		
۱/۰۰۰	۲۲ (۱۰۰)	۷ (۱۰۰)	۱/۰۰۰						
	۰ (۰)	۰ (۰)		۰ (۰)	۰ (۰)		بلی		
سابقه‌ی اعتیاد در مرد				۳۲ (۱۰۰)	۱۰ (۱۰۰)		خیر		
۰/۹۹۰	۲۰ (۹۰/۹)	۷ (۱۰۰)	۱/۰۰۰						
	۲ (۹/۱)	۰ (۰)		۰ (۰)	۰ (۰)		بلی		

IUI: Intrauterine insemination; IVF/ICSI: In vitro fertilization/Intracytoplasmic sperm injection

LD: Low dose estrogen; IUD: Intrauterine device

بودند (۷۰ درصد در مقابل ۶/۳ درصد) که طبق آزمون Fisher's exact، تفاوت میان دو گروه، معنی‌دار بود ($P < 0.001$).

نوع ناباروری در ۱ نفر (۳/۱ درصد) از گروه ناموفق از نوع ثانویه و در بقیه‌ی بیماران این گروه، از نوع اولیه بود.

در جدول ۲، توزیع فراوانی سوابق باروری و بیماری در دو گروه موفق و ناموفق آمده است. مطابق این جدول، فراوانی متغیرهای مطالعه شده بین دو دسته‌ی موفق و ناموفق از لحاظ آماری اختلاف معنی‌داری با یکدیگر نداشتند.

از ۱۰ مورد باروری موفق، ۸ نفر (۸۰ درصد) دارای سابقه‌ی قبلی تلاش برای بارداری با روش IUI بوده‌اند. همچنین از ۳۲ مورد باروری ناموفق نیز، ۱۸ نفر (۵۶/۳ درصد) دارای چنین سابقه‌ای بودند که طبق آزمون Fisher's exact، تفاوت معنی‌داری بین دو گروه موفق و ناموفق وجود نداشت. در این گروه، ۳ مورد (۳۰ درصد) از باروری‌های موفق، حاصل اولین تلاش برای بارداری بودند. در گروه ناموفق نیز ۱۴ نفر (۴۳/۸ درصد) اولین تجربه‌ی درمانی برای باروری را داشتند. در افراد مورد مطالعه، ۷ مورد از باروری‌های موفق و ۲ مورد از باروری‌های ناموفق، دارای فرزند

جدول ۲. توزیع فراوانی سوابق باروری و بیماری بر حسب موفقیت و عدم موفقیت در بارداری به دنبال انجام روش‌های کمک باروری

متغیر	IVF/ICSI			IUI			سطح
	مقدار P	ناموفق	موفق	مقدار P	ناموفق	موفق	
داشتن فرزند	۰/۱۴۰	۲۱ (۹۵/۵)	۵ (۷۱/۴)	< 0.001	۳۰ (۹۳/۸)	۳ (۳۰/۰)	خیر
	۱ (۴/۵)	۲ (۲۸/۶)	۷ (۷۰/۰)		۲ (۶/۳)	۷ (۷۰/۰)	بلی
نوع ناباروری	۱/۰۰۰	۲۲ (۱۰۰)	۷ (۱۰۰)	۰/۹۹۰	۳۱ (۹۶/۹)	۱۰ (۱۰۰)	اویله
	۰ (۰)	۰ (۰)	۰ (۰)		۱ (۳/۱)	۰ (۰)	ثانویه
سابقه‌ی سقط	۱/۰۰۰	۲۲ (۱۰۰)	۷ (۱۰۰)	۰/۱۴۰	۳۱ (۹۶/۹)	۸ (۸۰/۸)	خیر
	۰ (۰)	۰ (۰)	۰ (۰)		۱ (۳/۱)	۲ (۴۰/۰)	بلی
سابقه‌ی مرده‌زایی	۱/۰۰۰	۲۲ (۱۰۰)	۷ (۱۰۰)	۰/۲۴۰	۳۲ (۱۰۰)	۹ (۹۰/۰)	خیر
	۰ (۰)	۰ (۰)	۰ (۰)		۰ (۰)	۱ (۱۰/۰)	بلی
ابتلابه PCOS	۰/۹۹۰	۱۸ (۸۱/۸)	۶ (۸۵/۷)	۰/۳۱۰	۲۶ (۸۱/۳)	۱۰ (۱۰۰)	خیر
	۴ (۱۸/۲)	۱ (۱۴/۳)	۱ (۱۴/۳)		۶ (۱۸/۸)	۰ (۰)	بلی
هیرسوتیسم	۰/۹۹۰	۱۹ (۸۶/۴)	۶ (۸۵/۷)	۰/۳۱۰	۲۶ (۸۱/۳)	۱۰ (۱۰۰)	خیر
	۳ (۱۳/۶)	۱ (۱۴/۳)	۱ (۱۴/۳)		۶ (۱۸/۸)	۰ (۰)	بلی
سابقه‌ی لاپاراسکوپی	۰/۹۹۰	۱۰ (۴۵/۵)	۳ (۴۲/۹)	۰/۲۴۰	۲۰ (۶۲/۵)	۵ (۵۰/۰)	خیر
	۵ (۲۲/۷)	۲ (۲۸/۶)	۰/۷۹۰		۶ (۱۸/۸)	۳ (۳۰/۰)	بلی (طبیعی)
سابقه‌ی واریکوسلکتومی	۰/۹۹۰	۷ (۳۱/۸)	۲ (۲۸/۶)	۰/۷۹۰	۶ (۱۸/۸)	۲ (۲۰/۰)	بلی (اندومتریوز)
	۱۵ (۶۸/۲)	۵ (۷۱/۴)	۰/۹۹۰		۳۱ (۹۶/۹)	۱۰ (۱۰۰)	خیر
وازکتومی همسر	۰/۹۹۰	۷ (۳۱/۸)	۲ (۲۸/۶)	۰/۹۹۰	۱ (۳/۱)	۰ (۰)	بلی
	۲۰ (۹۰/۹)	۶ (۸۵/۷)	۱/۰۰۰		۳۲ (۱۰۰)	۱۰ (۱۰۰)	خیر
ازدواج فامیلی	۰/۹۹۰	۲ (۹/۱)	۱ (۱۴/۳)	۰/۹۹۰	۰ (۰)	۰ (۰)	بلی
	۱۹ (۸۶/۴)	۶ (۸۵/۷)	۰/۹۹۰		۲۸ (۸۷/۵)	۹ (۹۰)	خیر
وضعیت قاعده‌گی	۰/۹۹۰	۳ (۱۳/۶)	۱ (۱۴/۳)	۰/۹۹۰	۴ (۱۲/۵)	۱ (۱۰)	بلی
	۱۶ (۷۲/۷)	۶ (۸۵/۷)	۰/۶۶۰		۲۶ (۸۱/۳)	۷ (۷۰)	طبیعی
	۶ (۲۷/۳)	۱ (۱۴/۳)	۰/۶۶۰		۶ (۱۸/۸)	۳ (۳۰)	غير طبيعی

IUI: Intrauterine insemination; IVF/ICSI: In vitro fertilization/Intracytoplasmic sperm injection; PCOS: Polycystic ovary syndrome

تفاوت آماری معنی‌داری با یکدیگر نداشتند. تحرک تمام در گروه موفق $89/9 \pm 11/5$ درصد و در گروه ناموفق $91/0 \pm 16/43$ بود و دو گروه، تفاوت معنی‌داری با یکدیگر نداشتند. از لحاظ تحرک کلاس A (اسپرم‌های با حرکت سریع به جلو) و A + B (اسپرم‌های با حرکت سریع رو به جلو + اسپرم‌های با حرکت کند رو به جلو) نیز اختلاف آماری معنی‌داری بین دو گروه مشاهده نشد (جدول ۳).

ارتباط بین پارامترهای آنالیز منی و نتایج IUI در دو گروه موفق و ناموفق در جدول ۳ آمده است. تعداد اسپرم در واحد حجم (غلظت اسپرم) در گروه موفق $151/9 \pm 65/0$ میلیون در سی سی و در گروه ناموفق $136/3 \pm 76/3$ میلیون در سی سی بود و دو گروه از لحاظ غلظت اسپرم، تفاوت آماری معنی‌داری نداشتند. شکل طبیعی اسپرم در گروه موفق $26/5 \pm 13/1$ درصد و در گروه ناموفق $26/0 \pm 13/1$ درصد بود و دو گروه از این نظر نیز

جدول ۳. توزیع شاخص‌های اسپرمی در دو گروه باروری موفق و ناموفق به دنبال انجام روش‌های کمک باروری

IVF/ICSI				IUI				متغیر
P	ناموفق	موفق	مقدار P	ناموفق	موفق	سطح		
۰/۸۲۰	۲/۸۰ ± ۱/۴۶	۲/۹۳ ± ۰/۶۱	۰/۳۰۰	۳/۱۳ ± ۱/۲۰	۲/۷۰ ± ۰/۷۵	حجم	مایع سیمن	
۰/۰۵۴	۸/۴۱ ± ۰/۴۳	۸/۰۷ ± ۰/۱۹	۰/۰۷۰	۷/۹۷ ± ۱/۵۰	۸/۰۵ ± ۰/۱۶	pH		
۰/۱۰۰	۱۰۰/۹۰ ± ۸۲/۱۰	۱۶۰/۳۰ ± ۷۰/۴۰	۰/۱۹۰	۱۳۶/۳۰ ± ۷۶/۳۰	۱۵۱/۹۰ ± ۶۵/۰۰	قبل	تعداد اسپرم در واحد	
۰/۱۱۰	۱۲۱/۴۰ ± ۹۴/۲۰	۱۹۰/۸۰ ± ۱۰۱/۱۰	۰/۰۴۰	۱۲۴/۴۰ ± ۷۹/۳۰	۱۴۶/۱۰ ± ۵۲/۶۰	بعد	حجم (ml/میلیون)	
۰/۰۰۷	۶/۸۰ ± ۱۰/۱۰	۲۰/۹۰ ± ۱۳/۸۰	۰/۰۶۰	۱۳/۱۰ ± ۱۱/۸۰	۹/۴۰ ± ۷/۵۰	قبل	درصد اسپرم‌های با	
۰/۱۵۰	۲۶/۷۰ ± ۱۹/۲۰	۳۹/۱۰ ± ۱۹/۲۰	۰/۰۷۰	۴۵/۱۰ ± ۱۸/۷۰	۴۲/۲۰ ± ۱۷/۱۰	بعد	حرکت سریع به جلو	
۰/۱۱۰	۳۵/۲۰ ± ۱۹/۹۰	۴۹/۰۰ ± ۱۷۰۰	۰/۰۵۰	۳۸/۳۸ ± ۱۸/۹۰	۴۹/۴۰ ± ۱۲/۵۰	قبل	درصد اسپرم‌های	
۰/۰۵۶۰	۲۵/۵۰ ± ۱۲/۱۰	۲۸/۹۰ ± ۱۶/۷۰	۰/۰۸۰	۲۱/۳۰ ± ۱۳/۱۰	۲۲/۲۰ ± ۱۲/۱۰	بعد	با حرکت کند به جلو	
۰/۱۷۰	۱۳/۹۵ ± ۱۱/۰۰	۷/۹۰ ± ۴/۲۰	۰/۰۵۸۰	۸/۹۷ ± ۵/۲۰	۱۰/۱۰ ± ۶/۸۰	قبل	درصد اسپرم‌های بدون	
۰/۰۵۸	۳۲/۲۰ ± ۱۸/۴۰	۱۸/۱۰ ± ۵/۲۰	۰/۰۷۹۰	۶/۶۳ ± ۴/۶۰	۷/۱۰ ± ۵/۶۰	بعد	حرکت	
۰/۰۰۹	۴۴/۰۵ ± ۱۹/۸۰	۲۲/۲۹ ± ۶/۱۰	۰/۰۴۲۰	۳۶/۳۰ ± ۱۸/۶۰	۳۱/۱۰ ± ۱۴/۵۰	قبل	درصد اسپرم‌های با	
۰/۰۷۰	۱۶/۳۰ ± ۱۳/۳۰	۱۴/۳۰ ± ۷/۳۰	۰/۰۵۲۰	۲۳/۵۰ ± ۱۶/۸۰	۲۷/۵۰ ± ۱۸/۴۰	بعد	حرکت درجا	
۰/۰۹۰۰	۲۱/۸۶ ± ۱۳/۸۰	۲۱/۱۰ ± ۸/۶۰	۰/۰۰۷۰	۲۶/۰۰ ± ۱۳/۱۰	۲۶/۵۰ ± ۱۳/۱۰	قبل	درصد اسپرم‌های طبیعی	
۰/۰۷۶۰	۲۷/۲۰ ± ۱۵/۰۴	۲۵/۴۰ ± ۵/۰۳	۰/۰۴۹۰	۳۱/۰۳ ± ۱۴/۷۰	۲۷/۶۰ ± ۹/۱۰	بعد		
۰/۰۹۰۰	۷۸/۱۰ ± ۱۳/۸۰	۷۸/۹۰ ± ۸/۶۰	۰/۰۶۷۰	۷۰/۹۰ ± ۱۷/۸۰	۷۳/۵۰ ± ۱۳/۱۰	قبل	درصد اسپرم‌های	
۰/۰۸۳۰	۷۳/۲۳ ± ۱۵/۵۰	۷۴/۵۷ ± ۵/۰۰	۰/۰۲۲۰	۶۴/۵۶ ± ۱۹/۱۰	۷۲/۴۰ ± ۹/۱۰	بعد	پاتولوژیک	
۰/۰۴۱	۰/۰۵ ± ۰/۰۷۷	۱/۰۵ ± ۱/۰۷۶	۰/۰۶۶۰	۱/۰۲ ± ۰/۰۲۴	۰/۰۴۰ ± ۰/۰۲۲	قبل	میانگین تعداد WBC	
۰/۰۷۸۰	۰/۰۰۹ ± ۰/۰۹	۰/۱۴ ± ۰/۱۴	۰/۰۵۸۰	۰/۰۰۳۱ ± ۰/۰۳۱	۰	بعد		
۰/۰۰۷۰	۱/۹۳ ± ۱/۷۰	۳/۵۰ ± ۲/۵۰	۰/۱۰۰	۵/۲۳ ± ۵/۳۰	۲/۳۵ ± ۲/۲۰	قبل	Round cell	
۰/۰۹۸۰	۰/۱۴ ± ۰/۱۴	۰/۱۴ ± ۰/۱۴	۰/۰۷۰	۰	۰/۱۰ ± ۰/۱۰	بعد		
۰/۰۵۵۰	۱/۴۵ ± ۱/۰۱	۲/۰۰ ± ۱/۲۹	۰/۱۵۰	۴/۲۳ ± ۴/۸۰	۱/۹۵ ± ۱/۷۰	قبل	Immature	
۰/۰۵۸۰	۰/۰۴۶ ± ۰/۰۴۵	۰	۰/۰۷۰	۰	۰/۱۰ ± ۰/۳۲	بعد		

IUI: Intrauterine insemination; IVF/ICSI: In vitro fertilization/Intracytoplasmic sperm injection; WBC: White blood cell

۲۴/۱) درصد) باروری حاصل شد و نتیجه موفقیت‌آمیز بود. در جدول ۱، توزیع فراوانی متغیرهای دموگرافیک و سوابق بیماران بر حسب موفقیت و عدم موفقیت در باروری آمده است. بنابر اطلاعات موجود در این جدول، در مواردی از جمله سن زن و شوهر و مدت زمان ناباروری، میان دو گروه موفق و ناموفق از لحاظ آماری تفاوت معنی‌دار مشاهده شد (جدول ۱).

در کل افراد تحت درمان با این روش، از ۷ مورد باروری موفق، ۳ مورد (۴۲/۹ درصد) دارای سابقه‌ی قبلی IVF بودند. همچنین از ۲۲ مورد باروری ناموفق، ۷ مورد (۳۱/۸ درصد) دارای سابقه‌ی تلاش برای باروری با این روش بودند و طبق این آزمون، تفاوت معنی‌داری بین دو گروه موفق و ناموفق مشاهده نشد. قابل ذکر است که ۲ مورد (۲۸/۶ درصد) از باروری‌های موفق و ۸ مورد (۳۶/۴ درصد) از باروری‌های ناموفق، اولین تجربه‌ی درمانی خود را سپری می‌کردند. همچنین ۱ مورد از باروری‌های موفق و ۳ مورد از باروری‌های ناموفق، دارای سابقه‌ی ICS بودند.

در افراد تحت درمان، ۲ مورد از باروری‌های موفق و ۱ مورد از باروری‌های ناموفق، دارای فرزند بودند (۲۸/۶ درصد در مقابل ۴/۵ درصد)، اما طبق آزمون‌های آماری تفاوت بین دو گروه در این مورد نیز معنی‌دار نبود. نوع ناباروری در تمام بیماران این گروه از نوع اولیه بود. در جدول ۲، توزیع فراوانی سوابق باروری و بیماری در دو گروه موفق و ناموفق آمده است. مطابق این جدول، متغیرهای مورد مطالعه در بین دو گروه از لحاظ آماری تفاوت معنی‌داری با یکدیگر نداشتند.

قابل ذکر است که به دنبال انجام فراوری بر روی مایع منی، نتایج مثبتی در جهت بهبود برخی پارامترهای اسپرمی در هر دو گروه مشاهده شد، از جمله افزایش معنی‌دار ($P < 0.05$) درصد تحرک کلاس A (اسپرم‌های با حرکت سریع رو به جلو) و همچنین کاهش معنی‌دار ($P < 0.05$) درصد اسپرم‌های با حرکت کند رو به جلو.

درصد اسپرم‌های بدون حرکت و با حرکت درجا نیز کاهش داشتند، اما از لحاظ آماری معنی‌دار نبود. درصد تحرک کلاس A + B (اسپرم‌های با حرکت سریع رو به جلو + اسپرم‌های با حرکت کند رو به جلو) نیز پس از فراوری در هر دو گروه افزایش داشت که البته از لحاظ آماری معنی‌دار نبود. به دنبال انجام فراوری، غلظت اسپرم‌ها دچار کاهش آماری معنی‌دار نشده بود، همچنین تغییر قابل توجه آماری در میزان اسپرم‌های دارای مورفولوژی طبیعی نیز مشاهده نشد. در رابطه با تغییر تعداد سلول‌های Round cell (White blood cell) WBC و Immature cell همان‌گونه که در جدول ۳ ملاحظه می‌شود، به دنبال انجام فراوری، تعداد این سلول‌ها به صورت معنی‌داری کاهش یافت. همچنین پارامتر آگلوتیناسیون تغییری نداشت، اما در مورد پارامتر اگریگاسیون کاهش معنی‌داری ملاحظه گردید (قبل و پس از فراوری).

در رابطه با ۲۹ بیماری که در این مطالعه با استفاده از روش IVF/ICSI تحت درمان قرار گرفته بودند، میانگین سن خانم‌های تحت درمان با روش آنها $33/0 \pm 6/4$ سال و میانگین سن شوهران آنها $37/3 \pm 6/3$ سال بود. از ۲۹ بیماری که تحت درمان با این روش قرار گرفتند، در ۷ مورد

اسپرم‌ها افزایش یافت که از لحاظ آماری معنی‌دار نبود. همچنین افزایش قابل توجه آماری در میزان اسپرم‌های دارای مورفولوژی طبیعی نیز مشاهده نشد. در رابطه با تغییر تعداد سلول‌های WBC، Round cell و Immature cell، همان‌گونه که در جدول ۳ ملاحظه می‌شود، به دنبال انجام فراوری تعداد این سلول‌ها به طور معنی‌داری کاهش یافته است.

بحث

به دنبال انجام این تحقیق، میزان موفقیت روش‌های کمک باروری در مرکز درمان ناباروری شهید بهشتی شهر اصفهان در شش ماهه‌ی اول سال ۱۳۹۲، ۲۳/۹۴ درصد گزارش شد که در مقایسه با سایر آمارهای مشابه قابل قبول می‌باشد. همچنین مشخص شد که عواملی مانند سن بیماران، مدت زمان ناباروری و پارامترهای اسپرم نمی‌توانند به طور قطع پیش‌بینی کننده‌ی نتایج انجام روش‌ها باشند.

اگر چه مطالعات زیادی در ارتباط با میزان موفقیت در حاملگی به دنبال انجام روش‌های کمک باروری بر اساس پارامترهای اسپرم و همچنین برخی ویژگی‌های بیماران از جمله سن و تعداد سال‌های ناباروری آن‌ها، انجام شده است، اما میزان موفقیت استفاده از این روش‌ها و همچنین میزان تأثیر عوامل مختلف در روند آن‌ها، متفاوت ذکر گردیده است. بنابراین مطالعه‌ی حاضر، با هدف بررسی میزان موفقیت و همین‌طور تأثیر عوامل مختلفی مانند سن بیماران زن و همسران آن‌ها، مدت ناباروری و پارامترهای اسپرم بر روی میزان موفقیت این روش‌ها در مرکز درمان ناباروری شهید بهشتی شهر اصفهان

ارتباط بین پارامترهای آنالیز منی و نتایج IVF/ICSI در دو گروه موفق و ناموفق در جدول ۳ آمده است. تعداد اسپرم در واحد حجم (غلظت اسپرم) در گروه موفق $160/3 \pm 70/4$ میلیون در سی‌سی و در گروه ناموفق $100/9 \pm 82/1$ میلیون در سی‌سی بود و دو گروه از لحاظ غلظت اسپرم تفاوت آماری معنی‌داری با یکدیگر نداشتند.

شكل طبیعی اسپرم در گروه موفق $21/1 \pm 8/6$ درصد و در گروه ناموفق $21/86 \pm 13/8$ درصد بود و دو گروه تفاوت آماری معنی‌داری نداشتند. تحرک تام در گروه موفق $92/1 \pm 12/3$ درصد و در گروه ناموفق $86/05 \pm 16/6$ بود و دو گروه، تفاوت معنی‌داری با یکدیگر نداشتند. دو گروه از لحاظ تحرک کلاس A و A + B اختلاف آماری معنی‌دار نداشتند ($P < 0.050$) و میزان هر دو مورد در گروه موفق بیشتر بود (جدول ۳).

قابل ذکر است که به دنبال انجام فراوری بر روی مایع منی، برخی نتایج در جهت بهبود پارامترهای اسپرمی در هر دو گروه موفق و ناموفق مشاهده گردید، از جمله افزایش معنی‌دار ($P < 0.050$) درصد تحرک اسپرم‌های کلاس A (اسپرم‌های با حرکت سریع رو به جلو)، همچنین کاهش معنی‌دار ($P < 0.050$) درصد اسپرم‌های با حرکت کند رو به جلو.

درصد اسپرم‌های با حرکت درجا نیز کاهش نشان داد، اما درصد اسپرم‌های بدون حرکت افزایش داشت و هر دوی این موارد از لحاظ آماری معنی‌دار بود ($P < 0.050$). تغییر درصد تحرک کلاس B (اسپرم‌های با حرکت سریع رو به جلو + اسپرم‌های با حرکت کند رو به جلو) نیز پس از فراوری از لحاظ آماری معنی‌دار نبود. به دنبال انجام فراوری، غلظت

اسپرم‌های متحرک) مایع انزالی در پیش‌بینی موفقیت از اهمیت برخوردار است. سن زن نیز در پیش‌بینی نتیجه با ارزش است (۲۵). Miller و همکاران نیز نتیجه گیری کردند که شمارش تام سلول‌های متحرک پس از فراوری نمی‌تواند میزان موفقیت را پیش‌بینی کند، اما اگر این تعداد کمتر از ۱۰ میلیون باشد، میزان موفقیت به طور معنی‌داری کمتر است (۲۶).

Yalti و همکاران طی مطالعه‌ای نشان دادند که شمارش تام سلول‌های متحرک، میزان تحرک تام و تحرک کلاس A در پیش‌بینی میزان موفقیت تأثیرگذار هستند. افرادی که میزان تحرک تام اسپرم‌ها در آن‌ها ۳۰ درصد یا بیشتر است، از شانس موفقیت بیشتری به نسبت کسانی که این میزان در آن‌ها کمتر از ۳۰ درصد است، برخوردارند (۲۱).

Wainer و همکاران به بررسی اثر شمارش تام سلول‌های متحرک و نیز شکل اسپرم بر میزان موفقیت این روش‌ها پرداختند. آن‌ها نشان دادند در افرادی که شمارش تام سلول‌های متحرک کمتر از ۱۰ میلیون است، میزان موفقیت به طور معنی‌داری کمتر از افرادی است که شمارش تام سلول‌های متحرک بیشتر از ۲۰ میلیون است. آن‌ها همچنین به این نتیجه رسیدند که شکل اسپرم به تنها یکی عامل مهمی در موفقیت نمی‌باشد (۲۷).

Badawy و همکاران در یک مطالعه‌ی آینده‌نگر، به بررسی اثر تعداد اسپرم متحرک و شکل اسپرم بر موفقیت IUI پرداختند و نشان دادند که اگر شمارش تام سلول‌های متحرک کمتر از ۵۰ میلیون و یا میزان اشکال طبیعی کمتر از ۳۰ درصد باشد، شانس موفقیت کمتر است (۲۸).

Freour و همکاران نیز نشان دادند که غلظت تام

انجام شد تا با استفاده از نتایج حاصل، بتوان در جهت بهبود عملکرد و ارتقای سطح کیفی کار و در نتیجه درمان کارآمدتر بیماران نابارور اقدام نمود. تاکنون مطالعات زیادی در زمینه‌ی سن خانم‌ها انجام و مشخص شده است که پذیرش رحم (۲۲) (A22) و کیفیت تخمک (۲۳) با افزایش سن کاهش می‌یابند.

در مطالعه‌ی گذشته‌نگری که توسط زاده‌مدرس و همکاران صورت گرفته است نیز، بین سن زنان و میزان موفقیت ارتباط معنی‌داری وجود داشته است؛ به گونه‌ای که افزایش سن به طور معکوس با میزان موفقیت مرتبط بود. آن‌ها نشان دادند که میزان حاملگی خانم‌هایی که کمتر از ۳۰ سال سن دارند و مدت ناباروری آن‌ها حدود ۴ سال می‌باشد، تا ۲۲ درصد افزایش می‌یابد. علاوه بر این، میان شمارش تام و غلظت اسپرم با این میزان موفقیت، ارتباط معنی‌داری یافت نشده است. در این مطالعه سایر پارامترهای منی نیز ارتباط معنی‌داری با میزان موفقیت این روش نداشتند (۷).

طی مطالعه‌ی Demir و همکاران، مشخص شد که سن زن و مرد، همچنین شکل و تعداد کل اسپرم‌های متحرک در موفقیت یا عدم موفقیت این روش‌ها اثر دارد (۱۵). همچنین Bellver و همکاران نشان دادند که سن پدر ارتباطی با این میزان موفقیت ندارد (۲۴). Shulman و همکاران در یک مطالعه‌ی گذشته نگر نشان دادند که در بین پارامترهای منی، تنها میزان تحرک تام اسپرم پس از آماده‌سازی تا حدی با نتیجه‌ی باروری موفق همبستگی دارد (۲۰). در مطالعه‌ی گذشته‌نگر دیگری، Van Voorhis و همکاران به این نتیجه رسیدند که در بین پارامترهای منی، تنها شمارش تام سلول‌های متحرک (تعداد کل

و همکاران (۳۰) بود؛ اما با نتایج تحقیقات Van Voorhis و همکاران (۲۵)، Demir و همکاران (۱۵)، Yalti و همکاران (۲۰) و نیز Merviel و همکاران (۳۱) همسوی نداشت.

از لحاظ حرک کلاس A + B، اختلاف معنی‌داری بین دو گروه یافت نشد که این یافته همسو با نتایج پژوهش‌های زاده‌مدرس و همکاران (۷) و نیز Haim و همکاران (۳۰) بود، اما با نتایج مطالعات Shulman و همکاران (۲۰) و Freour و همکاران (۲۹) همسوی نداشت.

از لحاظ حرک کلاس A، مطالعه‌ی حاضر اختلاف معنی‌داری را بین دو گروه نشان نداد که این یافته، همسو با نتایج مطالعه‌ی زاده‌مدرس و همکاران (۷) بود، اما با یافته‌های مطالعات دیگر همخوانی نداشت (۲۱، ۲۹، ۳۲).

از لحاظ شکل طبیعی اسپرم، مطالعه‌ی حاضر اختلاف معنی‌داری در دو گروه نشان نداد که این یافته، همسو با مطالعات دیگر بود، اما در تعدادی از مطالعات، نتایج بر خلاف یافته‌های ما بود (۱۵، ۳۳). این مطالعه نشان داد که آنالیز مرسوم مایع منی در چارچوب معمول، نمی‌تواند پیش‌بینی کننده‌ی نتایج باشد. از سن زن و سن شوهر نیز نمی‌توان در پیش‌بینی نتایج استفاده کرد.

نتایج مطالعه‌ی حاضر نشان داد که افزایش مدت ناباروری بر روی میزان موفقیت حاملگی تغییری اعمال نمی‌نماید. این مورد با نتایج مطالعه‌ی Tomlinson و همکاران (۳۴) مغایرت دارد؛ اما با نتایج مطالعه‌ی Dodson و Haney (۳۵) مطابقت دارد. در مقایسه‌ی روش‌ها، در مجموع روش IUI به بیمارانی که مدت ناباروری آن‌ها طولانی است،

و شمارش تام اسپرم‌های متحرک، بر میزان موفقیت این روش‌ها تأثیرگذار نیست؛ اما میزان تحرک تام و حرک کلاس A در گروهی که باردار شده‌اند، به میزان معنی‌داری بیش از گروه ناموفق است (۲۹). در مطالعه‌ی Haim و همکاران، نشان داده شد که بین شمارش تام اسپرم، غلظت، تحرک تام و شمارش تام سلول‌های متحرک با میزان موفقیت ارتباط معنی‌داری وجود ندارد (۳۰). نتایج مطالعه‌ی Merviel و همکاران نشان داد که بین شمارش تام سلول‌های متحرک و موفقیت، همبستگی مثبت وجود دارد (۳۱). طی بررسی نتایج حاصل از انجام روش‌های کمک باروری در مطالعه‌ی حاضر، در مجموع میان دو گروه باروری موفق و غیر موفق از لحاظ میانگین سن زن، اختلاف معنی‌داری دیده نشد که این یافته با نتایج برخی مطالعات همسوی نداشت (۲۵، ۱۵، ۷). همچنین سن شوهران در دو گروه باروری موفق و ناموفق مورد بررسی قرار گرفت و نشان داده شد که اختلاف معنی‌داری وجود ندارد که این یافته، برخلاف نتایج مطالعه‌ی Bellver و همکاران (۲۴) و همسو با نتایج مطالعه‌ی Demir و همکاران (۱۵) است.

از لحاظ غلظت اسپرم، مطالعه‌ی حاضر اختلاف معنی‌داری بین دو گروه نشان نداد که این یافته همسو با یافته‌های مطالعات Shulman و همکاران (۲۰)، Van Voorhis و همکاران (۲۵)، زاده‌مدرس و همکاران (۷)، Freour و همکاران (۲۹)، Haim و همکاران (۳۰) و سایر مطالعات است.

از لحاظ تعداد کل اسپرم‌های متحرک، مطالعه‌ی حاضر اختلاف معنی‌داری را بین دو گروه نشان نداد که این یافته، همسو با نتایج مطالعات Miller و Haim و همکاران (۲۶)، Freour و همکاران (۲۹) و نیز

تعداد، تحرک و مورفولوژی اسپرم‌ها نامطلوب‌تر باشد، شانس موفقیت روش‌های کمک باروری هم کاهش می‌یابد (۴۲).

لازم به ذکر است که شمارش اسپرم به تنها‌یی، یک شاخص کامل جهت ارزیابی باروری محسوب نمی‌شود؛ چرا که گاهی علت ناباروری، نواقص بیوشیمیایی در ساختار اسپرم‌ها می‌باشد که در آزمایش‌های معمول اسپرم‌موگرام تشخیص داده نمی‌شود. خصوصیات مورفولوژیک اسپرم نیز از عوامل مهم دیگر است؛ چرا که مشخص شده است، اسپرم‌هایی که دارای نواقص در ناحیه‌ی سرو یا دم می‌باشند، قادر به بارور کردن تخمک نیستند (۴۳-۴۴).

نتیجه‌گیری

به دنبال انجام این تحقیق، میزان موفقیت روش‌های کمک باروری در مرکز درمان ناباروری شهید بهشتی شهر اصفهان در ۶ ماهه‌ی اول سال ۱۳۹۲، ۲۳/۹۴ درصد گزارش گردید که در مقایسه با سایر آمارهای مشابه قابل قبول است. همچنین مشخص شد که عواملی از جمله سن بیماران، مدت زمان ناباروری و پارامترهای اسپرم، نمی‌توانند به طور قطع پیش‌بینی کننده‌ی نتایج انجام روش‌ها باشند. بسیاری از مطالعات نشان داده‌اند که آنالیز مرسوم منی در چارچوب معمول، به تنها‌یی نمی‌تواند پیش‌بینی کننده‌ی نتایج استفاده از روش‌های کمک باروری باشد و نیازمند استفاده از تست‌های پیشرفت‌تر و دقیق‌تر در این زمینه هستیم. از طرفی، با توجه به وجود یک سری ارتباطات میان برخی پارامترهای اسپرمی و میزان موفقیت روش‌های لقادح خارج از رحم در برخی مطالعات، نیاز به انجام آزمایش‌های عملکرد اسپرم و ارزیابی

توصیه نمی‌شود (۳۶).

در ارزیابی علت ناباروری، مشخص گردید که تفاوت در میزان حاملگی در زنانی که آندومتریوز داشتند، در مقایسه با زنانی که علت ناباروری آن‌ها ناشناخته بود، از لحاظ آماری معنی دار نبود. این یافته بر خلاف سایر مطالعات انجام گرفته در این زمینه می‌باشد و تأثیر منفی آندومتریوز در میزان موفقیت حاملگی توسط محققین گزارش شده است (۳۶). عواملی که در آندومتریوز باعث کاهش باروری می‌شوند، هنوز هم ناشناخته مانده‌اند. آندومتریوز، باعث تغییر محیط فولیکول، کاهش کیفیت تخمک و کاهش میزان لانه‌گزینی می‌شود (۳۷-۳۸).

به نظر می‌رسد در ناباروری با علت ناشناخته، تحریک تحمدان و سپس انجام IUI روش مؤثری است. در ضمن، کاهش میزان موفقیت حاملگی در موارد وجود فقط یک فولیکول، بیانگر آن است که بهتر است تحریک تحمدان و IUI با هم انجام شوند (۳۹).

Peterson و همکاران بیان نمودند که میانگین میزان موفقیت حاملگی در ناباروری با علت ناشناخته، با استفاده از HMG/IUI (Human menopausal gonadotrophin/ Intrauterine insemination حدود ۱۸ درصد می‌باشد (۴۰) که نزدیک به نتایج این مطالعه است.

مطابق با نتایج مطالعه‌ی اخیر، صباغیان و همکاران (۴۱) بیان نمودند که بین پارامترهای اسپرم و نتیجه‌ی روش‌های کمک باروری، هیچ گونه ارتباطی وجود ندارد. این در حالی است که در برخی مطالعات دیگر، بین پارامترهای اسپرم و میزان موفقیت این روش‌ها ارتباط مؤثری وجود داشته است و هر چه

دانشگاه علوم پزشکی اصفهان، استادان گروه زنان و زایمان و همچنین پرسنل مرکز درمان ناباروری اصفهان تشكر و قدردانی می‌شود.

کروماتین آن به وضوح احساس می‌شود.

تشکر و قدردانی

از همکاری استادان محترم گروه علوم تشریحی

References

- Sharlip ID, Jarow JP, Belker AM, Lipshultz LI, Sigman M, Thomas AJ, et al. Best practice policies for male infertility. *Fertil Steril* 2002; 77(5): 873-82.
- Nallella KP, Sharma RK, Aziz N, Agarwal A. Significance of sperm characteristics in the evaluation of male infertility. *Fertil Steril* 2006; 85(3): 629-34.
- Duran HE, Morshedi M, Kruger T, Oehninger S. Intrauterine insemination: a systematic review on determinants of success. *Hum Reprod Update* 2002; 8(4): 373-84.
- Kalra SK, Barnhart KT. In vitro fertilization and adverse childhood outcomes: what we know, where we are going, and how we will get there. A glimpse into what lies behind and beckons ahead. *Fertil Steril* 2011; 95(6): 1887-9.
- Sigman M. Therapeutic insemination. In: Sciarra J, editor. *Gynecology and obstetrics*. Philadelphia, PA: Lippincott Williams and Wilkins; 1999. vol 67. p. 7-8.
- Jarvela IY, Tapainen JS, Martikainen H. Improved pregnancy rate with administration of hCG after intrauterine insemination: a pilot study. *Reprod Biol Endocrinol* 2010; 8: 18.
- Zadehmodarres S, Oladi B, Saeedi S, Jahed F, Ashraf H. Intrauterine insemination with husband semen: an evaluation of pregnancy rate and factors affecting outcome. *J Assist Reprod Genet* 2009; 26(1): 7-11.
- Gibbs RS, Karlan BY, Haney AF, Nygaard IE. *Danforth's obstetrics and gynecology*. Philadelphia, PA: Lippincott Williams and Wilkins; 2008.
- Sunderam S, Chang J, Flowers L, Kulkarni A, Sentelle G, Jeng G, et al. Assisted reproductive technology surveillance --- United States, 2006. *MMWR Surveill Summ* 2009; 58(SS05): 1-25.
- Sunderam S, Kissin DM, Flowers L, Anderson JE, Folger SG, Jamieson DJ, et al. Assisted reproductive technology surveillance--United States, 2009. *MMWR Surveill Summ* 2012; 61(7): 1-23.
- Nuojua-Huttunen S, Tomas C, Bloigu R, Tuomivaara L, Martikainen H. Intrauterine insemination treatment in subfertility: an analysis of factors affecting outcome. *Hum Reprod* 1999; 14(3): 698-703.
- Gezginc K, Gorkemli H, Celik C, Karatayli R, Cicek MN, Olakoglu MC. Comparison of single versus double intrauterine insemination. *Taiwan J Obstet Gynecol* 2008; 47(1): 57-61.
- Demiroglu A, Gurgan T. Comparison of different gonadotrophin preparations in intrauterine insemination cycles for the treatment of unexplained infertility: a prospective, randomized study. *Hum Reprod* 2007; 22(1): 97-100.
- Freour T, Jean M, Mirallie S, Langlois ML, Dubourdieu S, Barriere P. Predictive value of CASA parameters in IUI with frozen donor sperm. *Int J Androl*. 2009; 32(5): 498-504.
- Demir B, Dilbaz B, Cinar O, Karadag B, Tasçi Y, Kocak M, et al. Factors affecting pregnancy outcome of intrauterine insemination cycles in couples with favourable female characteristics. *J Obstet Gynaecol* 2011; 31(5): 420-3.
- Jahanian M, Khadem N, Mousavifard N, Torabizadeh A, Vahid-Roudsari F, Yousefi Z, et al. The correlation between total normal motile sperm and Pregnancy outcome after Intrauterine Insemination. *J Reprod Fertil* 2001; 2(6): 48-53. [In Persian].
- Berry CW, Brambati B, Eskes TK, Exalto N, Fox H, Geraedts JP, et al. The Euro-Team Early Pregnancy (ETEP) protocol for recurrent miscarriage. *Hum Reprod* 1995; 10(6): 1516-20.
- Mehrafza M, Nobakhti N, Atrkar Roushan Z, Dashtdar H, Oudi M, Hosseini A. The correlation between semen parameters and pregnancy outcome after intrauterine insemination. *Iran J Reprod Med* 2003; 1(1): 29-32.
- Chung PH, Verkauf BS, Mola R, Skinner L, Eichberg RD, Maroulis GB. Correlation between semen parameters of electroejaculates and achieving pregnancy by intrauterine insemination. *Fertil Steril* 1997; 67(1): 129-32.
- Shulman A, Hauser R, Lipitz S, Frenkel Y, Dor J, Bider D, et al. Sperm motility is a major determinant of pregnancy outcome following intrauterine insemination. *J Assist Reprod Genet* 1998; 15(6): 381-5.

- 21.** Yalti S, Gurbuz B, Sezer H, Celik S. Effects of semen characteristics on IUI combined with mild ovarian stimulation. *Arch Androl* 2004; 50(4): 239-46.
- 22.** Cano F, Simon C, Remohi J, Pellicer A. Effect of aging on the female reproductive system: evidence for a role of uterine senescence in the decline in female fecundity. *Fertil Steril* 1995; 64(3): 584-9.
- 23.** Abdalla HI, Burton G, Kirkland A, Johnson MR, Leonard T, Brooks AA, et al. Age, pregnancy and miscarriage: uterine versus ovarian factors. *Hum Reprod* 1993; 8(9): 1512-7.
- 24.** Bellver J, Garrido N, Remohi J, Pellicer A, Meseguer M. Influence of paternal age on assisted reproduction outcome. *Reprod Biomed Online* 2008; 17(5): 595-604.
- 25.** Van Voorhis BJ, Barnett M, Sparks AE, Syrop CH, Rosenthal G, Dawson J. Effect of the total motile sperm count on the efficacy and cost-effectiveness of intrauterine insemination and in vitro fertilization. *Fertil Steril* 2001; 75(4): 661-8.
- 26.** Miller DC, Hollenbeck BK, Smith GD, Randolph JF, Christman GM, Smith YR, et al. Processed total motile sperm count correlates with pregnancy outcome after intrauterine insemination. *Urology* 2002; 60(3): 497-501.
- 27.** Wainer R, Albert M, Dorion A, Bailly M, Bergere M, Lombroso R, et al. Influence of the number of motile spermatozoa inseminated and of their morphology on the success of intrauterine insemination. *Hum Reprod* 2004; 19(9): 2060-5.
- 28.** Badawy A, Elnashar A, Eltotongy M. Effect of sperm morphology and number on success of intrauterine insemination. *Fertil Steril* 2009; 91(3): 777-81.
- 29.** Freour T, Jean M, Mirallie S, Dubourdieu S, Barriere P. Computer-Assisted Sperm Analysis (CASA) parameters and their evolution during preparation as predictors of pregnancy in intrauterine insemination with frozen-thawed donor semen cycles. *Eur J Obstet Gynecol Reprod Biol* 2010; 149(2): 186-9.
- 30.** Haim D, Leniaud L, Porcher R, Martin-Pont B, Wolf JP, Sifer C. Prospective evaluation of the impact of sperm characteristics on the outcome of intra-uterine insemination. *Gynecol Obstet Fertil* 2009; 37(3): 229-35. [In French].
- 31.** Merviel P, Heraud MH, Grenier N, Lourdel E, Sanguinet P, Copin H. Predictive factors for pregnancy after intrauterine insemination (IUI): an analysis of 1038 cycles and a review of the literature. *Fertil Steril* 2010; 93(1): 79-88.
- 32.** Berker B, Sukur YE, Kahraman K, Atabekoglu CS, Sonmezler M, Ozmen B, et al. Absence of rapid and linear progressive motile spermatozoa "grade A" in semen specimens: does it change intrauterine insemination outcomes? *Urology* 2012; 80(6): 1262-6.
- 33.** Sun Y, Li B, Fan LQ, Zhu WB, Chen XJ, Feng JH, et al. Does sperm morphology affect the outcome of intrauterine insemination in patients with normal sperm concentration and motility? *Andrologia* 2012; 44(5): 299-304.
- 34.** Tomlinson MJ, Amissah-Arthur JB, Thompson KA, Kasraie JL, Bentick B. Prognostic indicators for intrauterine insemination (IUI): statistical model for IUI success. *Hum Reprod* 1996; 11(9): 1892-6.
- 35.** Dodson WC, Haney AF. Controlled ovarian hyperstimulation and intrauterine insemination for treatment of infertility. *Fertil Steril* 1991; 55(3): 457-67.
- 36.** Hassani Bafrani H, Abedzadeh M, Fruzanfar F, Tabasi Z. Effects of patient age, duration and cause of infertility and number of pre-ovulatory follicles on intrauterine insemination outcomes. *Koomesh* 2010; 12(1): 59-65. [In Persian].
- 37.** Harlow CR, Cahill DJ, Maile LA, Talbot WM, Mears J, Wardle PG, et al. Reduced preovulatory granulosa cell steroidogenesis in women with endometriosis. *J Clin Endocrinol Metab* 1996; 81(1): 426-9.
- 38.** Crosignani PG, Walters DE. Clinical pregnancy and male subfertility; the ESHRE multicentre trial on the treatment of male subfertility. *European Society of Human Reproduction and Embryology. Hum Reprod* 1994; 9(6): 1112-8.
- 39.** Hughes EG, Collins JA, Gunby J. A randomized controlled trial of three low-dose gonadotrophin protocols for unexplained infertility. *Hum Reprod* 1998; 13(6): 1527-31.
- 40.** Peterson CM, Hatasaka HH, Jones KP, Poulson AM, Jr., Carrell DT, Urry RL. Ovulation induction with gonadotropins and intrauterine insemination compared with in vitro fertilization and no therapy: a prospective, nonrandomized, cohort study and meta-analysis. *Fertil Steril* 1994; 62(3): 535-44.
- 41.** Sabbaghian M, Modarresi T, Hosseiniifar H, Daliri Hampa A, Karimian L, Ghaffari F, et al. Predictive value of semen parameters and age of the couple in pregnancy outcome after Intrauterine insemination. *Tehran Univ Med J* 2013; 71(8): 530-5. [In Persian].
- 42.** Sahakyan M, Harlow BL, Hornstein MD. Influence of age, diagnosis, and cycle number on pregnancy rates with gonadotropin-induced controlled ovarian hyperstimulation and intrauterine insemination. *Fertil Steril* 1999; 72(3): 500-4.
- 43.** Hwang K, Walters RC, Lipshultz LI. Contemporary concepts in the evaluation and management of male infertility. *Nat Rev Urol*

- 2011; 8(2): 86-94.
44. Yousefi B, Azargon A. Predictive factors of intrauterine insemination success of women with infertility over 10 years. J Pak Med Assoc 2011; 61(2): 165-8.

Evaluation of the Success Rate of Assisted Reproductive Techniques (ART) in Shahid Beheshti Infertility Center, Isfahan, Iran

Roshanak Abutorabi PhD¹, Vida Razavi MD², Shekufe Baghazade MSc³,
Laleh Sharegh MSc⁴, Fatemeh Sadat Mostafavi MD, PhD⁵

Original Article

Abstract

Background: Today, usage of assisted reproductive techniques (ART) has been resolved the problem of many infertile couples. Repeated treatment cycles, long time and high cost, problems due to repeated anesthesia, has been directed the researchers to find ways to predict the success rate of each method. This study aimed to evaluate the success of assisted reproductive techniques in Isfahan Shahid Beheshti infertility center, Iran.

Methods: In this retrospective study, 71 couples referred to this center for assisted reproductive techniques during the first six months of 2013 were enrolled. The main criterion for a positive result was clinical pregnancy two weeks after embryo transfer. Required information such as age, semen analysis and outcome of assisted reproductive techniques, were obtained from patients' medical records.

Findings: Of all couples, 42 cases were treated with intrauterine insemination (IUI) and 29 cases were treated with in-vitro fertilization/intracytoplasmic sperm injection (IVF/ICSI). 23.8% of IUI cycles and 24.1% of IVF/ICSI cycles were successful. The mean age and duration of infertility in both successful and unsuccessful IUI groups were not statistically significant; while these differences in the cases of IVF/ICSI were significant. In addition, there were no significant differences between the sperm parameters in successful and unsuccessful IUI treated groups; but in IVF/ICSI treated group, we found significant differences in the percent of fast motile sperms between successful and unsuccessful groups.

Conclusion: Conventional analysis of semen and couple's age cannot predict the outcome of IUI; but the success rate of IVF/ICSI is related to the age of couples, as well as shorter duration of infertility and better semen parameters.

Keywords: Infertility, Intrauterine insemination, In-vitro fertilization, Intracytoplasmic sperm injection, Sperm parameters

Citation: Abutorabi R, Razavi V, Baghazade Sh, Sharegh L, Mostafavi FS. Evaluation of the Success Rate of Assisted Reproductive Techniques (ART) in Shahid Beheshti Infertility Center, Isfahan, Iran. J Isfahan Med Sch 2014; 32(306): 1767-81

1- Associate Professor, Department of Anatomical Sciences, School of Medicine, Isfahan University of Medical Sciences AND Infertility Laboratory, Shahid Beheshti Hospital, Isfahan, Iran

2- Gynecologist, Department of Infertility, Shahid Beheshti Hospital, Isfahan, Iran

3- Infertility Laboratory, Shahid Beheshti Hospital, Isfahan, Iran

4- Department of Infertility, Shahid Beheshti Hospital, Isfahan, Iran

5- Assistant Professor, Department of Anatomical Sciences, School of Medicine, Isfahan University of Medical Sciences AND Infertility Laboratory, Shahid Beheshti Hospital, Isfahan, Iran

Corresponding Author: Fatemeh Sadat Mostafavi MD, PhD, Email: fs.mostafavi@gmail.com

مروrij بر علل مغایرت گروه‌بندی مستقیم و معکوس سیستم ABO، توزیع فراوانی این عوامل در ایران و جهان و راهکارهای مرتفع‌سازی

نرگس سیفی‌زاده^۱، نیر سیفی‌زاده^۲، دکتر مجید فرش‌دوستی حق^۳

مقاله مروری

چکیده

مقدمه: تعیین گروه خونی ABO، مهم‌ترین آزمایشی است که قبل از انتقال خون باید انجام گیرد. انتقال خون با گروه‌های خونی ناسازگار از نظر ABO، می‌تواند به واکنش‌های حاد همولیتیک، بیماری‌های بدخیم و در موارد کنترل نشده و شدید، به مرگ و میر منجر شود.

روش‌ها: گروه‌بندی مستقیم یا سلولی (بررسی آنتی‌ژن‌های سطح گلوبول‌های قرمز) و گروه‌بندی غیر مستقیم یا سرمی (بررسی آنتی‌بادی‌های موجود در سرم) از جمله شایع‌ترین آزمایش‌هایی هستند که امرزوze برای تعیین گروه خونی افراد در آزمایشگاه‌ها به صورت روزانه انجام می‌شوند. تفسیر نتایج حاصل از آزمایش‌های سلولی و سرمی دارای اهمیت بسیار می‌باشد و در صورت عدم تطابق نتایج این دو آزمایش، باید قبل از گزارش، آزمایش‌های تکمیلی انجام شود و در صورت نیاز فوری به تزریق خون، باید از گلوبول‌های قرمز گروه O جهت انتقال خون استفاده شود. هدف از این مقاله مروجی، جمع‌بندی کلی از علل دخیل در مغایرت نتایج آزمایش سرمی و سلولی و ارایه راهکارهای ممکن برای حل این مشکل و همچنین بررسی و مقایسه‌ی تعدادی از موارد محدود بررسی شده در ایران در این زمینه است.

نتیجه‌گیری: عوامل انسانی در دنیا و عوامل ذاتی در ایران، به عنوان مهم‌ترین عوامل مؤثر بر مغایرت گروه‌بندی مستقیم و معکوس سیستم ABO گزارش شده‌اند. این موضوع، نشان از تفاوت‌هایی بینیادی در فراوانی این عوامل در ایران نسبت به سایر کشورها دارد. شناخت عوامل مؤثر بر این تفاوت‌ها، گامی مهم در راستای ارتقای کیفی سامانه‌ها و فرایندهای اهدا و انتقال خون است و نیازمند بررسی‌های بومی گستردگی، مداوم و جدی در ایران می‌باشد.

وازگان کلیدی: تعیین گروه خونی ABO، انتقال خون ناسازگار، آزمایش‌های سلولی و سرمی

ارجاع: سیفی‌زاده نرگس، سیفی‌زاده نیر، فرش‌دوستی حق مجید. **مروrij بر علل مغایرت گروه‌بندی مستقیم و معکوس سیستم ABO توزیع فراوانی این عوامل در ایران و جهان و راهکارهای مرتفع‌سازی.** مجله دانشکده پزشکی اصفهان ۱۳۹۳؛ ۳۲(۳۰۶): ۱۷۸۲-۱۷۹۶

آن‌بادی‌های ضد آنتی‌ژن A و فردی با گروه خونی A آنتی‌بادی‌های ضد آنتی‌ژن B و فردی با گروه خونی O هر دو آنتی‌بادی را در سرم خود دارند (۱). آنتی‌ژن‌های ABO ساختارهای (شکل ۱). آنتی‌ژن‌های ABO ساختارهای کربوهیدراتی پیچیده‌ای دارند که نه تنها بر سطح گلوبول‌های قرمز بلکه در ترشحات و همچنین روی

مقدمه

آن‌بادی‌های ABO جزء آنتی‌بادی‌های غالب طبیعی بدن محسوب می‌شوند و به طور معمول، در سرم افرادی که آن آنتی‌ژن خاص از ABO را روی گلوبول‌های قرمز خود بیان نمی‌کنند، ظاهر می‌شوند؛ به این صورت که فردی با گروه خونی B

۱- کارشناس ارشد، گروه ایمنی‌شناسی، دانشکده پزشکی و مرکز تحقیقات ایمنی‌شناسی، دانشگاه علوم پزشکی تبریز، ایران

۲- دانشجوی دکتری، گروه بیوشیمی بالینی و آزمایشگاه‌ها، دانشکده پزشکی و مرکز تحقیقات سلول‌های بینیادی بند ناف، دانشگاه علوم پزشکی تبریز، ایران

۳- استادیار، گروه آزمایشگاه خون‌شناسی و بانک خون، دانشکده پزشکی، دانشگاه علوم پزشکی تبریز، ایران

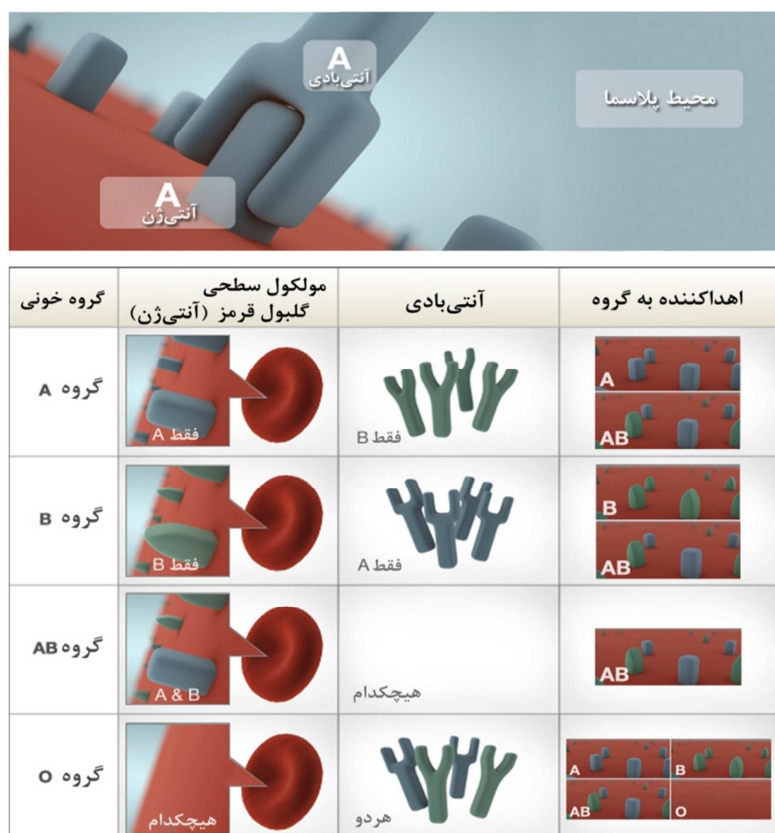
Email: seyfizadehn@tbzmed.ac.ir

نویسنده‌ی مسؤول: نیر سیفی‌زاده

(۲). یکی از معمول‌ترین آزمایش‌های قبل از انتقال خون، گروه‌بندی ABO می‌باشد. برای افزایش دقت نتایج گروه‌بندی ABO، در یک زمان هم آزمایش گلوبول‌های قرمز برای آنتی‌ژن‌ها (روش مستقیم) و هم آزمایش سرم برای تشخیص آنتی‌بادی‌ها (روش غیر مستقیم یا معکوس) انجام می‌گیرد و طبق قانون Landsteiner باید نتایج این دو آزمایش همخوانی داشته باشند (۲). عدم تطابق گروه‌بندی ABO زمانی اتفاق می‌افتد که نتیجه‌ی آزمایش سلولی و سرمی یکسان نباشد (۵). تنها زمانی می‌توان از گروه‌بندی سلولی یا سرمی به تنها یکی استفاده نمود که هدف کترل گروه خونی پلاسما یا کیسه‌ی خون باشد (۶).

برخی از سلول‌های اپی‌تلیال مثل ناخن دیده می‌شوند (۲). اهمیت فیزیولوژی آنتی‌بادی‌های طبیعی به صورت مبهم باقی مانده است. هر چند پذیرفته شده است که آنتی‌بادی‌های طبیعی ABO یک نوع دفاع غیر اختصاصی علیه باکتری‌ها هستند و تنظیم کننده‌ی سیستم ایمنی نیز محسوب می‌شوند (۳).

آنتم‌بادی‌های ABO اغلب از نوع IgM (Immunoglobulin M) می‌باشند، در حالی که بعد از آلوایمونیزاسیون در دوران بارداری یا انتقال خون ناسازگار از لحاظ ABO، آنتی‌بادی‌هایی با ایزوتاپ ایمونوگلوبولین G دیده می‌شوند (۴). سیستم تعیین گروه‌خونی ABO هم برای انتقال خون و هم برای شناسایی افراد در تحقیقات جنایی بسیار مهم می‌باشد.



شکل ۱. طرح شماتیک و کلی گروه‌های خونی در سیستم ABO، توزیع آنتی‌بادی‌ها و آنتی‌ژن‌ها در آنان و معرفی گروه‌های خونی گیرنده از هر گروه خونی خاص

عفونت‌های حاد باکتریال و مصرف داروها گزارش شد (۱۵-۱۶). از جمله عوامل ذاتی که می‌توانند موجب عدم تطابق نتایج آزمایش‌های سلولی و سرمی شوند، می‌توان به انواع سپتیسمی‌ها و بیماری‌های بدخیم که موجب ترشح آنتی‌ژن می‌شوند، گروه‌های خونی نادر مثل فنوتیپ بمبئی و گروه خونی A_x وجود آنتی A₁ در سرم افراد با گروه خونی A₂ و A_{2B}، پلاسمافریزیس، کیمریس (انتقال خون، پیوند مغز استخوان)، پلی‌اگلوتیناسیون، آنتی‌ژن B اکتسابی، آزمون کمبس مستقیم +، اتواگلوتیناسیون توسط اتوآنتی‌بادی‌های سرد، سن بیمار (کهولت، نوزادی)، هیپوگاماگلوبولینمی، آنتی‌بادی‌های آلاینده در معرف، ژل وارتون، رولو، پدیده‌ی پروزن، بیان ضعیف آنتی‌ژن‌های ABO، زیر گروه‌های ABO، ترکیبات گروه خونی اضافی، هم‌پوشانی فعالیت گلیکوزیل ترانسفرازها، علت‌های ژنوتیپی که تا به حال در ایران بررسی نشده است و غیره اشاره کرد (۱۵-۱۹).

برای اثبات مغایرت بین گروه‌بندی سلولی و سرمی به طور مثال می‌توان از روش‌هایی همچون آنتی‌بادی منوکلونال اختصاصی، روش‌های جذب و آلوشن، تکرار آزمایش‌ها در دماهای پایین (۴°C)، کمبس مستقیم، غربالگری آنتی‌بادی‌های ناخواسته و اتوکتتل بر اساس استاندارد بانک خون، استفاده نمود تا علت دقیق عدم تطابق مشخص شود (۲، ۱۷-۱۸) که البته انتخاب روش مناسب، بر اساس پیش ارزیابی اولیه‌ی نتایج گروه‌بندی انجام خواهد شد که در بخش‌های آتی معرفی می‌گردد.

شستن گلوبول‌های قرمز با محلول سالین به طور معمول می‌تواند عدم تطابق گروه‌بندی ABO را رفع

طبق بررسی‌های Chiaroni و همکاران، رخداد عدم تطابق گروه‌بندی ABO در فرانسه، ۱ در ۳۴۰۰ فرد می‌باشد (۷). در صورت عدم تطابق نتایج سرمی و سلولی، نتایج گروه‌بندی ABO نیز قابل تفسیر نخواهند بود و به دنبال آن، اگر گروه خونی فرد دهنده یا گیرنده‌ی خون به درستی تعیین نشود، منجر به واکنش‌های نامطلوب ناشی از ناسازگاری‌های انتقال خون می‌گردد (۸). از آن جایی که آنتی‌بادی‌هایی که علیه آنتی‌ژن‌های ABO ساخته می‌شوند، از نوع IgM هستند، توانایی بالایی برای فعل کردن کمپلمان دارند و واکنش‌های همولیز را در بدن به دنبال خواهند داشت و در ۴۰ درصد موارد، به مرگ گیرنده‌ی خون ختم می‌شوند (۹-۱۰). خطر واکنش‌های ایمونوهومولاژیک مربوط به تزریق‌های اشتباه با ناسازگاری ABO حدود ۱۰۰ تا ۱۰۰۰ برابر بیش از عفونت‌های ویروسی می‌باشد (۷). هر چند روش لوله‌ای به جای اسلامی، در مراکز بانک خون و بیمارستان‌ها به صورت منداول برای گروه‌بندی سیستم ABO به کار برده می‌شود (۱۱)، اما گاهی عدم تطابق آزمایش سلولی و سرمی حادث می‌شود (۹-۱۲). در این موضع، قبل از اقدام جهت آزمایش‌های پر هزینه‌تر و تحقیقات بیشتر، باید اول از خطاهای تکنیکی و شخصی اطمینان حاصل شود (۱۳-۱۴). در صورت رد این خطاهای تکنیکی و شخصی، می‌توان روی علت‌های ذاتی که به سرم و گلوبول‌های قرمز برمی‌گردد، تمرکز نمود (۹، ۱۲).

اولین مورد عدم تطابق در گروه‌بندی ABO مربوط به بروز ضعیف آنتی‌ژن A در برخی از اعضای یک خانواده‌ی آلمانی با گروه خونی A و AB می‌باشد. پس از آن نیز مواردی در لوسمی‌ها و

طبق بررسی‌های Chiaroni و همکاران، از بیش از ۴۰۰ هزار نمونه‌ی خون‌گیری شده در ۳۵ بیمارستان کشور فرانسه، بیشترین عامل عدم تطابق گروه‌بندی ABO به خطاهای خون‌گیری نسبت داده شده است. بر اساس همان تحقیق، دومین عامل مهم در عدم تطابق، خطاهای دفتری در حین وارد کردن اطلاعات بیماران می‌باشد (۷). در گزارشی دیگر، ۳۷ درصد از همه‌ی تزریقات اشتباه که در USA منجر به مرگ می‌شود، مربوط به عدم تطابق گروه‌بندی ABO اعلام گردیده است (۲۲)، که خطاهای انسانی مسؤول ۵۰ درصد این موارد گزارش شده است (۲۳، ۱۹). در عدم تطابق گروه‌بندی مستقیم و غیر مستقیم قبل از این که به عوامل ذاتی در مغایرت توجه شود، باید خطاهای تکنیکی لحاظ شوند که در صورت لزوم برای رفع این خطاهای آزمایش تکرار شود. در غیر این صورت، علل دیگر عدم تطابق بررسی شوند. در کنار این‌ها، داشتن اطلاعات اضافی از سوابق سرولوژیکی- پزشکی بیمار (سن، سوابق بارداری، سوابق انتقال خون، داروهای مصرف شده و نتایج آزمایش‌های سرولوژیکی سابق) در یافتن دقیق و سریع علت مغایرت گروه‌بندی سلولی و سرمی مهم می‌باشد. در جدول ۱ به بخشی از این خطاهای به صورت اجمالی اشاره می‌شود (۲).

عامل خطای انسانی عاملی به ظاهر ساده و قابل اغماض است و به خصوص در فرایندهای منجر به فوت بیمار، توجه کمتری به آن می‌گردد. این در حالی است که شیوه این خطا حتی در سامانه‌های پیشرفته‌ی پزشکی کشورهای اروپایی و آمریکایی جایگاه عامل اول در عدم تطابق گروه‌بندی ABO را به خود اختصاص داده است. هر چند که بر اساس

کند. این در صورتی است که آزمایش روی گلبول‌های قرمز معلق در سرم یا پلاسما انجام شده باشد (۲۰). شیوه‌های مکمل آزمایشگاهی زیر نیز برای تشخیص گروه خونی ABO به کار برده می‌شود:

۱ - در روش مستقیم گروه‌بندی ABO، علاوه بر آنتی A و آنتی B از آنتی AB که قدرت واکنش قوی‌تری از آنتی A به تنها بی دارد، استفاده می‌شود و در موارد ضروری، برای تعیین گروه‌های ضعیف‌تر A از آنتی H و آنتی A11 استفاده می‌شود (۲۱).

۲ - در روش گروه‌بندی غیر مستقیم ABO علاوه بر سوسپانسیون ۴-۶ درصد سلولی A و B، از سوسپانسیون سلولی A1 و A2 و O برای تعیین گروه‌های ضعیف A یا B و فنوتیپ بمبئی استفاده می‌شود (۱۷).

۳ - انجام آزمایش‌هایی برای مشخص کردن آنتی‌زن ABH در براق و سرم افراد مترشحه که به تعیین و تأیید گروه‌های خونی A یا B کمک می‌کند (۱۳).

۴ - از مخلوط سرم و سلول خود بیمار برای انجام آزمایش‌های اتوکتترل استفاده می‌شود تا مورد اتوگلوبولین‌ها که از مورد گروه‌های ضعیف اکتسابی یا فنوتیپ بمبئی شایع‌تر می‌باشد، تشخیص داده شود (۶).

۵ - آزمایش‌های جذب و آلوشن به عنوان آزمایش‌های تکمیلی برای اطمینان از گروه خونی افراد مشکوک انجام می‌شود (۱۳).

خطاهای تکنیکی

پس از مروری اجمالی بر ادبیات این حوزه و معرفی عوامل عدم تطابق نتایج آزمایش‌های سلولی و سرمی، به توضیح و تفسیر هر یک از عوامل، میزان فراوانی آن‌ها و ارایه‌ی راهکارهای پیشنهادی پرداخته می‌شود.

چنین مواردی انجام می‌گیرد، تکرار آزمایش‌های تعیین گروه خونی با انکوباسیون‌های طولانی مدت در دمای 4°C می‌باشد (چون آنتیژن‌های ABO در دماهای پایین واکنش‌های قوی‌تری نشان می‌دهند. علاوه بر این، اتوکتترل و غربال آنتی‌بادی‌ها نیز باید انجام گیرد که اتوآنتی‌بادی‌ها و آلوآنتی‌بادی‌ها حذف شوند و در تکرار آزمایش‌ها نتیجه‌ی مثبت کاذب ندهند. انکوباسیون‌های طولانی مدت در هوای سرد و همچنین مجاورت گلبول‌های قرمز با آنزیم، از جمله راهکارهایی است که برای رفع این علت از علل عدم تطبیق گروه‌بندی سلولی و سرمی انجام می‌گیرند (۲).

۳. ترکیبات اضافی گروه خونی

گاهی وجود ترکیبات خاص گروه خونی مثل آنتیژن‌های محلول ABO موجود در سرم یا پلاسما و یا وجود آنتی‌بادی اگری‌فلاؤین (که در کارسینوماها یا مسدود شدن دستگاه گوارش دیده می‌شود)، باعث عدم تطابق نتایج آزمایش سلولی و سرمی می‌شود که می‌تواند به علت شسته نشدن سلول‌های خونی بیمار باشد. در این مورد، یک بار شستشوی سلول‌ها با سالین نرمال و تهیه‌ی مجدد سوسپانسون طبق دستورالعمل‌های دفترچه‌ی راهنمای، می‌تواند به حل مشکل کمک کند (۲).

بررسی‌های محدود انجام شده در ایران، این عامل فراوانی کمتری نسبت به سایر عوامل ذاتی دارد (۲۴-۲۵)، که مقایسه‌ی این آمار با آمارهای جهانی نیاز جدی به کار میدانی و بررسی‌های بلند مدت و مستقل دارد.

عوامل ذاتی

۱. زیر گروه‌های ABO

در این نوع عدم انتطبق، در روش مستقیم گروه خونی به صورت O تعیین می‌گردد و گروه‌بندی غیر مستقیم گروه خونی A یا B را نشان می‌دهد و تفسیر اشتباه به خاطر عدم تشخیص درست آنتیژن‌های ضعیف A یا B می‌باشد. برای تشخیص آنتیژن‌های ضعیف و زیر گروه‌های ABO از روش جذب و آلوشن استفاده می‌کنند (۲). در یک بررسی انجام گرفته در شهر تهران، از بین زیر گروه‌های ABO، شیوع زیر گروه خونی A از سایر زیر گروه‌ها بیشتر بود و فراوانی زیر گروه‌های B و AB به طور تقریبی مشابه گزارش شد (۲۴).

۲. بیان ضعیف آنتیژن‌های ABO

بیان ضعیف آنتیژن‌های ABO در برخی از بیماری‌های مزمن دیده می‌شود که در تعیین گروه خونی فرد اختلال ایجاد می‌کند. اولین کاری که در

جدول ۱. فهرستی از خطاهای خون‌گیری

خطاهای دستی و دفتری	اشکالات موجود در وسایل و تجهیزات و معرف‌ها
شناختی نادرست بیمار یا نمونه برچسب زنی نادرست نمونه‌ی گرفته شده از بیمار	استفاده از معرف‌های تاریخ گذشته آلودگی معرف‌ها (مشاهده‌ی تغییر رنگ در معرف‌ها)
اشتباه در ثبت نتایج و همچنین وارد کردن نتایج در کامپیوتر خطاهای نگارشی کارورز در حین ثبت نتایج	کالیبره نبودن سانتریفوژ، انکوباتور، تایмер، دماستجو وغیره خطاهای دستگاه‌های تنظیم کننده‌ی دما که برای نگهداری معرف‌ها و نمونه‌ها کاربرد دارند
خون‌گیری نامناسب (به عنوان مثال استفاده از خون بالای سوند موجب آlundگی نمونه می‌شود) پیروی نکردن از دستورالعمل‌های کارخانه‌های سازنده‌ی کیت‌ها	استفاده از لوله‌های شیشه‌ای شکسته (حضور ذرات شیشه‌ای بروسیلیکات در نمونه در نتایج آزمایش‌ها اختلال ایجاد می‌کند)

با آنتی‌بادی‌های علیه آنتی‌ژن B واکنش مقاطع داشته باشد (۳۱). بیان آنتی‌ژن‌های B روی گلبول‌های قرمز در گروه خون B اکتسابی گذرا است و به صورت واضح با سن و سرطان‌های کلون مرتبط می‌باشد (۳۲).

Giles و همکاران با بررسی تغیرات گروه خونی یک زن ۵۷ ساله که مبتلا به سرطان کلون و متاستاز ریه بود، متوجه شدند که پس از مدتی گروه خونی فرد از A به AB تغییر یافت؛ حال آن که آنتی‌بادی علیه آنتی‌ژن B نیز در سرمش مشهود بود (۳۳). Marsh از واژه‌ی B کاذب برای توصیف گروه خونی یک زن ۶۴ ساله مبتلا به سرطان کلون استفاده کرد، گروه خونی بیمار AB با بیان ضعیف B بر سطح گلبول قرمز بود و همچنین آنتی‌بادی علیه آنتی‌ژن B نیز در خون بیمار دیده می‌شد که بعد از هفت‌ها، کاهش بیان آنتی‌ژن B در سطح گلبول‌های قرمز در مقایسه با اولین آزمایش‌های گروه‌بندی ABO مشاهده شد. بعدها موارد بیشتری از گروه خون B کاذب یا B اکتسابی گزارش شد که همه‌ی آن‌ها افرادی با گروه خون A را شامل می‌شدند (۲۸).

۵. کایمیریسم

کایمیریسم به معنی وجود چندین جمعیت سلولی می‌باشد که به دو صورت کایمراه ارشی یا ژنتیکی و کایمراه مصنوعی عنوان می‌شوند. کایمراه ژنتیکی ممکن است در اثر تبادل بافت درون رحمی بین دو قلوهای نامحسان به وجود آید. ممکن است از نوع کایمراه موزاییسمی باشد که یکی از دلایلش دی‌اسپرمی است. کایمراه مصنوعی می‌تواند در اثر پیوند سلول‌های پیش‌ساز خون، انتقال خون، خونریزی‌های متواالی جنین و مادر و انتقال خون درون رحمی باشد. وجود بیش از یک جمعیت

۴. گروه خونی B اکتسابی

پدیده‌ی B اکتسابی اغلب با بدخیمی‌های معده و روده (یا سایر مواردی که تمام دیواره‌ی دستگاه گوارش از بین می‌رود) همراه است. ارگانیسم‌های هم‌غذا در لوله‌ی گوارش یا محصولات فرعی متابولیسم آن‌ها، وقتی به جریان خون راه پیدا می‌کنند، آنتی‌ژن‌های سطحی گلبول‌های قرمز را تغییر می‌دهند که در برخی موارد، تفکیک و جداسازی این ارگانیسم‌های مشکوک به دخالت در آنتی‌ژن‌های سطحی گلبول‌های قرمز گزارش شده است (۲۶). دو مکانیسم مختلف برای B اکتسابی مطرح شده است. اول این که گفته می‌شود آنزیم‌های باکتریایی، یک سری تغیرات بیوشیمیایی روی پروتئین‌های غشای گلبول‌های قرمز انجام می‌دهند و دوم این که جذب پلی‌ساقاریدهای باکتریایی توسط غشای گلبول‌های قرمز، منجر به ظهور این گروه خونی می‌شود (۲۷).

Marsh در یک بررسی در محیط آزمایشگاهی، احتمال داد که آنتی‌ژن B کاذب به خاطر فعالیت آنزیم‌های باکتریایی باشد (۲۸). Renton و Stratton پیشنهاد کردند که تغییر در گروه خونی ممکن است در اثر جذب پلی‌ساقاریدهای باکتریایی به روی گلبول‌های قرمز باشد (۲۹). این موضوع، با بررسی‌های Springer و Williamson و ۰۸۶ رابطه‌ی سرولوژیکی قوی بین آنتی‌ژن B و Gerbal و اکلای نشان دادند، به اثبات رسید (۳۰). همکاران طی یک بررسی نشان دادند که آنزیم‌هایی مثل داستیلاز باکتریایی می‌تواند N-α استیل D گالاكتوزامین را (که قند غالب گروه خونی A می‌باشد) به α-D-گالاكتوزامین تبدیل کند. گالاكتوزامین بسیار شبیه آنتی‌ژن B است و می‌تواند

می‌شود. برای جلوگیری از اثر پرروزون، رقیق کردن سرم با سالین نرمال و استفاده از روش‌هایی برای کاهش اثر کمپلمان مثل جمع آوری نمونه با EDTA (Ethylenediaminetetraacetic acid) پیش‌نهاد می‌شود (۲).

۷. پدیده‌ی رولو یا رولکسان

پدیده‌ی رولو ممکن است مسؤول واکنش‌های آنتی‌بادی غیرمنتظره و آنتی‌ژن‌های غیرمنتظره باشد (۱). این پدیده اغلب در بیماران مولتیپل مایلوما یا دیگر اختلالات پروتئین‌های خونی و همچنین در تزریقات مایعاتی با وزن مولکولی بالا مثل فیرینوژن، دکستران یا هیدرکسی اتیل ناشسته دیده می‌شود. پدیده‌ی رولو یکی از عواملی است که عدم تطابق گروه‌بندی سلولی و سرمی را موجب می‌شود. روش‌های شستشوی سلول‌های خونی با سالین نرمال و همچنین روش جایگزین سالین به سبب تغییر در بار سطحی گلbulول‌های قرمز مانع رولکس می‌شود و عدم انطباق نتایج سلولی سرمی را رفع می‌کند (۲). در بیماری مولتیپل مایلوما، سطح گلbulولین‌ها افزایش می‌یابد و منجر به رولو می‌شود؛ شکل‌گیری رولو باعث می‌شود که گلbulول‌های قرمز به هم بچسبند و مثل سکه روی هم قرار بگیرند و ممکن است که یک فرد تازه‌کار این را اگلوتیناسیون تلقی کند (۱۲-۱۳)، (شکل ۲).

در چنین مواردی، شستشوی مکرر با سرم فیزیولوژیک و سانتریفیوز، سطح گلbulول‌های قرمز را شستشو می‌دهد و به این طریق از پدیده‌ی رولکسان جلوگیری می‌شود و نتایج سل‌تایپ و بک‌تایپ یکسان خواهد شد (۳۵). طبق بررسی انجام شده در شهر تهران، سهم این علت از علل مغایرت گروه‌بندی سلولی و سرمی ۵ درصد گزارش شده است (۲۴).

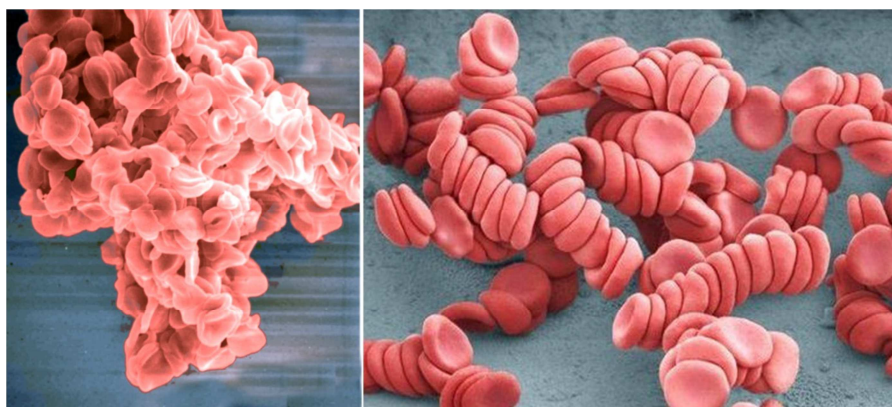
سلولی، چه به صورت ژنتیکی و چه به صورت مصنوعی، منجر به عدم تطابق گروه‌بندی سلولی و سرمی می‌شود (۲).

۶. فقدان یا واکنش‌های ضعیف آنتی‌بادی‌ها

۱-۶. نوزادان: تولید آنتی‌بادی در خون نوزادان، به علت تکامل نیافتن سیستم ایمنی آن‌ها، حداقل تا چهار ماه پس از تولد رخ نمی‌دهد و به همین دلیل، فقدان آنتی‌بادی‌های A و B در نوزادان دیده می‌شود. این موضوع به طور عمومی در تعیین گروه خونی نوزادان اختلال ایجاد می‌کند و منجر به عدم تطابق نتایج آزمایش‌های سلولی و سرمی می‌شود. ذکر این نکته لازم می‌نماید که حتی اگر آنتی‌بادی در خون محیطی یا خون بند ناف نوزادان دیده شود، به احتمال زیاد منشأ مادری دارد (۳۴). برای حل این مشکل، باید از گروه‌بندی معکوس برای تعیین گروه خونی نوزادان زیر چهار ماه اجتناب کرد (۲).

۲-۶. افراد مسن: در افراد مسن نیز به علت کاهش تولید آنتی‌بادی، ممکن است که گروه‌بندی مستقیم و معکوس نتیجه‌ی ناهمسانی بدeneند. چنین عدم تطابقی در افرادی که شیمی درمانی کرده‌اند و یا سیستم ایمنی ایشان در اثر بیماری، سرکوب یا تخریب شده و قدرت تولید آنتی‌بادی در آن‌ها از بین رفته است، مشاهده می‌گردد. انکوباسیون نمونه‌ها در دمای اتاق ($20-24^{\circ}\text{C}$) ممکن است سبب افزایش واکنش آنتی‌بادی و آنتی‌ژن شود و همچنین انجام آزمایش سلول‌های غربالی آنتی‌بادی نیز تا حد قابل توجهی به حل موضوع کمک می‌کند (۲).

۳-۶. پرروزون: تیتر بالای آنتی‌بادی‌های غیر اختصاصی در تعیین گروه خونی تأثیر می‌گذارد و منجر به عدم تطابق گروه‌بندی سلولی و سرمی



شکل ۲. راست: در پدیده‌ی رولو گلوبول‌های قرمز به هم چسبیده و مانند سکه روی هم قرار می‌گیرند؛
چپ: چسبندگی معمولی گلوبول‌های قرمز در اثر لختگی برای مقایسه نشان داده شده است.

بار شستشوی لوله‌ها با سالین نرمال در 37°C ، در از بین بردن اگلوتیناسیون‌های به وجود آمده در اثر اتوآنتی‌بادی‌های سرد کمک کننده خواهد بود (۲). اتوآنتی‌بادی‌ها بیشتر از نوع آنتی I یا IH هستند که با گلوبول‌های قرمز اکثر افراد واکنش می‌دهند. استفاده از اتوكترل‌ها روش خوبی جهت افتراق آلوآنتی‌بادی‌های سرد و اتوآنتی‌بادی‌های سرد می‌باشد (۳۶، ۲-۴). اتوآنتی‌بادی‌ها سهم کمی ($1/5$ درصد) از کل عوامل در مغایرت گروه‌بندی ABO را به خود اختصاص می‌دهند (۲۴).

۱۰. ژل وارتون

ژل وارتون، ژلی غنی از اسید هیالورونیک می‌باشد و سبب اتصال بند ناف به بافت‌ها می‌شود. اگر در حین نمونه‌گیری از خون بند ناف، دقیقی نشود، این ژل با نمونه مخلوط می‌گردد و چون به صورت خود به خودی سبب تجمع گلوبول‌های قرمز می‌شود، در نتیجه‌ی آزمایش‌های گروه‌خونی اختلال ایجاد می‌کند. شستشوی خون بند ناف با سالین نرمال و نمونه‌گیری از ورید بند ناف، این آلودگی را کاهش می‌دهد و به رفع عدم انطباق گروه‌بندی سرمی و سلولی کمک می‌کند (۲).

۸. پلی‌اگلوتیناسیون

پدیده‌ای است که در آن گلوبول‌های قرمز فرد با سرم یک فرد بالغ اگلوتیناسیون می‌دهد، اما با سرم بند ناف اگلوتیناسیون نمی‌دهد. این نوع سلول‌های خونی، در اثر جهش‌های سوماتیک بافت‌های خون‌ساز یا تغییر در غشای گلوبول‌های قرمز به وسیله‌ی آنزیم‌های باکتریی یا ویروسی و یا عوامل وراثتی به وجود می‌آیند. گفته شده است که بیشترین علت پلی‌اگلوتیناسیون، عفونت‌های باکتریایی یا ویروسی می‌باشند که با حذف عامل عفونت، پلی‌اگلوتیناسیون نیز حذف می‌شود. در واقع، آنزیم‌های باکتریایی یا ویروسی با تغییر در پروتئین‌های غشای گلوبول‌های قرمز باعث آشکار شدن آنتی‌ژن‌های مخفی می‌شوند که منجر به عدم تطابق گروه‌بندی سلولی و سرمی می‌شود (۲).

۹. اتوآنتی‌بادی‌های سرد

وجود اتوآنتی‌بادی‌های سرد و قوی در سرم فرد، باعث می‌شود که حتی بدون افزودن آنتی‌سرم یا هر افزودنی دیگر اگلوتیناسیون رخ دهد که در تعیین گروه‌بندی خونی، اختلال ایجاد می‌کند و نتیجه‌ی کاذب می‌دهد. گرم کردن لوله‌ها در 37°C و چندین

آنتی‌بادی حساس می‌شوند که به سرعت پس از افزودن آنتی A یا آنتی B لخته مشاهده می‌گردد. در نتیجه، آزمایش به شیوهٔ مستقیم همیشه گروه خونی O را نشان می‌دهد. برای حل این مشکل، می‌بایست ابتدا آنتی‌بادی‌ها را از سطح گلbulهای قرمز توسط حرارت یا با استفاده از مواد شیمیایی حذف نمود (۲). در یک بررسی که در تهران صورت گرفته بود، شیوع این علت مغایرت ۳۶ درصد گزارش شد (۲۴). یکی دیگر از روش‌های حل این مشکل، استفاده از تکنیک جذب یا آلوشن می‌باشد (۱۸، ۲).

۱۵. هیپوگاماگلوبولینمی

یکی دیگر از علل عدم تطابق گروه‌بندی ABO می‌تواند فقدان ایزواگلوبولین‌ها علیه آنتی‌ژن A و یا آنتی‌ژن B باشد که در آگاماجلوبولینما و یا هیپوگاماگلوبولینما مراحل اولیه و ثانویه بیماری‌های نقص ایمنی و حتی بدخیمی‌ها دیده می‌شود (۳۷-۳۸، ۱۲). در بدخیمی‌هایی مثل مولتیپل مایلوما، عدم تطابق ABO به خاطر حضور پروتئین‌های غیر طبیعی (ایجاد رولکسان) و یا فقدان ایزواگلوبولین‌ها می‌باشد (۳۵). Kim و همکاران یک مورد با بیماری مولتیپل مایلوما گزارش کردند که عدم تطابق گروه‌بندی ABO وی به خاطر فقدان ایزواگلوبولین‌ها بود (۳۹). گفته شده است که این مورد حدود ۵ درصد از موارد مغایرت‌های گروه‌بندی ABO را در شهر تهران در سال‌های ۱۳۸۱-۸۲ به خود اختصاص داده است (۲۴).

۱۶. علل ژنوتیپی عدم تطابق گروه‌بندی ABO

یکی از دلایل عدم انطباق گروه‌بندی ABO در آن دسته از افرادی که فاقد آنتی‌بادی‌های قابل انتظار هستند، علل ژنوتیپی می‌باشد. طبق بررسی‌هایی که

۱۱. آنتی‌بادی‌های آلاند در معرف‌ها

آلودگی در آنتی‌سرم‌های معرف نیز می‌تواند موجب تنافض در گروه‌بندی سرمی و سلولی شود. به این نحو که گاهی آنتی‌سرم‌های معرف، حاوی آنتی‌بادی علیه آنتی‌ژن‌های فرعی روی سطح گلbulهای قرمز هستند که با آن‌ها واکنش و پاسخ مثبت کاذب را نشان می‌دهند. برای حل این مشکل، بهتر است از معرف‌های کارخانه‌ی دیگری استفاده شود (۲).

۱۲. آلوآنتی‌بادی‌ها

آنتی‌بادی‌هایی از کلاس IgM که در دمای اتاق یا دمای بیش از دمای اتاق واکنش نشان می‌دهند. به عنوان مثال آنتی P1، آنتی M و آنتی Le^b که در نتیجهٔ آزمایش گروه‌بندی خونی تأثیر می‌گذارند و موجب عدم تطابق گروه‌بندی سرمی و سلولی می‌شوند. این مشکل را می‌توان با غربالگری آنتی‌بادی حل نمود (۲). در یک بررسی که در تهران انجام گرفته بود، حضور آلوآنتی‌بادی‌ها با شیوع ۲۳/۲ درصد، به عنوان شایع‌ترین علت مغایرت گروه‌بندی تلقی شد (۲۴).

۱۳. پلاسمافریزیس

در برخی موارد، تزریق ایمونوگلوبولین داخل رگی که از پلاسمای افراد داوطلب گرفته می‌شود، می‌تواند در تعیین گروه خونی اختلال ایجاد کند. به این نحو که این پلاسما می‌تواند حاوی آنتی ABO باشد. برای تشخیص و تصحیح این گونه خطاهای باید به سابقهٔ بالینی بیمار توجه گردد و سوابق تزریقات قبلی بیمار بررسی شود (۲).

۱۴. آزمون کمبس مستقیم

در برخی موارد، گلbulهای قرمز به حدی به

Michino فنوتیپ O بود و آنتی‌ژنهای A و B بر سطح گلوبول‌های قرمز وی یافت نمی‌شد. از طرف دیگر، واکنش سلول‌های B با سرم این فرد مثبت اما واکنش سلول A با سرم وی منفی بود. پس از بررسی‌هایی متوجه حضور به نسبت کمی از سلول‌هایی در ناخن این فرد شدند که آلل A را (علاوه بر سلول‌هایی با فنوتیپ O) در سطح خود بیان می‌کردند. حضور همین مقدار از آنتی‌ژن کافی بود تا فقدان آنتی‌بادی علیه آنتی‌ژن A در سرم فرد حاصل شود. علت این که بیان این آلل A در ناخن فرد به خاطر وجود موzaïcism سوماتیک بوده است و یا کیمیریسم عامل اصلی می‌باشد، به سادگی قابل تشخیص نیست و نیاز به بررسی‌های بیشتری دارد (۴۵).

A2. وجود آنتی A1 در خون افرادی با گروه خونی A

در تعیین گروه خونی به طور معمول از آنتی A استفاده می‌شود. این به این معنی است که در این شیوه در ابتدا زیر گروه‌های A مورد لحاظ قرار نمی‌گیرند. این امر باعث آن می‌شود که در گروه‌بندی مستقیم، آنتی‌ژن A2 را در سطح گلوبول‌های قرمز شناسایی کنیم و از طرف دیگر، در گروه‌بندی غیر مستقیم نیز آنتی A1 را در سرم بیابیم که منجر به عدم تطبیق گروه‌بندی مستقیم و معکوس می‌شود. برای حل این مشکل، می‌توان از معرف‌های مخصوص زیر گروه‌ها برای تعیین گروه خونی استفاده نمود (۲).

(A) و (B) و (AB)

گاهی بیان یکی از آنتی‌ژنهای A یا B در سطح گلوبول‌های قرمز، ضعیف می‌باشد و معرف‌های پلی کلونال که به طور معمول در آزمایشگاه‌های تشخیصی به کار برده می‌شوند، قادر به شناسایی این

Deng و همکاران روی افرادی با مغایرت در گروه‌بندی سرمی و سلولی انجام دادند، با یک مورد مواجه شدند که پاسخ سلول‌های واجد آنتی‌ژن A با سرم این بیمار مثبت بود، اما پاسخ سلول‌های واجد آنتی‌ژن B با سرم بیمار صفر بود. این در حالی بود که فنوتیپ گروه خونی O را نشان می‌داد. این عدم تطابق از حضور یک آلل B¹⁰¹ روی ژنوم فرد ناشی می‌شد. پس از بررسی ژنوتیپ یک سری از آلل‌های ABO پی بردنده که یک سری از آلل‌ها باعث بیان ضعیف آنتی‌ژنهای ABO می‌شوند و همچنین میزان بسیار کم یا فقدان آنتی‌بادی‌های سرمی نیز در این افراد دیده می‌شود (۴۰). بیان ضعیف آنتی‌ژن می‌تواند در اثر نقص ایمنی، در نوزادان، افراد مسن و یا همان‌طور که گفته شد، به خاطر زمینه‌ی ژنتیکی باشد (۴۱).

برای حل این مشکل، استفاده از تکنیک‌هایی برای بررسی ژنوتیپی این افراد پیشنهاد می‌شود. اگر چه بیشتر آلل‌های O فنوتیپ قابل انتظار O را نشان می‌دهند، اما در این بین، یک سری آلل‌های نامعمول وجود دارد که آنتی‌های A را به صورت ضعیف بیان می‌کنند. حضور این آلل‌ها می‌تواند موجب عدم تطابق ژنوتیپ و فنوتیپ شود و در آزمایش‌های گروه‌بندی ABO اختلال ایجاد کند (۴۲). آلل‌های غیر حذفی O^{*} ABO غالبه‌ترین علت بسیاری از مشکلات مربوط به فقدان آنتی‌بادی در خون افرادی با فنوتیپ O می‌باشند (۴۳). بر اساس مطالعه‌ای در زاپن که بر روی ۱۱۳۴ نفر انجام شد، علت عدم تطابق فنوتیپ و ژنوتیپ در افراد مشاهده شده یک نوع آلل O با یک جهش نقطه‌ای در اگزون شماره‌ی ۶ و آلل O دیگری با عدم حذف گوانین در نوکلئوتید ۲۶۱ گزارش شده بود (۴۴). در یک موردی که

دسته‌بندی نمود. شکل ۳ طبقه‌بندی عوامل ذاتی بر این اساس را نشان می‌دهد.

با در نظر گرفتن ارزیابی اولیه از آزمایش و یافتن واکنش عامل مورد مغایرت، می‌توان برای رفع آن اقدامات لازم را همان گونه که در این بخش ارایه گردید، اجرا نمود.

بحث

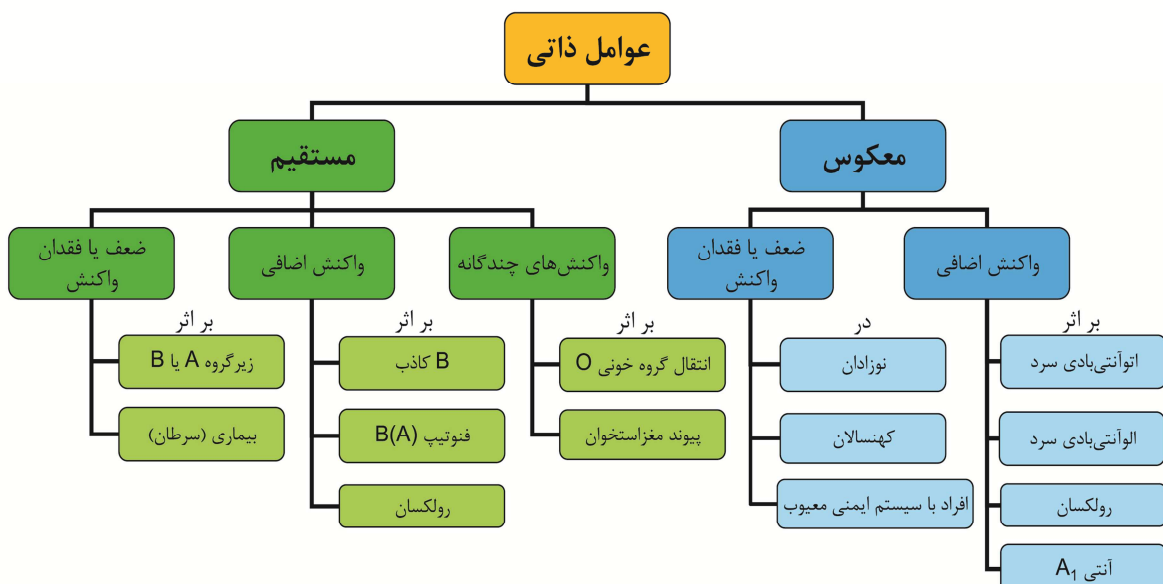
همان گونه که اشاره شد، به لحاظ اهمیت سلامت انتقال خون، صحت آزمایش‌های گروه‌بندی ABO مورد تأکید می‌باشد. یکی از مهم‌ترین آزمایش‌هایی که قبل از انتقال خون صورت می‌گیرد، تعیین گروه خونی در سیستم ABO است. این آزمایش‌ها به صورت معمول یا از نوع آزمایش سلولی و یا از نوع آزمایش سرمی می‌باشند. بنا به علل مختلفی که در این مقاله‌ی مژوی این پوشش داده شد، گاهی بین نتیجه‌ی این دو آزمایش عدم انطباق دیده می‌شود.

آنچه‌های ضعیف بیان شده در سطح سلول نیستند. به همین دلیل، عدم تطابق در نتایج آزمایش‌های مستقیم و معکوس تعیین گروه خونی دیده می‌شود. برای حل این مشکل، می‌توان از معرفه‌های منوکلونال استفاده کرد (۲).

۱۹. فنوتیپ بمبئی

افراد با فنوتیپ بمبئی هیچ کدام از آنچه‌های ABO را بر سطح گلbulوهای قرمز خود بیان نمی‌کنند. در آزمایش مستقیم و معکوس، نتایج مثل گروه‌خونی O می‌باشد. بر سطح سلول‌ها آنچه‌زن وجود ندارد و در سرم نیز آنچه‌بادی وجود دارد. برای رفع این ابهام، از سلول‌هایی با فنوتیپ O به عنوان شاهد استفاده می‌شود (۲).

عوامل ذاتی مطرح شده را می‌توان در حالتی کلی بر اساس آن که «عدم مغایرت در واکنش مستقیم رخ دهد و یا در واکنش معکوس؟» و همچنین «آیا واکنش مورد شک ضعیف و یا اضافی است؟»، نیز



شکل ۳. طبقه‌بندی عوامل ذاتی مؤثر بر ایجاد مغایرت گروه‌بندی مستقیم و معکوس سیستم ABO از منظر قدرت واکنش‌های رخ داده

دارد. این عوامل می‌تواند به دلیل سیستم متفاوت پذیرش بیمار و یا اهدا کننده و یا تفاوت‌های ژنتیکی عامل این اختلاف باشد. شناخت عوامل مؤثر بر این تفاوت‌ها، گامی مهم در راستای ارتقای کیفی سامانه‌ها و فرایندهای اهدا و انتقال خون است و نیازمند بررسی‌های بومی گستردۀ، مداوم و جدی در ایران می‌باشد.

در انتهای، لازم به ذکر است که به عنوان عاملی مکمل پیشنهاد شود تا همواره سوابق بالینی پزشکی بیمار نیز در صورت در دسترس بودن، برای تفسیر نتایج لحاظ شوند. همچنین به کارگیری تکنیک‌های استاندارد در تعیین گروه‌خونی ABO برای کاهش خطاهاي تکنیکی و ذاتی بسیار مؤثر است و از واکنش‌های حاد همولیتیک ناشی از تزریق خون ناسازگار جلوگیری خواهد کرد.

تشکر و قدردانی

بدین‌وسیله از حمایت‌های مرکز تحقیقات ایمونولوژی دانشگاه علوم پزشکی تبریز کمال تشکر و قدردانی را می‌نماییم.

این عوامل را می‌توان از منظری به دو دسته‌ی خطاهای تکنیکی، شخصی-دفتری و عوامل ذاتی دسته‌بندی نمود. بر اساس این دیدگاه، آموزش صحیح پرسنل مراکز بانک خون و بیمارستان‌ها می‌تواند در کاهش خطاهای تکنیکی و شخصی مؤثر باشد و از طرف دیگر آگاهی نسبت به عوامل ذاتی در تفسیر علل مغایرت بسیار مهم است.

در یک بررسی انجام شده در اصفهان، از ۴۱ مورد عدم انطباق به دست آمده از میان بیش از ۷۵ هزار واحد اهدایی خون، که اغلب مردان سنین ۳۱-۴۰ سال و دارای گروه خونی O بودند، ۴۱/۴۶ درصد مربوط به کاهش غلظت آنتی‌ژن‌های سطحی و ۳۶/۱۶ درصد مربوط به اکلوتینین‌های سرد و ۱۲/۱۹ درصد مربوط به خطای آزمایشگر گزارش گردید (۲۵). حال آن که شایع‌ترین علت مغایرت در مطالعه‌ی انجام شده در تهران، آلوآنتی‌بادی‌ها با فراوانی ۲۳/۳ درصد گزارش شد (۲۴). نتایج این بررسی‌های آماری و مقایسه‌ی آن‌ها با سایر مطالعات جهانی در این زمینه، نشان از تفاوت‌هایی بنیادی در فراوانی عوامل مؤثر بر مغایرت گروه‌بندی مستقیم و معکوس سیستم ABO

References

- Landsteiner K. The specificity of serological reactions. New York, NY: Dover Publications; 1990.
- Rudmann SV. Textbook of blood banking and transfusion medicine. 2nd ed. Philadelphia, PA: Saunders; 2005.
- Spalter SH, Kaveri SV, Bonnin E, Mani JC, Cartron JP, Kazatchkine MD. Normal human serum contains natural antibodies reactive with autologous ABO blood group antigens. Blood 1999; 93(12): 4418-24.
- Filitti-Wurmser S. Natural antibodies and immune antibodies of human ABO blood group system. Biochimie 1976; 58(11-12): 1345-53.
- Blaney KD, Howard PR. Basic and applied concepts of immunohematology. 2nd ed. Philadelphia, PA: Mosby; 2008.
- Moayedi-Esfahani B. Clinical blood transfusion and lab methods. Isfahan, Iran: Neshat Publications; 1989. [In Persian].
- Chiaroni J, Legrand D, Dettori I, Ferrera V. Analysis of ABO discrepancies occurring in 35 French hospitals. Transfusion 2004; 44(6): 860-4.
- Mohammadi S, Dargahi H, Alizadeh S, Farshdusti-Hagh M, Dejbakhsh E. Agglutination tests quality control in

- hematology labs. Physician and Laboratory Journal 2010; 9(44): 7-10. [In Persian].
9. Linden JV, Wagner K, Voytovich AE, Sheehan J. Transfusion errors in New York State: an analysis of 10 years' experience. *Transfusion* 2000; 40(10): 1207-13.
 10. Kaplan HS, Battles JB, Van der Schaaf TW, Shea CE, Mercer SQ. Identification and classification of the causes of events in transfusion medicine. *Transfusion* 1998; 38(11-12): 1071-81.
 11. Alizadeh S, Farshdusti-Hagh M. Blood collection, handling and storage. Physician and Laboratory Journal 2008; 7(36): 17-21. [In Persian].
 12. Henry JB. Clinical diagnosis and management by laboratory methods. Philadelphia, PA: Saunders; 2001.
 13. Walker RH. AABB technical manual. 10th ed. Arlington, VA: American Association of Blood Banks; 1990.
 14. Farshdusti-Hagh M, Noruzinia M, Saki N. The importance of quality control in the preanalytical phase. Proceedings of the 2nd International and 7th National Congress on Quality Improvement in Clinical Laboratories; 2009 Apr 21-24; Tehran, Iran.
 15. Meade D, Stewart J, Moore BP. Automation in the blood transfusion laboratory. II. ABO grouping, Rh and Kell typing, antibody screening, and VD testing of blood donations in the autoanalyzer. *Can Med Assoc J* 1969; 101(9): 35-9.
 16. Chiaroni J, Lauroua P, Roubinet F, Mannessier L. Problem-solving in immunohematology: interpretation of ABO typing and its difficulties. *Transfus Clin Biol* 2000; 7(1): 84-95.
 17. Flynn JC. Essentials of immunohematology. Philadelphia, PA: Saunders; 1998.
 18. Golafshan H, Ghahremani MH, Sharifzadeh S. Lab principals in blood bank. Shiraz, Iran: Shiraz University of Medical Sciences; 1999. [In Persian].
 19. Myhre BA. Fatalities from blood transfusion. *JAMA* 1980; 244(12): 1333-5.
 20. Harmening D, Calhoun L, Polesky HF. Modern blood banking and transfusion practices. 5th ed. Philadelphia, PA: FA Davis; 2005.
 21. Klein HG, Anstee DJ. Mollison's blood transfusion in clinical medicine. 11th ed. Hoboken, NJ: Wiley; 2008.
 22. Sazama K. Reports of 355 transfusion-associated deaths: 1976 through 1985. *Transfusion* 1990; 30(7): 583-90.
 23. Rouger P, Le Pennec PY, Noizat-Pirenne F. Immunologic risk analysis of blood transfusion: 1991-1998. *Transfus Clin Biol* 2000; 7(1): 9-14.
 24. Selseleh M, Esmaeeli J. Evaluation of ABO group discrepancies in Tehran blood transfusion center, 2002 to 2003. *Blood Transfusion Bulletin of North Central Region* 2010; 53: 1-6. [In Persian].
 25. Rahgozar S, Yavari FM, Hariri MM, Moafi AR. ABO discrepancy prevalence and qualitative study of relevant factors in blood donors of Isfahan Regional Blood Transfusion Center. *Sci J Iran Blood Transfus Organ* 2006; 3(1): 53-62. [In Persian].
 26. Judd WJ. Microbial-associated forms of polyagglutination (T, Tk and acquired-B). In: Beck ML, Judd WJ, editors. Polyagglutination, a technical workshop. Washington, DC: American Association of Blood Banks; 1980.
 27. Judd WJ, Annesley TM. The acquired-B phenomenon. *Transfus Med Rev* 1996; 10(2): 111-7.
 28. Marsh WL. The pseudo B antigen. A study of its development. *Vox Sang* 1960; 5: 387-97.
 29. Stratton F, Renton PH. Acquisition of B-like Antigen. *Br Med J* 1959; 2(5146): 244.
 30. Williamson P, Springer GF. Blood-group B active somatic antigen of *E. coli* O86:B7. *Fed Proc* 1959; 18: 604.
 31. Gerbal A, Maslet C, Salmon C. Immunological Aspects of the Acquired B Antigen. *Vox Sanguinis* 1975; 28(5): 398-403.
 32. Cameron C, Graham F, Dunsford I, Sickles G, Macpherson CR, Cahan A, et al. Acquisition of a B-like antigen by red blood cells. *Br Med J* 1959; 2(5140): 29-32.
 33. Giles CM, Mourant AE, Parkin DM, Horley JF, Tapson KJ. A weak B antigen, probably acquired. *Br Med J* 1959; 2(5140): 32-4.
 34. Farshdusti-Hagh M, Noruzinia M. Diagnostic values of diseases by using peripheral blood. Proceedings of the 2nd International and 7th National Congress on Quality Improvement in Clinical Laboratories; 2009 Apr 21-24; Tehran, Iran.
 35. Wilson JA, Jacobs A. ABO discrepancy in a multiple myeloma patient: a case study. *Clin Lab Sci* 2002; 15(4): 204-7.
 36. Landsteiner K. The nature and specificity of antibodies: the specificity of serological reactions. Cambridge, MA: Harvard University Press; 1945. p. 127.
 37. Park TS, Oh SH, Choi JC, Kim HH, Park JH, Lee EY, Son HC. A Case of agammaglobulinemia detected by ABO discrepancy in a 13-year-old girl. *Korean J Lab Med* 2002; 22(5): 364-6.
 38. Oh SH, Kang CI, Kim J, Park TS. ABO discrepancy in a young Korean serviceman with common variable immunodeficiency. *Ann Hematol* 2010; 89(6): 629-30.

- 39.** Kim SY, Oh SH, Park KS, Kim MJ, Lim G, Cho SY, et al. ABO discrepancy in an elderly patient with IgA kappa-type multiple myeloma. Ann Hematol 2010; 89(7): 747-8.
- 40.** Deng ZH, Zeng JQ, Yu Q, Su YQ, Liang YL, Lu L, et al. Genotyping of samples lacking expected antibodies in ABO blood group. J Clin Lab Anal 2007; 21(6): 363-6.
- 41.** Daniels G. Human blood groups, 2nd ed. Oxford, UK: Blackwell Scientific; 2002. p. 52.
- 42.** Yazer MH, Hosseini-Maaf B, Olsson ML. Blood grouping discrepancies between ABO genotype and phenotype caused by O alleles. Curr Opin Hematol 2008; 15(6): 618-24.
- 43.** Wagner FF, Blasczyk R, Seltsam A. Nondeletional ABO*O alleles frequently cause blood donor typing problems. Transfusion 2005; 45(8): 1331-4.
- 44.** Mizuno N, Ohmori T, Sekiguchi K, Kato T, Fujii T, Fujii K, et al. Alleles responsible for ABO phenotype-genotype discrepancy and alleles in individuals with a weak expression of A or B antigens. J Forensic Sci 2004; 49(1): 21-8.
- 45.** Michino J, Hata Y, Matsui K, Takizawa H, Kominato Y, Tabata S, et al. Demonstration of A antigen and A allele of ABO histo-blood group in nail in a case with the absence of A antigen and anti-A antibody in blood. Leg Med (Tokyo) 2005; 7(3): 194-7.

A Review on Discrepancy of ABO Blood Grouping, Distribution of Causes in Iran and the World, and Resolving Methods

Narges Seyfizadeh MSc¹, Nayer Seyfizadeh MSc², Majid Farshdusti-Hagh PhD³

Review Article

Abstract

Background: ABO blood grouping is the most important test that should be examined before blood transfusion. Transfusion of ABO incompatible blood leads to acute hemolytic reactions, malignant disease and in severe and uncontrolled cases might cause death.

Methods: Direct or forward blood grouping or cell typing (i.e. investigation of antigens on erythrocytes surface) and indirect grouping or reverse typing (i.e. investigation of serum antibodies) are the most common tests to determine blood groups in laboratory. Interpretation and compatibility of the results from blood grouping tests (cell typing and reverse typing) is a crucial step to decide and perform blood transfusion. In case of incompatible results of direct and indirect blood grouping, additional tests must be performed before reporting the results and in emergency blood transfusion situations, O+ RBCs should be used. In this manuscript, we reviewed and summarized factors involved in ABO blood group discrepancies. We studied reports in this context in Iran and the world and compared the most frequent incompatibility factors in Iran in comparison to the rest of the world. Finally, we suggested plausible methods which could be taken into account to lower the risk of incompatible blood transfusion in Iran.

Conclusion: Technical and clerical errors in Iran and the world, respectively, are reported to be the most common cause of ABO discrepancy. This result indicates different nature of ABO discrepancy factors between Iran and other countries. Understanding these differences is the very first step to improve blood donation and transfusion procedures locally and that requires long-term extensive domestic investigations.

Keywords: ABO blood grouping, Incompatible blood transfusion, Cell typing, Reverse typing

Citation: Seyfizadeh N, Seyfizadeh N, Farshdusti-Hagh M. A Review on Discrepancy of ABO Blood Grouping, Distribution of Causes in Iran and the World, and Resolving Methods. J Isfahan Med Sch 2014; 32(306): 1782-96

1-Department of Immunology, School of Medicine AND Immunology Research Center, Tabriz University of Medical Sciences, Tabriz, Iran

2- PhD Student, Department of Clinical Biochemistry and Laboratories, School of Medicine AND Umbilical Cord Stem Cell Research Center, Tabriz University of Medical Sciences, Tabriz, Iran

3- Assistant Professor, Department of Laboratory Hematology and Blood Banking, School of Medicine, Tabriz University of Medical Sciences, Tabriz, Iran

Corresponding Author: Nayer Seyfizadeh MSc, Email: seyfizadehn@tbzmed.ac.ir

بررسی توزیع فراوانی آنتیبیوتیک‌های مصرف شده در بخش مراقبت‌های ویژه مرکز آموزشی-درمانی الزهرا (س) در قبل و بعد از استقرار متخصصین عفونی در بیمارستان

دکتر کامیار مصطفوی‌زاده^۱، دکتر بهروز عطایی^۲، رویا آزاد^۳، امید پیرحاجی^۴، علی مهرابی کوشکی^۵، حمیدرضا صادقیان^۶

مقاله کوتاه

چکیده

مقدمه: یکی از مهم‌ترین مشکلات بیماران بستری در بخش‌های مراقبت ویژه، ابتلا به عفونت‌های بیمارستانی است که منجر به مصرف بی‌رویه‌ی آنتیبیوتیک در این بخش‌ها می‌گردد. جهت رفع این مشکل تا کنون راهکارهای متعددی ارایه شده است که استقرار متخصصین عفونی در این بخش‌ها یکی از آن‌ها است. از این‌رو، مطالعه‌ی حاضر با هدف بررسی و مقایسه‌ی میزان مصرف آنتیبیوتیک در بخش مراقبت‌های ویژه مرکز آموزشی-درمانی الزهرا (س) در قبل و بعد از استقرار متخصصین عفونی در این بخش بود.

روش‌ها: این مطالعه یک مطالعه‌ی توصیفی-تحلیلی بود که در سال ۱۳۹۳ به انجام رسید. در این مطالعه، میزان مصرف آنتیبیوتیک در طول سال ۱۳۸۸ (قبل از استقرار متخصصین عفونی در بخش‌های مراقبت‌های ویژه) و در طول سال ۱۳۹۱ (بعد از اجرای طرح استقرار این متخصصین) تعیین و نتایج به دست آمده با نرم‌افزار SPSS تجزیه و تحلیل شد.

یافته‌ها: از ۳۹ قلم آنتیبیوتیک مورد بررسی، پس از اجرای طرح استقرار متخصصین عفونی در بخش مراقبت‌های ویژه، میزان مصرف ۲۳ آنتیبیوتیک (۵۳/۸ درصد) افزایش یافت و میزان مصرف ۱۶ آنتیبیوتیک (۴۶/۲ درصد) کاهش یافت و اختلاف معنی‌داری بین میزان مصرف آنتیبیوتیک در قبل و بعد از اجرای طرح، مشاهده نشد.

نتیجه‌گیری: استقرار متخصصین عفونی در بیمارستان و ویزیت و مراقبت بیماران این بخش، منجر به محدود شدن مصرف برخی آنتیبیوتیک‌ها و استفاده‌ی درست و بهجا از آنتیبیوتیک‌های وسیع‌الطیف در بیمارستان شد. از این‌رو، استمرار و توسعه می‌تواند در جهت کاهش میزان مقاومت آنتیبیوتیکی در بیمارستان مؤثر باشد.

وازگان کلیدی: آنتیبیوتیک، بخش مراقبت ویژه، متخصص عفونی

ارجاع: مصطفوی‌زاده کامیار، عطایی بهروز، آزاد رویا، پیرحاجی امید، مهرابی کوشکی علی، صادقیان حمیدرضا. بررسی توزیع فراوانی آنتیبیوتیک‌های مصرف شده در بخش مراقبت‌های ویژه مرکز آموزشی-درمانی الزهرا (س) در قبل و بعد از استقرار متخصصین عفونی در بیمارستان. مجله دانشکده پزشکی اصفهان ۱۳۹۳؛ ۳۲ (۳۰۶): ۱۸۰-۱۷۹۷.

- ۱- دانشیار، گروه عفونی، دانشکده‌ی پزشکی و مرکز تحقیقات عفونت‌های بیمارستانی، دانشگاه علوم پزشکی اصفهان، ایران
- ۲- دانشیار، گروه عفونی، دانشکده‌ی پزشکی و مرکز تحقیقات بیماری‌های عفونی و گرمیسری، دانشگاه علوم پزشکی اصفهان، ایران
- ۳- دانشجوی پزشکی، دانشکده‌ی پزشکی و کمیته‌ی تحقیقات دانشجویی، دانشگاه علوم پزشکی اصفهان، اصفهان، ایران
- ۴- اپیدمیولوژیست، دانشکده‌ی پزشکی، دانشگاه علوم پزشکی اصفهان، اصفهان، ایران

Email: thebluedream2003@yahoo.com

نویسنده‌ی مسؤول: رویا آزاد

برای (Antibiotic stewardship program)

جلوگیری از این مشکل تدوین شده‌اند (۷). نظارت بر تجویز آنتی بیوتیک بر اساس انتخاب نوع دارو، دز تجویز شده و طول مدت مصرف آن در جهت رسیدن به اهداف پیشگیری و درمانی انجام می‌شود. به طور ایده‌آل، وقتی این نتایج حاصل می‌شود که عوارض جانبی داروها که با آن مواجه می‌شویم، کمتر باشد و همچنین خطر مقاومت به آنتی بیوتیک‌ها هم کمتر باشد.

نظارت بر تجویز آنتی بیوتیک‌ها به طور مستقیم در ICU‌ها اجرا می‌شود؛ چرا که مشخص شده است که رژیم درمانی نامناسب در ICU، منجر به افزایش مرگ و میر می‌شود (۸).

یکی از نگرانی‌های بزرگ در مورد عفونت‌ها، بروز آن‌ها در افراد بسیار بدهال بستری در ICU‌ها است؛ چرا که در این بیماران، میزان مرگ و میر بالاتر است. کنترل دقیق و نظارت بر تجویز آنتی بیوتیک‌ها در ICU، از اهمیت بسیاری برخوردار است. به همین علت، برنامه‌های نظارت بر تجویز آنتی بیوتیک‌ها هم اکنون در بخش‌های مراقبت ویژه در حال اجرا می‌باشد، تا مصرف نابهجه‌ای آنتی بیوتیک در بیماران بستری کاهش یابد (۹). بر اساس موارد پیش‌گفته، نظارت دقیق بر تجویز آنتی بیوتیک‌ها علاوه بر این که از عوارض و تداخلات دارویی ناخواسته می‌کاهد، موجب کاهش هزینه‌ی سنگین درمانی برای بیمار و همچنین جلوگیری از ظهور ارگانیسم‌های مقاوم به آنتی بیوتیک می‌شود و از به وجود آمدن یک بحران جهانی جلوگیری می‌کند.

در این راستا از چندین سال قبل، طرح استقرار متخصصین عفونی در برخی بیمارستان‌ها و مراکز

مقدمه

عفونت یکی از مشکلات هر روزه در بخش‌های مراقبت ویژه است و به همین علت، آنتی بیوتیک‌ها از داروهای پر مصرف در این بخش‌ها می‌باشند. گذشته از درمان عفونت‌ها، آنتی بیوتیک‌ها به عنوان پروفیلاکسی با هدف جلوگیری یا محدود کردن بیماری‌های عفونی در بیماران به شدت بدهال نیز استفاده می‌شوند (۱). برای استفاده‌ی درست از آنتی بیوتیک‌ها در بخش‌های مراقبت ویژه، باید به مسایلی از قبیل Out come بالینی بیمار، کنترل ظهور میکرو ارگانیسم‌های مقاوم و همچنین میزان هزینه‌ی بری توجه شود (۱).

بر طبق یک مطالعه، میزان آنتی بیوتیک مصرفی در بخش مراقبت‌های ویژه، ۱۰ برابر بخش‌های عمومی بوده است (۲). مطالعات بالینی متعددی نشان داده‌اند که ۵۰ درصد از آنتی بیوتیک‌های مصرفی در ICU (Intensive care unit) نامناسب هستند (۳). چندین مطالعه نیز نشان داده است که سابقه‌ی تماس قبلی با آنتی بیوتیک‌ها با افزایش کلونیزاسیون باکتری‌ها و عفونت با ارگانیسم‌های مقاوم به آنتی بیوتیک ارتباط دارد (۴).

استفاده‌ی گسترده از آنتی بیوتیک‌ها در ICU، یکی از دلایل اصلی به وجود آمدن عفونت‌های بیمارستانی در اثر باکتری‌های گرم منفی است (۵). ظهور میکرو ارگانیسم‌های مقاوم به آنتی بیوتیک در بیماران بدهال، چالشی برای پزشکان بخش مراقبت‌های ویژه محسوب می‌شود (۶). یکی از مؤثرترین راه‌ها در جهت کاهش باکتری‌های مقاوم، تجویز منطقی و صحیح آنتی بیوتیک‌ها است. به همین علت، استراتژی‌های متعددی از جمله ASP

قطع آنتی بیوتیک‌ها تصمیم‌گیری می‌نمایند. روش اجرای طرح بدین صورت بود که با مراجعه‌ی پژوهشگر به واحد امور دارویی مرکز آموزشی-درمانی الزهرا (س)، با استفاده از بانک اطلاعات دارویی این واحد، کلیه‌ی آنتی بیوتیک‌های مصرفی در بخش مراقبت‌های ویژه در سال‌های ۱۳۸۸ و ۱۳۹۱ استخراج و در چک لیست ویژه‌ای که به همین منظور تهیه شده بود، ثبت گردید.

داده‌های مطالعه بعد از جمع‌آوری وارد رایانه شد و به کمک نرم‌افزار SPSS نسخه‌ی ۲۲ (version 22, SPSS Inc., Chicago, IL) مورد تجزیه و تحلیل قرار گرفت. جهت تحلیل داده‌ها از آزمون آماری t زوجی استفاده شد.

یافته‌ها

در این مطالعه، ۳۹ مورد از آنتی بیوتیک‌های مصرف شده در بخش مراقبت‌های ویژه در دو مقطع زمانی سال‌های ۱۳۸۸ و ۱۳۹۱ مورد بررسی قرار گرفت. تعداد کل اقلام آنتی بیوتیک مصرفی در سال ۱۳۸۸ شامل ۳۱ قلم و در سال ۱۳۹۹ شامل ۳۴ قلم بود و ۸ قلم دارو (۲۳/۷ درصد) قبل از مداخله و ۵ قلم (۱۳/۲ درصد) بعد از مداخله مصرف نداشت. علل عدم مصرف این داروها در دو مقطع زمانی پیش‌گفته، در قسمت بحث مورد تجزیه و تحلیل مطرح می‌شود. در جدول ۱، توزیع فراوانی نوع داروهای مصرفی در قبل و بعد از استقرار متخصصین عفونی آمده است. مجموع کل آنتی بیوتیک‌های مصرفی در سال ۱۳۸۸ (قبل از استقرار متخصصین عفونی) ۱۹۱۰۲۵۴۰ واحد و در سال ۱۳۹۱ (بعد از استقرار متخصصین عفونی) ۲۷۵۲۹۷۹۸ واحد بود (شکل ۱).

آموزشی-درمانی به اجرا در آمد، اما تا کنون مطالعه‌ای به منظور ارزشیابی تأثیر استقرار متخصصین عفونی در کاهش مصرف بی‌رویه‌ی آنتی بیوتیک‌ها انجام نگرفته است. از این رو، مطالعه‌ی حاضر با هدف تعیین تأثیر حضور و نظارت متخصصین عفونی در کاهش مصرف بی‌رویه‌ی آنتی بیوتیک‌ها در بخش مراقبت‌های ویژه‌ی بیمارستان الزهرا (س) در سال ۱۳۹۳ به انجام رسید.

روش‌ها

این مطالعه، یک مطالعه‌ی توصیفی-تحلیلی از نوع قبل و بعد بود که در سال‌های ۱۳۸۸ و ۱۳۹۱ در مرکز آموزشی-درمانی الزهرا (س) اصفهان به انجام رسید. جامعه‌ی آماری مورد مطالعه شامل آنتی بیوتیک‌های مصرفی در این دو مقطع زمانی در بیمارستان محل مطالعه بود.

معیارهای ورود به مطالعه شامل آنتی بیوتیک مصرفی در یک یا دو مقطع زمانی مورد اشاره و وجود آمار مصرف آنتی بیوتیک در واحد امور دارویی مرکز آموزشی-درمانی الزهرا (س) و امکان دسترسی به آمار آنتی بیوتیک‌های مصرفی بود.

نمونه‌گیری در این مطالعه، به شیوه‌ی سرشماری بود و طی آن، کلیه‌ی آنتی بیوتیک‌های مصرفی در طول سال ۱۳۸۸ (قبل از اجرای طرح استقرار متخصصین عفونی در بیمارستان) و سال ۱۳۹۱ (۳ سال بعد از استقرار متخصصین عفونی) بود.

در طرح استقرار متخصصین عفونی، هر کدام از اعضای هیأت علمی گروه عفونی به مدت یک ماه فقط بیماران ICU را ویزیت می‌کنند و به صورت روزانه، در صورت لزوم در خصوص ادامه، تغییر یا

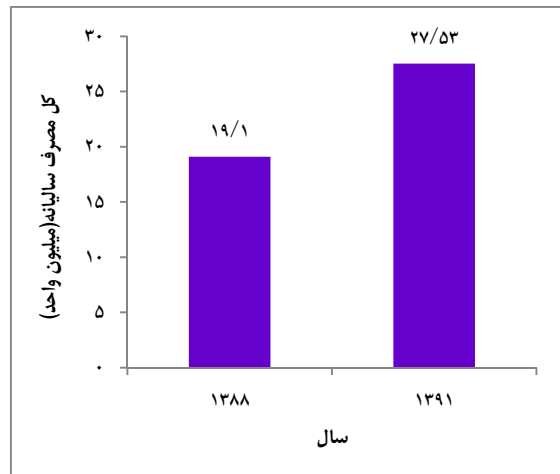
برابر نتایج بدست آمده، در بعد از اجرای طرح استقرار متخصصین عفونی، مصرف آنتی بیوتیک در ۲۱ مورد (۵۳/۸ درصد) کاهش یافت و در ۱۸ مورد (۱۸/۰ درصد) افزایش یافت و بر حسب آزمون χ^2 مصرف انواع آنتی بیوتیک در دو مقطع زمانی اختلاف معنی دار داشت ($P < 0.001$).

در جدول ۱، مقدار آنتی بیوتیک مصرفی به تفکیک نوع آنتی بیوتیک در قبل و بعد از استقرار متخصصین عفونی آمده است. بر اساس این جدول، پر مصرف ترین دارو در قبل از استقرار متخصصین عفونی مروپین با فراوانی مصرف ۳۲۸۹۵۰۰ واحد و در بعد از استقرار، سفتازیدیم با فراوانی ۶۴۲۷۰۰۰ عدد بود.

بحث

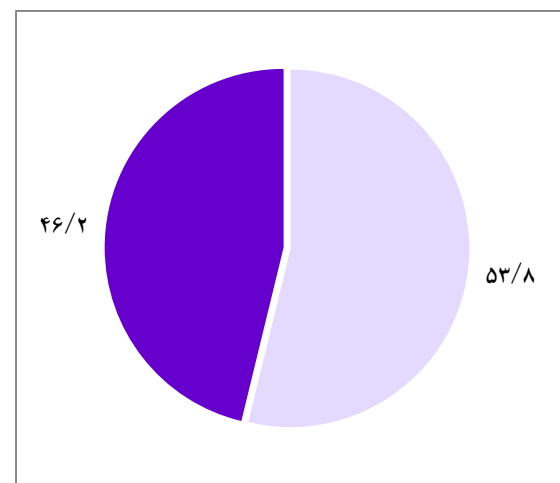
هدف کلی از انجام این مطالعه، مقایسه‌ی توزیع فراوانی آنتی بیوتیک‌های مصرف شده در بخش مراقبت‌های ویژه‌ی بیمارستان الزهرا (س) در قبل و بعد از استقرار متخصصین عفونی بود. بر اساس نتایج به دست آمده از این مطالعه، از مجموع ۳۹ قلم آنتی بیوتیک در سال ۱۳۸۸، مصرف ۸ قلم دارو شامل تارگوسید، ریفامپین، سفپیم، کلاریتروموایسین، افلوکساسیلین، آموکسی سیلیسین، اتمابوتول و کوآموکسی کلاو صفر بوده است. همچنین میزان مصرف ۵ قلم دارو شامل آمفوتیریسین، B، فلوکونازول، آسیکلورویر و مترونیدازول در سال ۱۳۹۱، صفر بود.

عدم مصرف آنتی بیوتیک‌های ذکر شده در قبل و بعد از اجرای طرح حضور متخصصین عفونی، می‌تواند به دلایل مختلفی از جمله کمبود آنتی بیوتیک‌ها در بازار دارویی، عدم اندیکاسیون



شکل ۱. کل مصرف سالیانه آنتی بیوتیک در قبل و بعد از استقرار متخصصین عفونی

میانگین مصرف سالیانه‌ی هر آنتی بیوتیک در قبل از اجرای طرح استقرار پزشک متخصصین عفونی، 48980.9 ± 94127.4 واحد و در بعد از استقرار متخصصین عفونی، 70589.2 ± 16781.8 واحد بود. طبق آزمون t زوجی، اختلاف معنی داری در میانگین مصرف سالیانه‌ی هر آنتی بیوتیک در قبل و بعد از استقرار متخصصین عفونی وجود نداشت ($P = 0.290$). (شکل ۲).



شکل ۲. درصد فراوانی تغییرات مصرف انواع آنتی بیوتیک در قبل و بعد از استقرار متخصصین عفونی

جدول ۱. توزیع مصرف آنتی بیوتیک در بخش مراقبت ویژه در قبل و بعد از استقرار متخصصین عفونی

آنتی بیوتیک	قبل استقرار	بعد استقرار	آنتی بیوتیک	قبل استقرار	بعد استقرار
آمفوتیریسین B	۲۷۰۰	۰	ایمی پن	۹۵۷۲۵۰	۲۰۹۵۰۰
آمپی سیلین	۴۰۸۰۰	۱۷۴۲۵۰	ایزو نیازید	۳۵۰۰	۴۷۰۰
سفازولین	۲۷۳۷۴۰۰	۱۴۴۷۵۰۰	مرپن	۳۲۸۹۵۰۰	۶۰۰۴۵۰۰
آزیترومایسین	۳۴۰۰۰	۱۴۱۰۰	مترونیدازول	۳۳۴۳۵۰	۰
آمیکاسین	۳۰۴۸۰	۱۸۲۰۰۰	نیترو فوراتنوثین	۱۲۰۰	۵۳۶۷۰۰
سفیکسیم	۴۸۰۰	۲۳۴۰۰	پنی سیلین G (واحد)	۷۸۰۰۰۰۰	۱۱۸۰۰۰۰۰
سفوتاکسیم	۱۱۰۵۰۰	۳۷۰۰۰	تاژوسین	۲۶۰۷۷۵۰	۹۱۴۶۲۵
سفنازیدیم	۵۲۹۵۰۰	۶۴۲۷۰۰۰	وانکومایسین	۳۰۱۴۰۰۰	۶۳۸۰۰۰
سفتی زوکسیم	۲۰۲۶۵۰۰	۵۹۵۸۰۰۰	آمپی سولباقاتام	۷۳۵۰۰	۱۴۵۵۰۰
سفتریاکسون	۱۵۲۶۵۰۰	۱۶۳۵۵۰۰	تتراسیکلین	۸۵۰۰	۲۵۰۰
سفالکسین	۳۴۵۰۰	۲۱۵۰۰	آسیکلولوپر	۴۹۵۰۰	۹۷۲۰۰
سپیروفلوکساسین	۵۸۰۶۰۰	۷۳۱۶۵۰	تار گوسید	۰	۹۷۲۰۰
کلیندا مایسین	۸۳۲۸۰۰	۶۴۳۲۰۰	ریفامپین	۰	۲۵۹۵۰
کلو گراسیلین	۳۸۷۵۰	۳۶۲۵۰	سفی پن	۰	۷۴۹۰۰
کوتریمو کسازول	۱۳۳۴۴۰	۵۱۸۴۰	کلاریترومایسین	۰	۵۵۰۰
داکسی سیکلین	۶۰۰	۱۳۰۰	افلو کساسین	۰	۹۲۰۰
اریترومایسین	۷۹۶۰	۳۴۷۲۰۰	آموکسی سیلین	۰	۲۳۷۵۰
فلو کونازول	۶۹۱۰۰	۰	اتامیبو تول	۰	۴۰۰
آسیکلولوپر	۹۵۰۰	۰	کو آموکسی کلاو	۰	۲۵۶۲۵
جنتاما مایسین	۲۰۷۸۰	۱۴۸۴۰			

آنٹی بیوتیک به عنوان پروفیلاکسی در بیماران بستری در ICU می باشد؛ به طوری که بر اساس نتایج مطالعه‌ی حاضر، مجموع کل آنتی بیوتیک‌های مصرفی در سال ۱۳۹۱ که توسط متخصصین عفونی تجویز گردید، نسبت به سال ۱۳۸۸ که تجویز آنتی بیوتیک توسط متخصصین دیگر رشته‌ها انجام گرفت، به میزان ۶۵۳۵۷۲۰۸۰ واحد (معادل ۱۸/۲ درصد) کاهش داشت که این دستاورد، علاوه بر جلوگیری از گسترش مقاومت آنتی بیوتیکی، با کاهش چشمگیر هزینه‌های بیمارستانی بیماران بستری در بخش مراقبت‌های ویژه همراه بود.

از طرف دیگر، تعدادی از آنتی بیوتیک‌های

صرف آن‌ها در بیماران بستری در بخش‌های مراقبت ویژه، تغییر پروتکل‌های پروفیلاکسی و درمان و از همه مهم‌تر، تجویز آنتی بیوتیک به صورت تخصصی و بر حسب آزمایش‌های آنتی بیوگرام باشد. به عنوان مثال، مصرف تار گوسید، ریفامپین، سفیم، کلاریترومایسین، افلو کساسیلین، آموکسی سیلیسین، اتامیبو تول و کو آموکسی کلاو در بعد از استقرار متخصصین عفونی، به علت تخصصی بودن این آنتی بیوتیک‌ها و تجویز آن‌ها به وسیله‌ی متخصصین عفونی مستقر در بیمارستان‌ها بوده است.

نکته‌ی حائز اهمیت دیگر در خصوص استقرار متخصصین عفونی، جلوگیری از مصرف بی‌رویه‌ی

کلوزیاسیون باکتری‌ها و عفونت با ارگانیسم‌های مقاوم به آنتیبیوتیک ارتباط دارد (۴).

همچنین استفاده‌ی گسترده از آنتیبیوتیک‌ها در ICU‌ها یکی از دلایل اصلی به وجود آمدن عفونت‌های بیمارستانی در اثر باکتری‌های گرم منفی است (۱۱-۱۲، ۵) و ظهور میکرو ارگانیسم‌های مقاوم به آنتیبیوتیک در بیماران بدهال چالشی برای پزشکان ICU‌ها محسوب می‌شود (۱۳-۱۴).

بنابر یافته‌های مطالعه‌ی حاضر، مصرف تعدادی از آنتیبیوتیک‌ها در بعد از استقرار متخصصین کاهش یافت و در مقابل، مصرف تعدادی دیگر افزایش یافت که در خصوص این تغییرات، علاوه بر نقش استقرار متخصصین، عوامل دیگری همچون تغییرات قیمت دارو، وجود دارو در بازار دارویی، ورود آنتیبیوتیک‌های جدید، تفاوت شیوع انواع بیماری‌ها با توجه به سال و فصل و اختلاف نظرهای موجود بین متخصصین در آن دخیل هستند.

از طرف دیگر، هدف از طرح استقرار متخصصین عفونی، کاهش سرانه‌ی مصرف آنتیبیوتیک در بخش مراقبت‌های ویژه نبود؛ بلکه هدف، مصرف به‌جا و منطقی دارو بود. از این‌رو، افزایش کمی مصرف دارو، دلیل بر بدتر شدن مدیریت مصرف دارو نیست. نتیجه‌گیری کلی این که استقرار متخصصین عفونی در بیمارستان و ویزیت و مراقبت بیماران این بخش، منجر به محدود شدن مصرف برخی آنتیبیوتیک‌ها و استفاده‌ی درست و به‌جا از آنتیبیوتیک‌های وسیع‌الطیف در بیمارستان می‌شود و استمرار و توسعه می‌تواند در جهت کاهش میزان مقاومت آنتیبیوتیکی در بیمارستان مؤثر باشد.

عمولی مانند آموکسی سیلین، آمپی سیلین، اریتروماسین، داکسی ساکلین و کواموکسی کلاو در سال ۱۳۸۸ هیچ مصرفی در بخش مراقبت‌های ویژه نداشتند؛ بدین مفهوم که متخصصین غیر عفونی اغلب از آنتیبیوتیک‌های قوی و وسیع‌الطیف استفاده نموده‌اند. در صورتی که برای تعدادی از بیماران، مصرف آنتیبیوتیک وسیع‌الطیف ضروری نبوده و آنتیبیوتیک‌های عمولی و غیر وسیع‌الطیف در آن‌ها مورد استفاده قرار گرفته است.

آنتیبیوتیک‌ها جزء پر مصرف‌ترین داروها هستند و به طور متوسط در کشورهای در حال توسعه، ۳۵ درصد از کل بودجه‌ی اختصاص یافته به بخش سلامت برای آنتیبیوتیک‌ها صرف می‌شود (۹). در حالی که بسیاری از موارد تجویز آنتیبیوتیک غیر ضروری است و علاوه بر افزایش هزینه‌های بستری و توسعه‌ی مقاومت آنتیبیوتیکی، موجب ایجاد عوارض ناخواسته‌ی دارویی از جمله واکنش‌های افزایش حساسیتی، عوارض کلیوی، عوارض ریوی و عوارض دستگاه عصبی مرکزی می‌گردد (۱۰).

برای استفاده‌ی درست از آنتیبیوتیک‌ها در بخش مراقبت‌های ویژه، باید به مسایلی از قبیل پیاپین بالینی بیمار، کترول ظهور میکرو ارگانیسم‌های مقاوم و همچنین میزان هزینه‌بری توجه شود (۱). بر اساس مطالعه‌ی Bergmans و همکاران، میزان آنتیبیوتیک مصرفی در ICU‌ها، ۱۰ برابر بخش‌های عمومی است (۲). مطالعات بالینی متعددی نیز نشان داده‌اند که ۵۰ درصد از آنتیبیوتیک‌های مصرفی در ICU‌ها نامناسب هستند (۳). چندین مطالعه نشان داده است که سابقه‌ی تماس قبلی با آنتیبیوتیک‌ها با افزایش

انجام این طرح پژوهشی مبذول داشتند سپاسگزاری
می نماییم.

تشکر و قدردانی

بدین وسیله از معاونت تحقیقات و فناوری دانشگاه
علوم پزشکی اصفهان که نهایت همکاری خود را در

References

- Malacarne P, Rossi C, Bertolini G. Antibiotic usage in intensive care units: a pharmacoepidemiological multicentre study. *J Antimicrob Chemother* 2004; 54(1): 221-4.
- Bergmans DC, Bonten MJ, Gaillard CA, van Tiel FH, van der Geest S, de Leeuw PW, et al. Indications for antibiotic use in ICU patients: a one-year prospective surveillance. *J Antimicrob Chemother* 1997; 39(4): 527-35.
- Lee KR, Leggiadro RJ, Burch KJ. Drug use evaluation of antibiotics in a pediatric teaching hospital. *Infect Control Hosp Epidemiol* 1994; 15(11): 710-2.
- De AG, Restuccia G, Cauda R, Tacconelli E. How could we reduce antibiotic use in critically ill patients? *Infect Disord Drug Targets* 2011; 11(4): 376-83.
- Gruson D, Hilbert G, Vargas F, Valentino R, Bebear C, Allery A, et al. Rotation and restricted use of antibiotics in a medical intensive care unit. Impact on the incidence of ventilator-associated pneumonia caused by antibiotic-resistant gram-negative bacteria. *Am J Respir Crit Care Med* 2000; 162(3 Pt 1): 837-43.
- McGowan JE, Jr. Do intensive hospital antibiotic control programs prevent the spread of antibiotic resistance? *Infect Control Hosp Epidemiol* 1994; 15(11): 710-2.
- Epidemiol 1994; 15(7): 478-83.
- Murray BE. Can antibiotic resistance be controlled? *N Engl J Med* 1994; 330(17): 1229-30.
- Arnold HM, Micek ST, Skrupky LP, Kollef MH. Antibiotic stewardship in the intensive care unit. *Semin Respir Crit Care Med* 2011; 32(2): 215-27.
- Isturiz RE, Carbon C. Antibiotic use in developing countries. *Infect Control Hosp Epidemiol* 2000; 21(6): 394-7.
- Ziment I. Complications of antibiotic therapy. *Calif Med* 1972; 117(5): 24-48.
- Carey B, Cryan B. Antibiotic misuse in the community--a contributor to resistance? *Ir Med J* 2003; 96(2): 43-4, 46.
- WHO reports. Available from: URL: <http://www.euro.who.int/en/what-we-do/health-topics/disease-prevention/antimicrobial-resistance/antibiotic-resistance>.
- World Health organization. The top 10 causes of death. The 10 leading causes of death by broad income group [Online]. [cited 2008]; Available from: URL:<http://www.who.int/mediacentre/factsheet/s/fs310/en>
- Conly J. Antimicrobial resistance in Canada. *CMAJ* 2002; 167(8): 885-91.

The Effect of Infectious Disease Specialists Deployment Plan on Using Antibiotics in Alzahra Hospital, Isfahan, Iran

Kamyar Mostafavizadeh MD¹, Behrouz Ataei MD², Roya Azad³, Omid Pirhaji³, Ali Mehrabi Koushki MSc⁴, Hamidreza Sadeghian³

Short Communication

Abstract

Background: One of the most prevalent problems among hospitalized patients in intensive care units (ICUs) is infectious diseases that lead to high usage of antibiotics. This study was designed to evaluate the antibiotic usage in intensive care units of Alzahra Hospital, Isfahan, Iran, before (in 2010) and after (in 2014) the presence of infectious disease specialists.

Methods: In a cross-sectional study, we measured the total rate of antibiotics usage in intensive care units of Alzahra Hospital in 2010 and 2014. SPSS₂₂ software was used for the statistical analysis.

Findings: Of the 39 evaluated antibiotics, use of 23 antibiotics (53.8%) were increased and of 16 (46.2%) were decreased after infectious disease specialists arrival. There was not a significant statistical difference between the mean of antibiotics consumption in 2010 and 2014 ($P = 0.29$).

Conclusion: We suggest that additional studies should be performed to evaluate the causes of increasing usage of some antibiotics consumption and decreasing of others such as price, indication and contraindications, and access of antibiotics.

Keywords: Antibiotic, Intensive care unit, Infectious disease specialist

Citation: Mostafavizadeh K, Ataei B, Azad R, Pirhaji O, Mehrabi Koushki A, Sadeghian H. **The Effect of Infectious Disease Specialists Deployment Plan on Using Antibiotics in Alzahra Hospital, Isfahan, Iran.** J Isfahan Med Sch 2014; 32(306): 1797-804

1- Associate Professor, Department of Infectious Diseases, School of Medicine AND Nosocomial Infection Research Center, Isfahan University of Medical Sciences, Isfahan, Iran

2- Associate Professor, Department of Infectious Diseases, School of Medicine AND Infectious Diseases and Tropical Medicine Research Center, Isfahan University of Medical Sciences, Isfahan, Iran

3- Student of Medicine, School of Medicine AND Student Research Committee, Isfahan University of Medical Science, Isfahan, Iran

4- Epidemiologist, School of Medicine, Isfahan University of Medical Science, Isfahan, Iran

Corresponding Author: Roya Azad, Email: thebluedream2003@yahoo.com

errors author should verify references against the original documents. The Reference should provide the following information as stated in the presented models as follows:

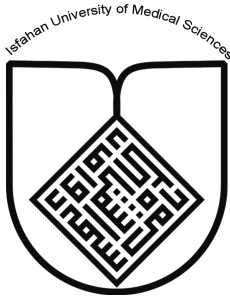
- a. **Article:** Rose ME, Huerbin MB, Melick J, Marion DW, Palmer AM, Schiding JK, et al. Regulation of interstitial excitatory amino acid concentrations after cortical contusion injury. *Brain Res.* 2002;935(1-2):40-6.
 - b. **Chapter in a book:** Meltzer PS, Kallioniemi A, Trent JM. Chromosome alterations in human solid tumors. In: Vogelstein B, Kinzler KW, editors. *The genetic basis of human cancer*. New York: McGraw-Hill; 2002. p. 93-113.
 - c. **Book:** Murray PR, Rosenthal KS, Kobayashi GS, Pfaller MA. *Medical microbiology*. 4th ed. St. Louis: Mosby; 2002.
14. **Proof Reading:** A computer prints out is sent to the corresponding author for proof reading before publication in order to avoid any mistakes. Corrections should be marked clearly and sent immediately to the Journal office.
 15. **Abbreviations and symbols:** Use only standard abbreviations. **Avoid using them in the title and abstract.** The full term for which an abbreviation stands should precede its first use in the text unless it is a standard unit of measurement.
 16. The **corresponding author:** Will be supplied with 1 free issue.
 17. **Ethical guidelines:** Ethical considerations must be addressed in the Materials and Methods. Please state that **informed consent** was obtained from all human adult participants and from the parents or legal guardians of minors. Include the name of the appropriate institutional review board that approved the project. Indicate in the text that the maintenance and care of experimental animals complies with National Institutes of Health guidelines for the humane use of laboratory animals, or those of your Institute or agency.
 18. **Conflicts of interest:** Authors must acknowledge and declare any sources of funding and potential conflicting interest, such as receiving funds or fees by, or holding stocks and shares in, an organization that may profit or lose through publication of your paper. Declaring a competing interest will not lead to automatic rejection of the paper, but we would like to be made aware of it.
 19. **Page charges:** There are no charges for publication in this Journal.
 20. **Copyright:** The entire contents of the Journal of Isfahan Medical School are protected under international copyrights. This Journal is for your personal noncommercial use. You may not modify copy, distribute, transmit, display, or publish any materials contained on the Journal without the prior written permission of it or the appropriate copyright owner.
 21. **Peer review process:** All manuscripts are considered to be confidential. They are peer-reviewed by at least 3 anonymous reviewers selected by the Editorial Board. The corresponding author is notified as soon as possible of the editor decision to accept, reject, or require modifications. If the manuscript is completely acceptable according to the criteria set forth in these instructions, it is scheduled for the next available issue.
 22. Journal has entire right for accept or reject any of received manuscripts.
 23. The editors, editorial board, sponsoring organization, and publisher do not accept responsibility for the statements expressed by authors in their contributions.
 24. **Communicating with the Editorial Office:** We encourage you to communicate with the JIMS Editorial Office and to check on the status of a manuscript via journal site: (<http://journals.mui.ac.ir/jims>) only. For more in formations you can contact with JIMS office via E-mail address (jims@med.mui.ac.ir).

INSTRUCTION TO AUTHORS

1. **Aims and Scope:** The Journal of Isfahan Medical School is the official scientific **weekly** publication of the Faculty of Medicine in Isfahan Medical Sciences University.
This Journal accepts Original Papers, Review Articles, Case Reports, Short Communications, Educational Medical Video Clips and Letters to the Editor on all aspects of medicine.
2. **Manuscript Submission is acceptable only via Journal URL: <http://journals.mui.ac.ir/jims>**
Manuscript must be accompanied by a covering letter to the Editor-in-Chief, including title and author(s) name and undertaking that it has not been published or submitted elsewhere. In case the manuscript was earlier submitted to some other Journal and was rejected, the authors must provide full information for proper analysis. Manuscript should be typed in double space of the A-4 size paper with clear margins on both sides. The text should be submitted in Microsoft Word format only. Tables as well as illustrations should be typed and drawn on a separate pages. Do not submit tables as photographs.
The figures should be sent in a format of JPEG or GIF which will produce high quality images in the online edition of the journal. Authors must declare that it is being exclusively contributed to the Journal of Isfahan Medical School.
3. The manuscript should include: **Title page, the Abstract** (in both Farsi and English), **Introduction, Materials & Methods, Results, Discussion, Acknowledgement and References.**
4. **The title page:** The complete title of the manuscript, the name of all the authors with their highest qualifications, the department or institution to which they are attached, address for correspondence with telephone numbers, e-mail, and Fax number.
5. The **Abstract:** All original articles must accompany a structured abstract up to 250 words. It should be structured as **Background, Methods, Results** and **Conclusion** followed by **3 to 5 Keywords**. Keywords will assist indexers in cross indexing the article as they are published with abstract. Use terms from the Medical Subject Headings (MeSH) list of index medicus (<http://www.nlm.nih.gov/mesh/MBrowser.html>). Authors need to be careful that the abstract reflects the content of the article accurately.
6. **Introduction:** This should summarize the purpose and the rationale for the study. It should neither review the subject extensively nor should it have data or conclusions of the study.
7. **Materials & Methods:** This should include exact method or observation or experiment. If an apparatus is used, its manufacturer's name and address should be given in parenthesis. If the method is established, give reference but if the method is new, give enough information so that another author is able to perform it. If a drug is used, its generic name, dose and route of administration must be given. For patients, age, sex with mean age ± standard deviation must be given. Statistical method must be mentioned and specify any general computer program used.
8. **Results:** It must be presented in the form of text, tables and illustrations. The contents of the tables should not be all repeated in the text. Instead, a reference to the table number may be given. Long articles may need sub-headings within some sections (especially the Results and Discussion parts) to clarify their contents.
9. **Discussion:** This should emphasize the present findings and the variations or similarities with other work done in the field by other workers. The detailed data should not be repeated in the discussion again. Emphasize the new and important aspects of the study and the conclusions that follow from them. It must be mentioned whether the hypothesis mentioned in the article is true, false or no conclusions can be derived.
10. **Acknowledgement:** All contributors who do not meet the criteria for authorship should be covered in the acknowledgement section. It should include persons who provided technical help, writing assistance and departmental head who only provided general support. Financial and material support should also be acknowledged.
11. **Tables:** In limited numbers should be submitted with the **captions placed above**. Do not submit tables as photograph. Place explanatory matters in footnotes, not in the heading.
12. **Figures:** Should be in limited numbers, with high quality art work and mounted on separate pages. The captions **should be placed below**. The same data should not be presented in tables, figures and text, simultaneously.
13. **References:** Should be as **Vancouver style**. All manuscripts should be accompanied by relevant references. The author should ensure reference to locally published studies by doing proper literature search. It may not be possible for the editor and reviewers to check the accuracy of all reference citations. To minimize such

Editorial Board (In alphabetical order)

1. **Mojtaba Abtahi** MD, Associate Professor of Otolaryngology, Isfahan University of Medical Sciences, Isfahan, Iran
2. **Khosrow Adeli** PhD, Professor of Clinical Biochemistry, University of Toronto, Toronto, Canada
3. **Mohammad Esmaeil Akbari** MD, Professor of Thoracic Surgery, Tehran University of Medical Sciences, Tehran, Iran
4. **Reza Amin** MD, Professor of Pediatrics, Shiraz University of Medical Sciences, Shiraz, Iran
5. **Babak Amra** MD, Professor of Pulmonology, Isfahan University of Medical Sciences, Isfahan, Iran
6. **Saeid Andalib Jortani** MD, Professor of Pathology, Leuis Weil University, USA
7. **Gholam Reza Askari** MD, PhD of Nutrition, Isfahan University of Medical Sciences, Isfahan, Iran
8. **Reza Bagherian-Sararoudi** PhD, Assistant Professor of Psychiatry, Isfahan University of Medical Sciences, Isfahan, Iran
9. **Majid Barekatain** MD, Associate Professor of Psychiatry, Isfahan University of Medical Sciences, Isfahan, Iran
10. **Ken Bassett** MD, Professor of Dermatology, Dermatology and Leshmaniosis Research Center, Canada
11. **Ahmad Chitsaz** MD, Associate Professor of Neurology, Isfahan University of Medical Sciences, Isfahan, Iran
12. **Afsoon Emami** MD, Associate Professor of Nephrology, Isfahan University of Medical Sciences, Isfahan, Iran
13. **Ali Reza Emami** MD, Associate Professor of Infectious Diseases, Isfahan University of Medical Sciences, Isfahan, Iran
14. **Shahin Emami** Biochemistry and Endocrinology, Saint Antoine Hospital, France
15. **Ebrahim Esfandiary** MD, PhD, Professor of Medical Anatomy, Isfahan University of Medical Sciences, Isfahan, Iran
16. **Faramarz Esmaeil beigi** MD, Professor of Internal Medicine, School of Medicine, USA
17. **Ziba Farajzadegan** MD, Associate Professor of Community Medicine, Isfahan University of Medical Sciences, Isfahan, Iran
18. **Hamid Fesharaki** Associate Professor of Ophthalmology, Isfahan University of Medical Sciences, Isfahan, Iran
19. **Marjane Foladi** PhD of Nursing, University of Flourida, USA
20. **Aziz Gahari** MD, Professor of Dermatology, Dermatology and Leshmaniosis Research Center, Canada
21. **Ali Gheisari** MD, Professor of Cardiovascular Surgery, California, USA
22. **Jafar Golshahi** MD, Associate Professor of Cardiology, Isfahan University of Medical Sciences, Isfahan, Iran
23. **Ali Mohammad Hanjani** MD, Professor of Cardiology, Shiraz University of Medical Sciences, Shiraz, Iran
24. **Mina Hasanzadeh** MD, NeuroImmunology, School of Pharmacy, USA
25. **Saeid Morteza Heidari** MD, Associate Professor of Anesthesiology, Isfahan University of Medical Sciences, Isfahan, Iran
26. **Mansour karamooz** MD, Professor of Urology, California, USA
27. **Roya Kelishadi** MD, Professor of Pediatrics, Isfahan University of Medical Sciences, Isfahan, Iran
28. **Behnaz Khani** MD, Associate Professor of Obstetrics & Gynecology, Isfahan University of Medical Sciences, Isfahan, Iran
29. **Majid Khazaie** MD, PhD, Associate Professor of Medical Physiology, Isfahan University of Medical Sciences, Isfahan, Iran
30. **Parvin Mahzooni** MD, Associate Professor of Pathology, Isfahan University of Medical Sciences, Isfahan, Iran
31. **Majid Maleki** MD, Professor of Cardiology, Shahid Beheshti University of Medical Sciences, Tehran, Iran
32. **Mohammad Mardani** MD, Associate Professor of Medical Anatomy, Isfahan University of Medical Sciences, Isfahan, Iran
33. **Atiye Moghisi** MD, Professor of Endocrinology, Endocrine and Metabolism Research Center, USA
34. **Mehdi Modares** MD, Professor of Ophthalmology, Tehran University of Medical Sciences, Tehran, Iran
35. **Hoshang Moein** MD, Professor of Neurosurgery, Isfahan University of Medical Sciences, Isfahan, Iran
36. **Fereydoun Nouhi** MD, Professor of Cardiology, Tehran University of Medical Sciences, Tehran, Iran
37. **Mohammadreza Nourbakhsh** Associate Professor of Physiotherapy, USA
38. **Farzin Pourfarzad** Department of Cell Biology and Genetics, Erasmus University MC Rotterdam, The Netherlands
39. **Masoud Pourmoghadass** MD, Professor of Cardiology, Isfahan University of Medical Sciences, Isfahan, Iran
40. **Hassan Razmjoo** MD, Professor of Ophthalmology, Isfahan University of Medical Sciences, Isfahan, Iran
41. **Mohammad Reza Safavi** MD, Assistant Professor of Anesthesiology, Isfahan University of Medical Sciences, Isfahan, Iran
42. **Reza Rouzbahani** MD, MPH, Assistant Professor of Community Medicine, Isfahan University of Medical Sciences, Isfahan, Iran
43. **Mansour Sholevar** MD, Associate Professor of Cardiology, Isfahan University of Medical Sciences, Isfahan, Iran
44. **Masoud Soheilian.** MD, Professor of Ophthalmology, Shahid Beheshti University of Medical Sciences, Tehran, Iran



JOURNAL OF ISFAHAN MEDICAL SCHOOL

Vol. 32, No. 306, 3rd week, December 2014

Isfahan University of Medical Sciences

Responsible: Mansour Sholehvar MD

Emerita Editor-in-Chief: Roya Kelishadi MD

Editor-in-Chief: Majid Barekatain MD

Associate Editor: Reza Rouzbahani MD, MPH

Published by:

Isfahan University of Medical Sciences
E-mail: publications@mui.ac.ir

Office:

P.O. Box 81744-176, Isfahan, I.R. IRAN
Telefax: +98 311 7922291
E-mail: jims@med.mui.ac.ir

Website: <http://www.journals.mui.ac.ir/jims>

Office Secretary: Golnaz Rajabi

Copy edit, Layout edit, Design and Print:

Farzanegan Radandish Co.
P.O. Box 81465-1798, Isfahan, I.R. IRAN
Telefax: +98 311 6686302
E-mail: esfahanfarzanegan@yahoo.com
f.radandish@gmail.com
www.farzaneganco.ir
Circulation: 500

This journal is indexed in the following international indexers

- Scopus
- Chemical Abstracts
- Islamic World Science Citation Center (ISC)
- Academic Search Complete EBSCO Publishing databases
- WHO/EMRO/Index Medicus
- Google Scholar
- Index Copernicus
- Directory of Open Access Journal (DOAJ)
- Index Academicus
- Scientific Information Database (www.sid.ir)
- www.iranmedex.com

The online version is available in; IUMS website (www.journals.mui.ac.ir/jims), Iran Publications database (www.magiran.com), Scientific Information Database website (www.sid.ir) and in Health Researchers website (www.iranmedex.com).

Copyright: All rights reserved, no part may be reproduced without the prior permission of the publisher.